

สำนักหอสมุดกลาง พระจอมเกล้าลาดกระบัง

สายอากาศสะท้อนคลื่นแบบมุม
Corner Reflector Antenna



เลขหมู่...
เลขสารบัญ
วัน,เดือน

57001
.....
.....

ปริญญานิพนธ์นี้เป็นส่วนหนึ่งของการศึกษาตามหลักสูตรปริญญาวิศวกรรมศาสตรบัณฑิต

สาขาวิชาวิศวกรรมโทรคมนาคม

สถาบันเทคโนโลยีพระจอมเกล้าเจ้าคุณทหารลาดกระบัง

ปีการศึกษา 2550

สายอากาศสะท้อนคลื่นแบบมุม

Corner Reflector Antenna

โดย



ปริญญานิพนธ์นี้

สาขาวิศวกรรมโทรคมนาคม

สถาบันเทคโนโลยีพระจอมเกล้าเจ้าคุณทหารลาดกระบัง

ปีการศึกษา 2550

ปริญญาโทปีการศึกษา 2550

ภาควิชาวิศวกรรมโทรคมนาคม

คณะวิศวกรรมศาสตร์ สถาบันเทคโนโลยีพระจอมเกล้าเจ้าคุณทหารลาดกระบัง

เรื่อง สายอากาศสะท้อนคลื่นแบบมุม

Corner Reflector Antenna

ผู้จัดทำ

1. นายนิพิฐพนธ์ เลิศวณิชยกิจกุล 48015014

2. นายปิยวัฒน์ เพชรประดับสุข 48015020

.....

(รศ

.....

(ผศ



สายอากาศสะท้อนคลื่นแบบมุม

Corner Reflector Antenna

โดย นายนิพัทธ์พนธ์ เลิศวณิชย์กิจกุล 48015014

นายปิยวัฒน์ เพชรประดับสุข 48015020

อาจารย์ที่ปรึกษา รศ.ดร.สมพล โกศลวิตร

ผศ.ดร.ชวรงค์ พงศ์เจริญพาณิชย์

บทคัดย่อ

โคร
คลื่นแบบมุม
ของตัวป้อนสี่
สะท้อนคลื่น
ที่นำเสนอมีปี

ABSTRACT

This
measurement
angle. The ir
the most suite
is also carri
system.



สายอากาศสะท้อน
ะศึกษาคุณสมบัติ
เหมาะสมสำหรับตัว
ต่างๆ สายอากาศ

fabrication and
with the certain
studied to obtain
a characteristics
communication

กิตติกรรมประกาศ

ปริญญานิพนธ์ฉบับนี้สำเร็จลุล่วงไปได้ด้วยดี เนื่องจาก รศ.ดร.สมผล โกศลวิจิตรและผศ.ดร.ชวงค์ พงศ์เจริญพาณิชย์ ซึ่งเป็นอาจารย์ที่ปรึกษาผู้ให้ความช่วยเหลือคำแนะนำแนวทางการศึกษา แนวทางในการแก้ไขปัญหาต่างๆ ที่เกิดขึ้น และดูแลเอาใจใส่เป็นอย่างดี ตลอดจนคอยอบรมสั่งสอนให้คำแนะนำเทคนิคต่างๆ ในการทดลอง ขอขอบคุณกิตติศักดิ์ แพบัว ที่ให้คำแนะนำในส่วนของโปรแกรมและการใช้เครื่องมือและอุปกรณ์ในห้องทดสอบสายอากาศ และพี่ ๆ ทุกคนในห้อง โปรเจกต์ ตลอดจนเพื่อนๆ ทุกคนที่ได้แลกเปลี่ยนความรู้ความคิดเห็น ตลอดระยะเวลาที่ผ่านมา

ท้ายสุดนี้ขอขอบพระคุณ คุณพ่อ คุณแม่ ที่ให้ความรัก ความห่วงใย กำลังใจที่ดี รวมทั้งกำลังทรัพย์ และให้ทุกสิ่งทุกอย่างกับผู้จัดทำ



ทำ

สารบัญ

เรื่อง	หน้า
สารบัญ	I
สารบัญรูป	III
สารบัญตาราง	VI
บทที่ 1 บทนำ	1
บทที่ 2 ทฤษฎีและหลักการ	2
2.1 พารามิเตอร์ที่สำคัญในการใช้งานสายอากาศ	2
2.2 โครงสร้างสายอากาศวงแหวนวงกลม	4
2.3 สายอากาศแนวทิศทางเดียว	7
2.4 สมกา	7
2.5 ตัวสะ	25
2.6 สายนำ	28
บทที่ 3 การออกแบบ	46
3.1 การวิ	46
3.1.1	47
3.1.2	48
3.1.3	58
3.2 คุณลักษณะ	58
3.2.1	58
3.2.2	65
3.3 สรุป	71
บทที่ 4 การสร้าง	72
4.1 การสร้างและการทดสอบสายอากาศสะท้อนคลื่นแบบมุม	72
4.1.1 แบบรูปการแพร่กระจายคลื่น	72
4.1.2 คุณลักษณะเชิงอิมพีแดนซ์ของสายอากาศสะท้อนคลื่นแบบมุม	73
4.2 การสร้างและการทดสอบสายอากาศตัวสะสะท้อนคลื่นแบบมุม	
โดยใช้วงแหวนวงกลม 2 วง	75
4.2.1 แบบรูปการแพร่กระจายคลื่น	76
4.2.2 คุณลักษณะเชิงอิมพีแดนซ์ของสายอากาศ	77
4.3 การประเมินประสิทธิภาพ โครงข่ายท้องถิ่น ไร้สาย IEEE 802.11	78
4.4 พื้นฐาน โครงข่ายท้องถิ่น ไร้สายตามมาตรฐาน IEEE 802.11	78



สารบัญ (ต่อ)

เรื่อง	หน้า
4.4.1 โทโปโลยี(Topology)	79
4.4.2 การควบคุมการเข้าถึงสื่อ(Medium Access Control)	79
4.4.3 รูปแบบเฟรม	80
4.4.4 ชั้นสื่อสารกายภาพ	80
4.5 การทดสอบประสิทธิภาพ	81
4.6 สรุป	82
บทที่ 5 บทสรุปและบทวิจารณ์	83
กิตติกรรมประกาศ	
เอกสารอ้างอิง	



สารบัญรูป

รูปที่	หน้า
2.1 แสดงแบบรูปการแพร่กระจายคลื่นในแบบลิเนียร์	2
2.2 สายอากาศวงแหวนวงกลม	4
2.3 แสดงความหมายของ m และ n	5
2.4 แสดงโหมด TE และ TM ของท่อนำคลื่นแบบกลม	5
2.5 โครงสร้างของสายอากาศตัวสะท้อนคลื่นแบบมุม	7
2.6 ท่อนำคลื่นแบบทรงกระบอกที่ระนาบ $z_1 = 0$	14
2.7 ท่อนำคลื่นแบบทรงกระบอกที่มีช่องเปิดแบบวงกลมระนาบ $z = 0$	17
2.8 การแพร่กระจายของสนามเมื่อที่สนามระยะไกลที่ระนาบ $z = d/2$ และ $-z = d/2$	23
2.9 โครงสร้างของ	26
2.10 ตัวสะท้อนคลื่น	27
2.11 แสดงโครงสร้าง	28
2.12 แสดงภาพออร์ทิ	29
2.13 แสดงค่า Z_0	29
2.14 แสดงโหลดรี	32
2.15 แสดงกรณีไม่	33
2.16 แสดงเวกเตอร์	34
2.17 แสดงเวกเตอร์	35
2.18 แสดงเวกเตอร์	36
2.19 แสดงเวกเตอร์	37
2.20 แสดงคลื่นนิ่ง	39
2.21 แสดงโมโนก	40
2.22 แสดงโครงสร้าง	41
2.23 แสดงโครงสร้างสายโคแอกเชียลแบบเฟลิกซ์เบิ้ล	43
3.1 แสดงโครงสร้างสายอากาศสะท้อนคลื่นแบบมุมเพื่อใช้สำหรับโปรแกรม CST	46
3.2 แสดงความสัมพันธ์ค่าสภาพเจาะจงทิศทาง สำหรับความยาวต่าง ๆ ของวงแหวนวงกลม โดยใช้ความยาวโพรบที่ขนาดต่างกัน ที่มีการเปลี่ยนแปลงค่าระยะห่างจากตัวสะท้อนคลื่น	49
3.3 แสดงความสัมพันธ์ค่าอิมพีแดนซ์ด้านเข้า สำหรับความยาวต่าง ๆ ของวงแหวนวงกลม โดยใช้ความยาวโพรบที่ขนาดต่างกัน ที่มีการเปลี่ยนแปลงค่าระยะห่างจากตัวสะท้อนคลื่น	53
3.4 แสดงความสัมพันธ์ค่าความสูญเสียเนื่องจากการย้อนกลับ สำหรับช่วงความยาวต่าง ๆ ของ วงแหวนวงกลม โดยใช้ความยาวโพรบที่ขนาดต่างกัน ที่มีการเปลี่ยนแปลงค่าระยะห่างจาก ตัวสะท้อนคลื่น	55



สารบัญรูป (ต่อ)

รูปที่	หน้า
3.5 แสดงความสัมพันธ์ค่าอัตราส่วนคลื่นนิ่ง สำหรับช่วงความยาวต่าง ๆ ของวงแหวนวงกลม โดยใช้ความยาวโพรบที่ขนาดต่างกัน ที่มีการเปลี่ยนแปลงค่าระยะห่างจากตัวสะท้อนคลื่น	57
3.6 ตัวสะท้อนคลื่นแบบมุม โดยมีขนาดของความยาวเท่ากับสองเท่าของระยะห่างระหว่างตัวป้อนสัญญาณของตัวสะท้อนแบบคลื่นที่มีมุมเท่ากับ 90 องศา	58
3.7 แบบรูปการแพร่กระจายคลื่นในระนาบสนามไฟฟ้า	59
3.8 แสดงค่าความกว้างของลำคลื่นที่กำลังลดลงครึ่งหนึ่งและ ค่าอัตราส่วนลำคลื่นหลักต่อลำคลื่นย่อยด้านข้างในระนาบสนามไฟฟ้า	59
3.9 แสดงค่าความกว้างของลำคลื่นที่กำลังรวมเป็นศูนย์ครึ่งหนึ่งของ ค่าอัตราส่วน	60
3.10 แบบรูปการแ	61
3.11 แสดงค่าควา: ค่าอัตราส่วน	62
3.12 แสดงค่าควา: ค่าอัตราส่วน	63
3.13 แสดงอัตรา	64
3.14 แสดงสาขา	CST 64
3.15 แสดงการแปร เมื่อระยะห่าง	65
3.16 แสดงค่าควา: ค่าอัตราส่วน	66
3.17 แสดงค่าควา: ค่าอัตราส่วน	67
3.18 แสดงการเปรียบเทียบแบบรูปการแพร่กระจายคลื่นในระนาบสนามแม่เหล็ก เมื่อระยะห่างระหว่างวงแหวนเพิ่มมากขึ้น	68
3.19 แสดงค่าความกว้างของลำคลื่นที่กำลังลดลงครึ่งหนึ่งและ ค่าอัตราส่วนลำคลื่นหลักต่อลำคลื่นย่อยด้านข้างในระนาบสนามแม่เหล็ก	68
3.20 แสดงค่าความกว้างของลำคลื่นที่กำลังงานเป็นศูนย์ครั้งแรกและ ค่าอัตราส่วนลำคลื่นหลักต่อลำคลื่นด้านหลังในระนาบสนามแม่เหล็ก	69
3.21 แสดงอัตราขยายของสาขาอากาศสะท้อนคลื่นแบบมุม โดยใช้วงแหวนวงกลม 2 วง	70
4.1 รูปถ่ายของสาขาอากาศสะท้อนคลื่นแบบมุมที่สร้างขึ้น	72



สารบัญรูป (ต่อ)

รูปที่	หน้า
4.2 แบบรูปการแพร่กระจายคลื่นในระนาบสนามไฟฟ้า	73
4.3 แบบรูปการแพร่กระจายคลื่นในระนาบแม่เหล็ก	73
4.4 ค่าอิมพีแดนซ์จากการทดสอบของสายอากาศสะท้อนคลื่นแบบมุม	74
4.5 ค่าอัตราส่วนคลื่นนิ่งจากการทดสอบของสายอากาศสะท้อนคลื่นแบบมุม	74
4.6 รูปถ่ายสายอากาศสะท้อนคลื่นแบบมุม โดยใช้วงแหวนวงกลม 2 วงที่สร้างขึ้น	75
4.7 แบบรูปการแพร่กระจายคลื่นในระนาบสนามไฟฟ้าโดยใช้วงแหวนวงกลม 2 วง	76
4.8 แบบรูปการแพร่กระจายคลื่นในระนาบสนามแม่เหล็กโดยใช้วงแหวนวงกลม 2 วง	76
4.9 ค่าอิมพีแดนซ์จากการทดสอบสายอากาศตัวสะท้อนแบบมุม โดยใช้วงแหวนวงกลม 2 วง	77
4.10 ค่าอัตราส่วน	77
4.11 มาตรฐาน IEI	78
4.12 เฟรมชั้นการ	79
4.13 กลุ่มบริการที่	79
4.14 ปรัชญาการถ	80
4.15 พลีแอมเบิล I	81
4.16 แสดงคำพิสัย	81



สารบัญตาราง

ตารางที่	หน้า
2.1 ค่ารากหรือกรณีของเบสเซลสำหรับโหมด TE	6
2.2 ค่ารากหรือกรณีของเบสเซลสำหรับโหมด TM	6



บทที่ 1

บทนำ

การสื่อสารแบบจุดต่อจุด มีความสำคัญอย่างแพร่หลายตั้งแต่อดีตจนถึงปัจจุบัน เนื่องจากการสื่อสารในระบบนี้มีความแม่นยำสูง ด้วยคุณสมบัติของการสื่อสารในระบบที่ต้องการชี้ทิศทาง ไปยังเป้าหมายที่ต้องการนี้ สายอากาศที่นำมาประยุกต์ใช้จึงจำเป็นต้องมีคุณลักษณะของสายอากาศจะต้องเป็นแบบมีทิศทางที่มีค่าสภาพเงาเชิงทิศทางสูง สายอากาศแบบทิศทางเดียวจึงมีประโยชน์อย่างมากในการนำมาประยุกต์ใช้ในระบบสื่อสารแบบจุดต่อจุด สายอากาศชนิดนี้ได้มีการพัฒนาอย่างแพร่หลาย ซึ่งสายอากาศแบบทิศทางเดียวสามารถสังเคราะห์ได้จากสายอากาศหลายชนิด เช่นสายอากาศไมโครสตริปที่ทำงานในโหมดพื้นฐาน สายอากาศปากแตร สายอากาศแบบสะท้อนคลื่น นอกจากนี้สามารถทำได้โดยการนำสายอา

เฉพาะตัว ถ้า
เดียวที่มีโคร
สร้างได้ง่าย

สาย
สูงและโครง
ระนาบตัวนำ
ใหญ่จะใช้มุม
กว่าเมื่อเปรียบ
ไปด้วยตัวสะ
แบบมุม ส่วน
สายอากาศเบ
ปริศ

เหมาะสมสำห
ของสายอากาศ



.ภที่มีข้อดีข้อเสีย
คลื่นแบบทิศทาง
โอนและสามารถ

คือ มีอัตราขยายที่
สะท้อนคลื่นแบบ
ละ 30 องศา ส่วน
อากาศมีขนาดเล็ก
มุมนั้น ประกอบ
อากาศสะท้อนคลื่น
ประสิทธิภาพของ
ที่เหมาะสม
อากาศเพื่อหาค่าที่
าษาที่คุณลักษณะ

บทที่ 2
ทฤษฎีและหลักการ

2.1 พารามิเตอร์ที่สำคัญในการใช้งานสายอากาศ

2.1.1 แบบรูปการแพร่กระจายคลื่น(Radiation Pattern)

แบบรูปการแพร่กระจายคลื่น คือ รูปกราฟหรือฟังก์ชันทางคณิตศาสตร์ที่ใช้แสดงความเข้มของสัญญาณที่เป็นฟังก์ชันของทิศทางหรือมุม โดยรูปกราฟนี้แบ่งเป็น กราฟเชิงเส้นมุมฉาก(Linear Plot) และ กราฟวงกลม(Polar Plot) ซึ่งจะแสดงความสัมพันธ์ระหว่าง แอมพลิจูด(Amplitude) ของกำลังงาน(Power) หรือสนาม(Field) กับทิศทาง(Direction)ของการแพร่กระจายคลื่นของสายอากาศ ซึ่งแสดงอยู่ในรูปของมุมในหน่วยองศา(degree) หรือเรเดียน(radian)



2.1.2

คือ :

ค่าสูงสุด โดย.....

ข้าง
ในย้อยด้านหลัง



lth :HPBW)

เป็นครึ่งหนึ่งของ

2.1.3 ค่าความกว้างของลำคลื่นที่ก่้างานเป็นศูนย์ครั้งแรก(First Null Beamwidth:FNBW)

คือ มุมที่วัดระหว่างจุดที่ความเข้มของการแพร่กระจายคลื่นในลำคลื่นหลัก มีค่าลดลงเป็นศูนย์ โดยจะวัดในหน่วยขององศา

2.1.4 อัตราส่วนลำคลื่นหลักต่อลำคลื่นย้อยด้านข้าง(Side Lobe Ratio:SLR)

คือ อัตราส่วนของลำคลื่นหลักต่อลำคลื่นย้อยด้านข้าง

$$SLR = \text{Main lobe level (dB)} - \text{Side lobe level (dB)}$$

(2.1)

2.1.5 อัตราส่วนลอคลื่นหลักต่อลอคลื่นย่อยด้านหลัง(Back Lobe Ratio:BLR)

คือ อัตราส่วนของลอคลื่นหลักต่อลอคลื่นย่อยด้านหลัง

$$BLR = \text{Main lobe level (dB)} - \text{Back lobe level (dB)} \tag{2.2}$$

2.1.6 ความเข้มของการแผ่กระจายคลื่น(Radiation Intensity)

คือ กำลังงานที่แผ่กระจายออกจากสายอากาศต่อหน่วยมุมตัน (ตลอดพื้นผิวทรงกลม) แสดงความสัมพันธ์ของความเข้มการแผ่กระจายคลื่นกับสนามไฟฟ้าของสายอากาศในระยะไกล ได้ดังนี้

$$U(\theta, \phi) = \frac{r^2}{2\eta} \left[|E_\theta(\theta, \phi)|^2 + |E_\phi(\theta, \phi)|^2 \right] \tag{2.3}$$

เมื่อ E_θ, E_ϕ

η

$$\approx 120\pi \Omega$$

2.1.7

ค่าส:

ทิศทางต่าง ๆ



วงสาย อากาศใน
ได้ว่า

$$\tag{2.4}$$

เมื่อ

U_{me}

P_{rad}

$$P_{rad} = \int_0^\pi \int_0^{2\pi} U_{me} \sin\theta \, d\theta \, d\phi \tag{2.5}$$

2.1.8 อัตราขยาย(Gain)

คือ ความสัมพันธ์ที่ได้มาจากค่าสภาพเงาเงงทิศทาง โดยคูณประสิทธิภาพของสายอากาศเข้ามา ด้วย ประสิทธิภาพสายอากาศจะประกอบไปด้วย ประสิทธิภาพเกี่ยวกับการสะท้อนกลับ ประสิทธิภาพของตัวนำและประสิทธิภาพของฉนวน

$$\text{Gain} = \text{Efficiency of antenna} \times \text{Directivity} \quad (\text{ไม่มีหน่วย}) \tag{2.6}$$

$$\text{Gain(dBi)} = \text{Efficient(dB)} + \text{Directivity(dBi)} \tag{2.7}$$

2.1.9 ช่วงกว้างความถี่ที่ใช้งาน(Bandwidth: Δf)

คือช่วงความถี่สายอากาศมีคุณสมบัติอยู่ในมาตรฐานที่กำหนด หรือช่วงความถี่ที่สายอากาศยังคงมีคุณสมบัติต่าง ๆ อยู่ในช่วงที่ใช้งานได้เหมือนกับที่ออกแบบไว้ที่ความถี่กลาง

$$\Delta f(\text{Hz}) = f_H(\text{Hz}) - f_L(\text{Hz}) \quad (2.8)$$

$$\Delta f(\%) = \frac{f_H - f_L}{f_c} \times 100 \quad (2.9)$$

2.2 โครงสร้างสายอากาศวงแหวนวงกลม

สายอากาศที่วิเคราะห์ประกอบด้วยโพรบไฟฟ้าเชิงเส้นความยาว l_p และถูกล้อมรอบด้วยวงแหวนที่มีโคแอดจูแตนท์เป็น r_a และ c ตามลำดับซึ่ง



ให้พิจารณาในทิศทางแม่เหล็ก

แม่เหล็กไฟฟ้า
งเปิดทั้ง 2 ด้าน
ง่าที่ประกอบไป

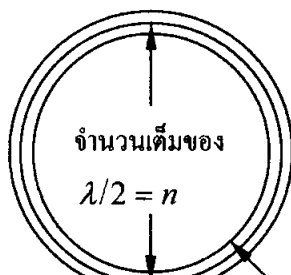
ด้วยโหมดคลื่นต่าง ๆ มากมายที่อยู่ภายในท่อนำคลื่นทรงกระบอก ดังนั้น ความยาวของวงแหวนและรัศมีจึงออกแบบให้มีขนาดเล็กที่สุดเท่าที่จะเป็นไปได้ เพื่อที่จะทำให้โหมดอื่น ๆ ถูกตัดออกไปให้เหลือเพียงโหมดคลื่นหลัก(Dominant Mode : TE_{11}) เพียงโหมดเดียว แต่อย่างไรก็ตามบริเวณที่ใกล้โพรบก็ยังคงมีโหมดคลื่นอื่นรวมอยู่ด้วย

เนื่องจากท่อนำคลื่นเป็นรูปแบบกลม จึงทำให้มีความสลับซับซ้อนมากยิ่งขึ้นในการวิเคราะห์คำนวณ แก้ปัญหาต่าง ๆ จึงต้องใช้เบสเซลฟังก์ชัน(Bessel function) มาช่วยคำนวณแทนที่จะใช้ฟังก์ชันตรีโกณมิติธรรมดาที่ใช้กัน การคำนวณทางคณิตศาสตร์ในการหาสูตร หารูปแบบสนาม E และ H ในท่อนำคลื่นต่าง ๆ เหล่านี้เป็นเรื่องยุ่งยากอยู่ ดังนั้นจะนำสูตรหรือผลจากการวิเคราะห์มาใช้งานเลย โหมดการส่งคลื่นที่ใช้ก็มี โหมด TE_{mn} และ TM_{mn} โดยที่ m จะแสดงถึงจำนวนเต็มของความยาวคลื่น

วงรอบท่อนำคลื่นแบบกลม(เวกเตอร์ย่อยในแนวรัศมีของสนามไฟฟ้า) m จะแสดงถึงจำนวนเท่าของครึ่งความยาวคลื่นที่เส้ผ่านศูนย์กลางของท่อนำคลื่นแบบกลม

m = จำนวนเต็มของความยาวคลื่นวนด้านในของท่อนำคลื่นแบบกลม

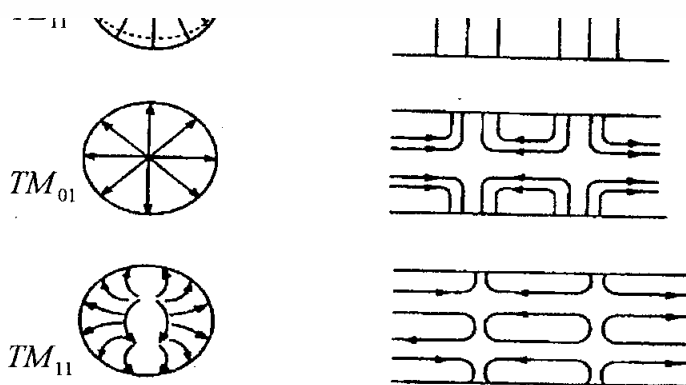
n = จำนวนเต็มของครึ่งความยาวคลื่นบนเส้ผ่านศูนย์กลางของท่อนำคลื่นแบบกลม



ควา:
รูปแบบของส
และ TM_{mn} .



แบบกลม ดังรูปที่
โนโหมด TE_{mn}



รูปที่ 2.4 แสดงโหมด TE และ TM ของท่อนำคลื่นแบบกลม

ในท่อนำคลื่นแบบกลม ความถี่ต่ำสุดที่สามารถส่งผ่านท่อนำคลื่นได้ คือ โหมด TE_{11} ซึ่งถือว่าเป็นโหมดหลักในการส่งคลื่น(Principal mode) การหาความยาวคลื่นตัดออกของท่อนำคลื่นแบบกลม ต้องใช้ค่ารากหรือกรณีของเบสเซลฟังก์ชัน(Root of Bessel functions) โดยที่ความยาวคลื่นตัดออกของโหมด TE_{mm} มีค่าเท่ากับ

$$\lambda_{cutoff} = \frac{2\pi r_a}{\mu'_{mm}} \quad (2.10)$$

โดยที่

λ_{cutoff} = ค่าความยาวคลื่นที่ยาวที่สุดในท่อนำคลื่นสำหรับโหมดที่กำหนด, *cm*

r_a = รัศมีด้านในของท่อนำคลื่นแบบกลม

μ'_{mm}

ส่วนความยาว

โดยที่

λ_{cut}

r_a

μ_{mm}



(2.11)

m

$$\mu'_{21} = 3.054$$

$$\mu'_{31} = 4.201$$

$$\mu'_{22} = 6.706$$

$$\mu'_{32} = 8.031$$

ตารางที่ 2.2 ค่ารากหรือกรณีของเบสเซลสำหรับโหมด *TM*

ค่ารากเบสเซลสำหรับโหมด <i>TM</i>		
$\mu_{01} = 2.405$	$\mu_{02} = 5.520$	$\mu_{03} = 8.654$
$\mu_{11} = 3.832$	$\mu_{12} = 7.016$	
$\mu_{22} = 5.136$		

2.3 สายอากาศแบบทิศทางเดียว(Unidirectional Antenna)

สายอากาศตัวสะท้อนแบบมุม เป็นสายอากาศแบบทิศทางเดียว โดยใช้สายอากาศวงแหวนวงกลม วางใกล้ตัวสะท้อนแบบมุม แสดงในรูปที่ 2.5 โดยโครงสร้างของสายอากาศวงแหวนวงกลม มีลักษณะเป็นส่วนหนึ่งของท่อนำคลื่นวงกลมปลายเปิดทั้งสองด้านประกอบด้วยโพรบไฟฟ้าเชิงเส้นสำหรับกระตุ้น มีความยาว l_p วางตามแนวแกน y ยื่นเข้าไปด้านในวงแหวนวงกลมที่มีรัศมี r_d และ ความยาววงแหวน c โดยค่าพารามิเตอร์ที่เหมาะสมของสายอากาศวงแหวนวงกลมที่ได้จากการวิเคราะห์ในบทที่แล้ว คือ โพรบกระตุ้นยาวเท่ากับ ขนาดรัศมีวงแหวนเท่ากับ และความหนาเท่ากับ สำหรับตัวสะท้อนแบบมุมจะมีระยะห่างระหว่างจากจุดยอดมุมกับตัวป้อนสัญญาณ S_z ขนาดความสูงและความกว้างเท่ากับ H_y และ L_x ตามลำดับ



โครงสร้างของตัวสะท้อนคลื่นแบบมุมจะประกอบด้วยแผ่นสะท้อน 2 แผ่น ทำมุมกัน α ซึ่งโครงสร้างของตัวสะท้อนแบบมุมจะทำได้ง่ายโดยในทางปฏิบัติตัวสะท้อนคลื่นแบบมุมที่นิยมใช้ คือ แผ่นสะท้อน 2 แผ่นทำมุมกัน 90 องศา

2.4 สมการเวกเตอร์ของคลื่นของสนามแม่เหล็กไฟฟ้าที่แปรผันกับเวลา

จากสมการของแมกเวลล์(Maxwell's Equation) ในรูปของสนามแม่เหล็กและสนามไฟฟ้าสามารถแสดงได้ดังนี้

$$\nabla \times \bar{E} = -\bar{M}_i - \mu \frac{\partial \bar{H}}{\partial t} \quad (2.12)$$

$$\nabla \times \bar{H} = \bar{J}_i + \sigma \bar{E} + \varepsilon \frac{\partial \bar{E}}{\partial t} \tag{2.13}$$

ทำการเคิร์ล(Curl) ทั้งสองข้างของสมการ(2.12)และ(2.13) โดยสมมติให้อยู่ในตัวกลางเดียวกัน สามารถเขียนได้ใหม่ว่า

$$\begin{aligned} \nabla \times \nabla \times \bar{E} &= -\nabla \times \bar{M}_i - \mu \nabla \times \left(\frac{\partial \bar{H}}{\partial t} \right) \\ &= -\nabla \times \bar{M}_i - \mu \frac{\partial (\nabla \times \bar{H})}{\partial t} \end{aligned} \tag{2.14}$$

(2.15)

แทน (Laplacian ve



เขียนของเวกเตอร์

(2.16)

(2.17)

จาก

$$\nabla(\nabla \cdot \bar{E}) - \nabla^2 \bar{E} = -\nabla \times \bar{M}_i - \mu \frac{\partial \bar{J}_i}{\partial t} - \mu \sigma \frac{\partial \bar{E}}{\partial t} - \mu \varepsilon \frac{\partial^2 \bar{E}}{\partial t^2} \tag{2.18}$$

จากสมการแมกเวลล์ที่แสดงในรูปของความหนาแน่นของฟลักซ์ไฟฟ้า(electric flux density) สามารถแสดงได้ดังนี้

$$\nabla \cdot \bar{D} = \varepsilon \nabla \cdot \bar{E} = q_{ev} \Rightarrow \nabla \cdot \bar{E} = \frac{q_{ev}}{\varepsilon} \tag{2.19}$$

นำสมการ(2.19) แทนลงในสมการ(2.18) ได้ว่า

$$\nabla^2 \bar{E} = \nabla \times \bar{M}_i + \mu \frac{\partial \bar{J}_i}{\partial t} + \frac{1}{\epsilon} \nabla q_{ev} + \mu \sigma \frac{\partial \bar{E}}{\partial t} + \mu \epsilon \frac{\partial^2 \bar{E}}{\partial t^2} \quad (2.20)$$

ในทำนองเดียวกันแทนสมการ(2.12) ลงในด้านขวาของสมการ(2.15) และใช้คุณสมบัติ ลาปลาเซียนของเวกเตอร์ที่แสดงในสมการ(2.17) แทนลงในด้านซ้ายของสมการ(2.15) จะได้ว่า

$$\nabla(\nabla \cdot \bar{H}) - \nabla^2 \bar{H} = \nabla \times \bar{J}_i + \sigma \left(-\bar{M}_i - \mu \frac{\partial \bar{H}}{\partial t} \right) + \epsilon \frac{\partial}{\partial t} \left(-\bar{M}_i - \mu \frac{\partial \bar{H}}{\partial t} \right) \frac{\partial^2 \bar{H}}{\partial t^2} \quad (2.21)$$

จาก Density) ส่วน



ก(Magnetic Flux

(2.22)

นำ

∇^2

(2.23)

จาก สนามแม่เหล็ก ตามลำดับ

สนามไฟฟ้าและ

สำหรับสภาวะที่เป็นอิสระจากแหล่งจ่าย(Source-free) และตัวกลางที่ไม่เกิดการสูญเสีย(Lossless Media) จะได้ว่า

$$\bar{J}_i = q_{ev} = \bar{M}_i = q_{mv} = 0, \sigma = 0$$

ดังนั้นรูปแบบของสมการคลื่นแบบเวกเตอร์ สำหรับสนามไฟฟ้าและสนามแม่เหล็กในสมการ (2.17)และ(2.23) สามารถแสดงได้ดังนี้

$$\nabla^2 \bar{E} = \mu \epsilon \frac{\partial^2 \bar{E}}{\partial t^2} \quad (2.24)$$

$$\nabla^2 \bar{H} = \mu\epsilon \frac{\partial^2 \bar{H}}{\partial t^2} \tag{2.25}$$

โดยทั่วไปแล้วสมการ(2.24)และ(2.25) จะเป็นรูปแบบที่ง่ายที่สุดสำหรับการหาสมการคลื่นแบบเวกเตอร์ของสนามไฟฟ้าและสนามแม่เหล็ก

2.4.1 สมการคลื่นแบบเวกเตอร์ของสนามแม่เหล็กไฟฟ้าที่แปรผันกับเวลาแบบฮาร์มอนิกส์
(Vector Wave of Time-Harmonic Electromagnetic Field)

สำหรับสนามที่แปรผันกับเวลาแบบฮาร์มอนิกส์ หมายถึง เวลาที่มีการแปรผันในรูปแบบของ $e^{j\omega t}$ ดังนั้น สามารถที่จะได้สมการเวกเตอร์ของคลื่น สำหรับสนามไฟฟ้าและสนามแม่เหล็ก เช่นเดียวกับกรณีของสนามแม่

ดังนี้

▽

▽

▽



(2.26)

(2.27)

(2.28)

$$\nabla^2 \bar{H} = -\omega^2 \mu\epsilon \bar{H} = -k^2 \bar{H} \tag{2.29}$$

เมื่อ $k^2 = \omega^2 \mu\epsilon$ และ k คือค่าคงที่เฟส(Phase Constant)

2.4.2 การหาคำตอบจากสมการเวกเตอร์ของคลื่นสำหรับระบบพิกัดทรงกระบอก

เมื่อพิจารณาสมการเวกเตอร์ของคลื่นสำหรับสภาวะที่เป็นอิสระจากแหล่งจ่าย(Source-free) และตัวกลางที่ไม่เกิดการสูญเสีย(Loss Media) ของสนามไฟฟ้าในสมการ(2.20) ในระบบพิกัดทรงกระบอกสามารถแสดงได้ดังนี้

$$\text{จาก } \bar{E}(\rho_1, \phi_1, z_1) = E_\rho(\rho_1, \phi_1, z_1)\hat{\rho} + E_\phi(\rho_1, \phi_1, z_1)\hat{\phi} + E_z(\rho_1, \phi_1, z_1)\hat{z} \quad (2.30)$$

เมื่อ ρ_1, ϕ_1, z_1 คือค่าในระบบพิกัดทรงกระบอก

เมื่อแทนลงในสมการ(2.30)ลงในสมการ(2.24) จะได้ว่า

$$\nabla^2(E_\rho\hat{\rho} + E_\phi\hat{\phi} + E_z\hat{z}) = -k^2(E_\rho\hat{\rho} + E_\phi\hat{\phi} + E_z\hat{z}) \quad (2.31)$$

จากสมการ(2.31) สามารถเขียนให้อยู่ในรูปทั่วไปได้ว่า

$$\nabla^2 \bar{E} = -k^2 \bar{E} \quad (2.32)$$

จาก

1



(2.33)

เมื่อแทนสนา

ดังต่อไปนี้

(2.34)

(2.35)

$$\nabla^2 E_z = -k^2 E_z \quad (2.36)$$

$$\text{เมื่อ } \nabla^2 \psi(\rho_1, \phi_1, z_1) = \frac{1}{\rho_1} \frac{\partial}{\partial \rho_1} \left(\rho_1 \frac{\partial \psi}{\partial \rho_1} \right) + \frac{1}{\rho_1^2} \frac{\partial^2 \psi}{\partial \phi_1^2} + \frac{\partial^2 \psi}{\partial z_1^2}$$

$$= \frac{\partial^2 \psi}{\partial \rho_1^2} + \frac{1}{\rho_1} \frac{\partial \psi}{\partial \rho_1} + \frac{1}{\rho_1^2} \frac{\partial^2 \psi}{\partial \phi_1^2} + \frac{\partial^2 \psi}{\partial z_1^2} \quad (2.37)$$

จากสมการ(2.34)และ(2.35) จะมีส่วนประกอบของสนามไฟฟ้ามากกว่า 1 องค์ประกอบซึ่งยากต่อการหาคำตอบ ดังนั้น เราจะใช้สมการ(2.36) ซึ่งมีส่วนประกอบของสนามไฟฟ้าเพียงองค์ประกอบเดียวในการหาคำตอบจากสมการคลื่น

จากสมการ(2.36) สามารถเขียนได้ใหม่ดังนี้

$$\frac{\partial^2 F}{\partial \rho_1^2} + \frac{1}{\rho_1} \frac{\partial F}{\partial \rho_1} + \frac{1}{\rho_1^2} \frac{\partial^2 F}{\partial \phi_1^2} + \frac{\partial^2 F}{\partial z_1^2} = -k^2 F \tag{2.38}$$

เมื่อ $F(\rho_1, \phi_1, z_1)$ คือฟังก์ชันของสเกลาร์(Scalar Function) ที่แสดงถึงศักย์เวกเตอร์ไฟฟ้า(Electric Vector Potential) ...

(2.39)

แทน



(2.40)

หารทั้งสองข้าง

เขียนใหม่ดังนี้

(2.41)

จะพบ

ขงตัวเดียวเท่านั้น

ดังนั้นผลรวมของทุกพจน์จะมีค่าเท่ากับ $-k^2$ ก็ต่อเมื่อค่าของแต่ละพจน์จะต้องเป็นค่าคงที่จะได้ว่า

$$\frac{1}{h} \frac{d^2 h}{dz_1^2} = -k_z^2 \Rightarrow \frac{d^2 h}{dz_1^2} = -k_z^2 h \tag{2.42}$$

เมื่อ k_z คือค่าคงที่

นำสมการ(2.40) แทนลงในสมการ(2.39) แล้วคูณทั้งสองข้างของสมการด้วย ρ_1^2 จะได้ว่า

$$\frac{\rho_1^2}{f} \frac{d^2 f}{d\rho_1^2} + \frac{\rho_1}{f} \frac{df}{d\rho_1} + \frac{1}{g} \frac{d^2 g}{d\phi_1^2} + (k^2 - k_z^2) \rho_1^2 = 0 \quad (2.43)$$

เนื่องจากพจน์ที่ 3 ของสมการ(2.43) เป็นฟังก์ชันของ ϕ เพียงอย่างเดียว ดังนั้นสามารถที่จะกำหนดให้เท่ากับค่าคงที่ใด ๆ สามารถแสดงได้ดังนี้

$$\frac{1}{g} \frac{d^2 g}{d\phi_1^2} = -n^2 \Rightarrow \frac{d^2 g}{d\phi_1^2} = -n^2 g \quad (2.44)$$

$$\text{และกำหนดให้ } k^2 - k_z^2 = k_p^2 \Rightarrow k^2 = k_p^2 + k_z^2 \quad (2.45)$$

นำสมการ(2.

จาก
จากสมการคัส
เบสเซล(Bess
ดังนี้



(2.46)
หรับคำตอบที่ได้
เรียงอนุพันธ์ของ
งได้ดังนี้

$$\frac{d^2 g}{d\phi_1^2} = -n^2 g \quad (2.48)$$

$$\frac{d^2 h}{dz_1^2} = -k_z^2 h \quad (2.49)$$

โดยที่ $k_p^2 + k_z^2 = k^2$

และคำตอบที่ได้จากสมการ 2.47, 2.48 และ 2.49 สามารถแสดงได้ดังนี้ ตามลำดับ

$$f_1(\rho_1) = A_1 J_n(k_\rho \rho_1) + B_1 Y_n(k_\rho \rho_1) \quad (2.50)$$

$$f_2(\rho_1) = C_1 H_n^{(1)}(k_\rho \rho_1) + D_1 H_n^{(2)}(k_\rho \rho_1) \quad (2.51)$$

$$g_1(\phi_1) = A_2 e^{-jn\phi} + B_2 e^{+jn\phi} \quad (2.52)$$

$$g_2(\phi_1) = C_2 \cos(n\phi_1) + D_2 \sin(n\phi_1) \quad (2.53)$$

$$h_1(z_1) = A_3 e^{-jk_z z_1} + B_3 e^{+jk_z z_1} \quad (2.54)$$

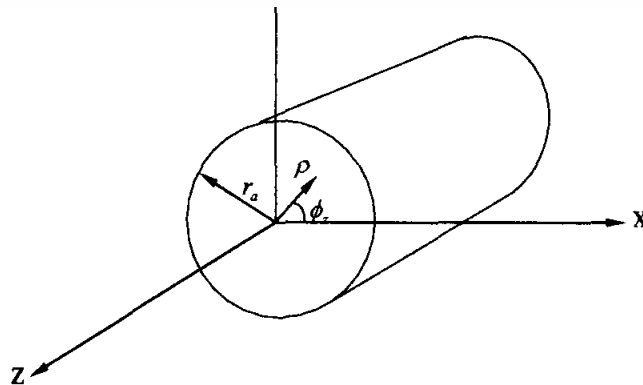
$$h_2(z_1) = C_3 \cos(k_z z_1) + D_3 \sin(k_z z_1) \quad (2.55)$$

โดยที่



โดย
จากสมการ
2.6 นั้นสามารถ

) นั้นคำตอบที่ได้
ที่แสดงในรูปที่



รูปที่ 2.6 ท่อนำคลื่นแบบทรงกระบอกที่ระนาบ $z_1 = 0$

$$\begin{aligned}
 F(\rho_1, \phi_1, z_1) &= f(\rho_1)g(\phi_1)h(z_1) \\
 &= [A_1 J_n(k_\rho \rho_1) + B_1 Y_n(k_\rho \rho_1)] [C_2 \cos(n\phi_1) + D_2 \sin(n\phi_1)] \\
 &\quad \times [A_3 e^{-jk_z z} + B_3 e^{+jk_z z}]
 \end{aligned} \tag{2.56}$$

2.4.3 สนามที่แพร่กระจายบริเวณช่องเปิดของวงแหวนวงกลม(Aperture Field)

จากคำตอบที่ได้จากสมการเวกเตอร์ของคลื่นในสมการที่ 2.56 สามารถที่จะนำมาใช้หาสนามที่แพร่กระจายบริเวณช่องเปิดของวงแหวนในตัวสายอากาศ โดยกำหนดค่าคงที่ต่างๆ ที่อยู่ในสมการที่ 2.56 ให้เป็นไปตามเงื่อนไขขอบเขต(boundary condition) ระหว่างตัวนำไฟฟ้ากับสูญญากาศสามารถแสดงได้ดังนี้

1. สนามทั้งหมดที่แพร่กระจายออกจากตัวนำไฟฟ้าจะต้องมีค่าจำกัด ดังนั้น $B_1 = 0$ เพราะ $Y_m(\rho)$
2. สนามมีค่าเป็นค่าเบลี
3. ค่า C และ D จะมีค่าเป็นศูนย์แพร่กระจายออกศูนย์จะกำหนด
4. เมื่อจะสนใจในพจนานาย $z = 0$
5. ค่า x'_{mn}



ค่าของมุม ϕ_s ที่
มีเมื่อมุม ϕ_s มี

แต่ C และ D
ามว่าไม่มีสนาม
 m มีค่าเท่ากับ

แกน $+z$ ดังนั้น
เองก่อนคลื่นที่

r_a

โดยที่ x'_{mn} คือค่าที่ทำให้อนุพันธ์ของฟังก์ชันเบสเซลชนิดที่ 1 (J_m) ลำดับที่ m ($m = 0, 1, 2, 3, \dots$) โดยมีค่าเท่ากับศูนย์เป็นครั้งที่ n ($n = 1, 2, 3, \dots$)

ดังนั้นจะได้ว่าในกรณีของโหมดคลื่นหลัก (TE_{11}) คือ $m=1, n=1$ จะได้ค่าของ x'_{mn} มีค่าเท่ากับ 1.8412

$$\therefore k_\rho |_{TE_{11}} = \frac{1.8412}{r_a}$$

เมื่อนำเงื่อนไขทั้งหมดข้างต้นแทนลงในสมการที่ 2.28 จะได้ว่า

$$F_z^+(\rho, \phi, z) = A_1 J_m(k_\rho \rho) \cdot C_2 \cos(\phi_s) \cdot A_3 \quad (2.57)$$

เมื่อ $F_z^+(\rho, \phi, z)$ คือเวกเตอร์ไฟฟ้าของสนามที่แพร่กระจายออกมาในแนวแกน $+z$ ของระบบพิกัดทรงกระบอก

ในกรณีของรูปแบบคลื่นหลัก (TE_{11}) จะได้ว่า

$$F_z^+(\rho, \phi, z) = A \cdot J_1\left(\frac{1.8412\rho}{a}\right) \cdot C_2 \cos(\phi) \cdot A_3 \quad (2.58)$$



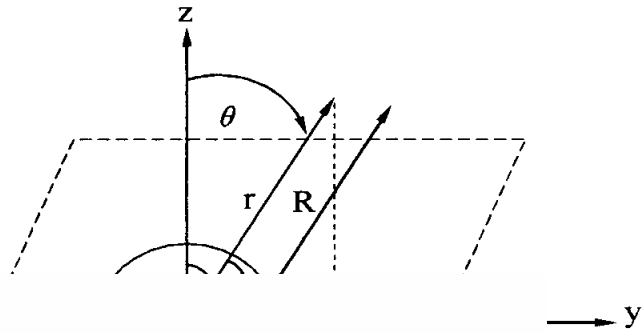
$$E_\phi = -\frac{1}{\epsilon} \frac{\partial F_z}{\partial \rho}$$

$$H_\phi = -j \frac{1}{\omega \mu \epsilon \rho} \frac{\partial^2 F_z}{\partial \phi \partial z}$$

$$E_z = 0$$

$$H_z = -j \frac{1}{\omega \mu \epsilon} \left(\frac{\partial^2}{\partial z^2} + k^2 \right) F_z$$

เนื่องจากแหล่งกำเนิด(Source) ที่ใช้ในการแพร่กระจายคลื่นนั้น เป็นโพรบไฟฟ้าเชิงเส้น ดังนั้น ส่วนประกอบของสนามที่เกิดขึ้น จะสนใจเฉพาะส่วนประกอบของสนามไฟฟ้าเท่านั้น เมื่อนำสมการที่ 2.57 แทนลงไปในส่วนประกอบของสนามไฟฟ้าที่แสดงไว้ข้างต้นจะได้ส่วนประกอบของสนามไฟฟ้าที่แพร่กระจายกระจายบริเวณพื้นที่หน้าตัดของท่อนำคลื่นแบบทรงกระบอกที่แสดงได้ดังรูปที่ 2.7 โดยคิดที่มุม ϕ_s จะได้ว่า



$$0 \tag{2.60}$$

$$\tag{2.61}$$

$$\tag{2.62}$$

ดังนั้นจะได้ส่วนประกอบของสนามไฟฟ้าที่แพร่กระจายบริเวณพื้นที่หน้าตัดของท่อนำคลื่นแบบทรงกระบอก ซึ่งเปรียบเสมือนกับสนามไฟฟ้าที่แพร่กระจายบริเวณช่องเปิดของวงแหวนของตัวสายอากาศได้ดังนี้

$$\therefore E_\rho = -\frac{1}{\epsilon\rho} A_{11} J_1 \left(\frac{1.8412\rho}{r_a} \right) \sin(\phi_s) \tag{2.63}$$

$$\therefore E_\phi = \frac{1}{\epsilon} \frac{1.8412}{r_a} A_{11} J_1 \left(\frac{1.8412\rho}{r_a} \right) \cos(\phi_s) \tag{2.64}$$

$$\therefore E_z = 0 \tag{2.65}$$

2.4.4 สนามที่แพร่กระจายออกจากตัววงแหวนวงกลม

จากสนามที่แพร่กระจายบริเวณช่องเปิดของวงแหวน เราสามารถหาสนามที่แพร่กระจายออกจากตัวสายอากาศได้ โดยพิจารณาที่สนามระยะไกลของสนามที่แพร่กระจายจากท่อนำคลื่นแบบทรงกระบอกที่ระนาบ $z = 0$

จากส่วนประกอบของสนามที่แพร่กระจายบริเวณช่องเปิดของวงแหวน จะพบว่าส่วนประกอบของสนามในแนวแกน z จะมีค่าเท่ากับ 0 ดังนั้น จะพิจารณาเฉพาะส่วนประกอบของสนามที่เหลื่ออยู่สามารถแสดงได้ดังนี้

$$E_z = \frac{1}{A_{11}} J_1 \left(\frac{1.8412 \rho}{r_a} \right) \sin(\phi_s) \quad (2.66)$$

(2.67)

ทำก
ฉาก(Rectang



ในระนาบพิกัดมุม

(2.68)

(2.69)

จะได้ว่า

$$\left. \frac{2\rho}{r_a} \right] \quad (2.70)$$

จากคุณสมบัติของฟังก์ชันเบสเซลที่แสดงได้ดังนี้

$$\frac{m}{u} J_m(u) = \frac{1}{2} [J_{m-1}(u) + J_{m+1}(u)] \quad (2.71)$$

$$\frac{m}{u} \frac{dJ_m(u)}{du} = \frac{1}{2} [J_{m-1}(u) - J_{m+1}(u)] \quad (2.72)$$

$$\text{จะได้ว่า } \therefore E_x = \frac{A_{11}}{\epsilon} \frac{1.8412}{2r_a} J_2 \left(\frac{1.8412 \rho}{r_a} \right) \sin(2\phi_s) \quad (2.73)$$

ในทำนองเดียวกันสำหรับ E_y จะได้ว่า

$$E_y = \frac{A_{11}}{\varepsilon} \frac{1.8412}{2r_a} \left[\left\{ J_0 \left(\frac{1.8412}{r_a} \right) + J_2 \left(\frac{1.8412}{r_a} \right) \right\} \sin^2(\phi_s) \right. \\ \left. + \left\{ J_0 \left(\frac{1.8412}{r_a} \right) - J_2 \left(\frac{1.8412}{r_a} \right) \right\} \cos^2(\phi_s) \right] \\ E_y = \frac{A_{11}}{\varepsilon} \frac{1.8412}{2r_a} \left\{ J_0 \left(\frac{1.8412\rho}{r_a} \right) - J_2 \left(\frac{1.8412\rho}{r_a} \right) \cos(2\phi_s) \right\} \quad (2.74)$$

จากคุณสมบัติการแปลงฟูเรียร์ (Fourier Transform) 2 มิติ สามารถแสดงได้ดังนี้

(2.75)

เนื่องจากพื้นที่
จะได้ว่า

าที่ระนาบ $z = 0$



(2.76)

และจากการ

(2.77)

นำสมการที่ :

$$E_a(x, y) = E_x \hat{a}_x + E_y \hat{a}_y \quad (2.78)$$

$$\text{และกำหนดให้ } M = \frac{A_{11}}{\varepsilon} \frac{1.8412}{2r_a} \quad (2.79)$$

จะได้ว่า

$$f_t(x, y) = M \left[\int_0^{r_a} \int_0^{2\pi} J_2 \left(\frac{1.8412\rho}{r_a} \right) \sin(2\phi_s) e^{jk_0\rho \sin\theta \cos(\phi - \phi_s)} \rho d\phi_s d\rho \hat{a}_x \right. \\ \left. + \int_0^{r_a} \int_0^{2\pi} J_0 \left(\frac{1.8412\rho}{r_a} \right) e^{jk_0\rho \sin\theta \cos(\phi - \phi_s)} \rho d\phi_s d\rho \hat{a}_y \right. \\ \left. - \int_0^{r_a} \int_0^{2\pi} J_2 \left(\frac{1.8412\rho}{r_a} \right) \cos(2\phi_s) e^{jk_0\rho \sin\theta \cos(\phi - \phi_s)} \rho d\phi_s d\rho \hat{a}_y \right] \quad (2.80)$$

จากคุณสมบัติแสดงได้ดังนี้

$$e^{j\omega \cos(\phi-\phi')} = J_0(\omega) - 2[J_2(\omega)\cos 2(\phi-\phi') - J_4(\omega)\cos 4(\phi-\phi') + \dots] + 2j[J_1(\omega)\cos 2(\phi-\phi') - J_3(\omega)\cos 4(\phi-\phi') + \dots] \quad (2.81)$$

เมื่อพิจารณาการปฏิยานุพันธ์เทียบกับมุม ϕ_s เมื่อแทนสมการ(2.81) ลงในสมการ(2.80) จะได้ว่า

$$f_1(x, y) = M \left[-2\pi \sin(2\phi) \int_0^{r_a} J_2\left(\frac{1.8412\rho}{r_a}\right) J_2(k_0\rho \sin \theta) \rho d\rho \hat{a}_x + 2\pi \int_0^{r_a} J_0\left(\frac{1.8412\rho}{r_a}\right) J_0(k_0\rho \sin \theta) \rho d\rho \hat{a}_z \right] \quad (2.82)$$

จาก

$$E_r =$$

จาก

ในพจน์ของ
เมื่อพิจารณา



แสดงได้ดังนี้

$$\phi \}} \quad (2.83)$$

f_y เป็นค่าที่อยู่
ใน \hat{a}_ϕ

$$\rho \sin \theta) \rho d\rho$$

$$\left[+ 2\pi \sin \phi \int_0^{r_a} J_0\left(\frac{1.8412\rho}{r_a}\right) J_0(k_0\rho \sin \theta) \rho d\rho + 2\pi \cos(2\phi) \sin \phi \int_0^{r_a} J_2\left(\frac{1.8412\rho}{r_a}\right) J_2(k_0\rho \sin \theta) \rho d\rho \right] \quad (2.84)$$

ถ้ากำหนดให้ $N = jk_0 \frac{e^{jk_0 r}}{2\pi r} \quad (2.85)$

และใช้คุณสมบัติจาก $\sin(x - y) = \sin x \cos y - \sin y \cos x \quad (2.86)$

เมื่อนำสมการ 2.85 และ 2.86 แทนลงในสมการที่ 2.84 จะได้ว่า

$$E_\theta = 2NM\pi \sin \phi \left[\int_0^{r_a} J_0\left(\frac{1.8412\rho}{r_a}\right) J_0(k_0\rho \sin \theta) \rho d\rho - \int_0^{r_a} J_2\left(\frac{1.8412\rho}{r_a}\right) J_2(k_0\rho \sin \theta) \rho d\rho \right] \quad (2.87)$$

จากรูปแบบการทำปฏิกิริยาพันธะของเบสเซลฟังก์ชัน ที่แสดงได้ดังนี้

$$\int_0^{r_a} J_n(k_1 r) J_n(k_2 r) r dr = \frac{r_a^2}{k_1^2 - k_2^2} [k_2 J_n(k_1 r_a) J_{n-1}(k_2 r_a) - k_1 J_{n-1}(k_1 r_a) J_n(k_2 r_a)] \quad (2.88)$$

และ

จะได้ว่า E_θ

$$\left[\begin{array}{l} \times \\ - \end{array} \right] k$$

จากสมการที่



$$\left. \begin{array}{l} \sin \theta \\ \theta \end{array} \right\} \quad (2.90)$$

$$\therefore E_\theta = 2NM\pi \sin \phi \left[\frac{2a^2}{(1.8412)(k_0 r_a \sin \theta)} J_1(1.8412) J_1(k_0 r_a \sin \theta) + \frac{1.8412}{r_a} J_1(1.8412) \frac{2}{k_0 r_a \sin \theta} J_1(k_0 r_a \sin \theta) \right] \quad (2.91)$$

เมื่อแทนค่า N และ M ลงในสมการที่ 2.91 จะได้ว่า

$$E_\theta = jk_0 \frac{e^{jk_0 r}}{\epsilon r} A_{11} \sin \phi J_1(1.8412) \frac{J_1(k_0 r_a \sin \theta)}{k_0 r_a \sin \theta} \quad (2.92)$$

เช่นเดียวกัน สำหรับ E_ϕ สามารถแสดงได้ดังนี้

$$\begin{aligned}
 E_\theta = jk_0 \frac{e^{jk_0 r}}{2\pi r} M \left[-2\pi \cos \phi \cos \theta \int_0^{r_a} J_0 \left(\frac{1.8412\rho}{r_a} \right) J_0(k_0 \rho \sin \theta) \rho d\rho \right. \\
 \left. + 2\pi \cos \phi \cos(2\phi) \cos \theta \int_0^{r_a} J_2 \left(\frac{1.8412\rho}{r_a} \right) J_2(k_0 \rho \sin \theta) \rho d\rho \right] \\
 + 2\pi \sin \phi \sin(2\phi) \cos \theta \int_0^{r_a} J_2 \left(\frac{1.8412\rho}{r_a} \right) J_2(k_0 \rho \sin \theta) \rho d\rho \left. \right] \quad (2.93)
 \end{aligned}$$

จากสมการที่ 2.85 และความสัมพันธ์ที่สามารถแสดงได้ดังนี้

$$\dots \quad (2.94)$$

จะได้ว่า

$$E_\phi \quad (2.95)$$

จากสมการที่

$$E_\theta = 2NM$$

$$\left. \begin{aligned} & \times \left[\dots \sin \theta \right) \} \\ & - \left[\dots \theta \right) \} \right] \quad (2.96) \end{aligned} \right.$$

จากสมการที่ 2.72 และใช้คุณสมบัติที่แสดงได้ดังนี้

$$\frac{dJ_n(k_{c0}r)}{dr} \Big|_{r=r_a} = 0 \quad (2.97)$$

โดยที่ $k_c = \frac{k'_{mn}}{r_a}$



จากการสังเกตที่สนามระยะไกล จะได้ว่า

$$\theta_1 = \theta_2 = \theta \quad (2.102)$$

$$r_1 = r - \frac{d}{2} \cos(\theta) \quad (2.103)$$

$$r_2 = r + \frac{d}{2} \cos(\theta) \quad (2.104)$$

$$r_1 \approx r_2 \approx r \quad (2.105)$$

โดยที่สมการที่ 2.103 และ 2.104 จะมีผลในส่วนของเฟส และสมการที่ 2.105 จะมีผลในส่วนของขนาด

ดังนั้น

$$E_{\theta_1} = \quad (2.106)$$

$$E_{\phi_1} = \quad (2.107)$$

และ

ทิศทางของการ

แพร่กระจาย



$$E_{\theta_2} = \frac{jk_0}{r} \frac{A_{11}}{\epsilon} r_a \sin \phi J_1(1.8412) \frac{J_1(k_0 r_a \sin \theta)}{(k_0 r_a \sin \theta)} e^{-jk_0 r} e^{jk_0 \frac{d}{2} \cos \theta} (-\hat{a}_\theta) \quad (2.108)$$

$$E_{\phi_2} = \frac{jk_0}{r} \frac{A_{11}}{\epsilon} r_a \cos \theta \cos \phi \frac{(1.8412)^2 J_1(1.8412)}{(1.8412)^2 - (k_0 r_a \sin \theta)^2} \times \frac{dJ_1(k_0 r_a \sin \theta)}{d(k_0 r_a \sin \theta)} e^{-jk_0 r} e^{jk_0 \frac{d}{2} \cos \theta} (-\hat{a}_\phi) \quad (2.109)$$

ดังนั้น สนามที่แพร่กระจายจากช่องเปิดของวงแหวนทั้งสองด้านของตัวสายอากาศสามารถแสดงได้ดังนี้

$$\begin{aligned}
 E_\theta &= \bar{E}_{\theta 1} + \bar{E}_{\theta 2} \\
 &= E_{\theta 1}(\hat{a}_\theta) + E_{\theta 2}(-\hat{a}_\theta) \\
 E_\theta &= \frac{j^2 k_0}{r\epsilon} e^{-jk_0 r} A_{11} 2r_a \sin \phi J_1(1.8412) \frac{J_1(k_0 r_a \sin \theta)}{k_0 r_a \sin \theta} \sin\left(k_0 \frac{d}{2} \cos \theta\right) \quad (2.110)
 \end{aligned}$$

$$E_\phi = \bar{E}_\phi = \bar{E}_\phi$$

$$E_\phi$$



(2.111)

ดังนั้น
สายอากาศมี

2 ด้านของตัว

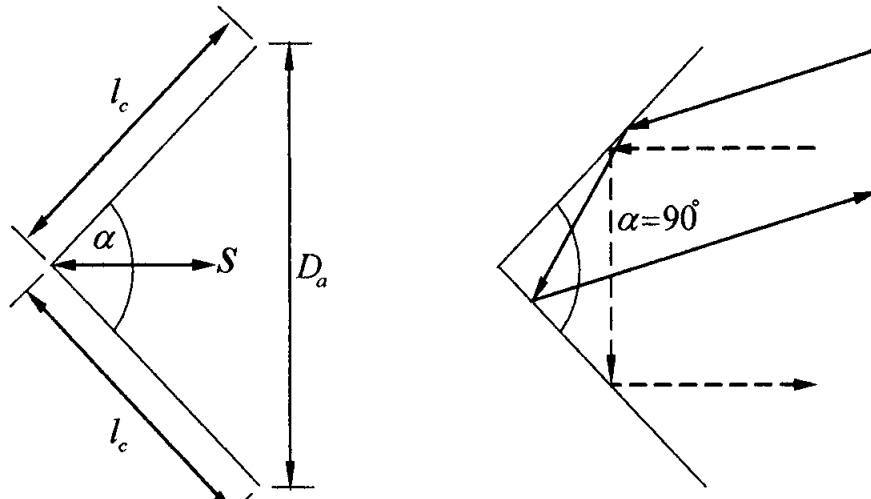
$$E_\theta =$$

(2.112)

$$\begin{aligned}
 E_\phi &= \frac{jk_0}{r\epsilon} e^{-jk_0 r} A_{11} 2r_a \cos \theta \cos \phi \frac{(1.8412)^2 J_1(1.8412)}{(1.8412)^2 - (k_0 r_a \sin \theta)^2} \\
 &\quad \times \frac{dJ_1(k_0 r_a \sin \theta)}{d(k_0 r_a \sin \theta)} \sin\left(k_0 \frac{d}{2} \cos \theta\right) \quad (2.113)
 \end{aligned}$$

2.5 ตัวสะท้อนคลื่นแบบมุม(Corner Reflector)

โครงสร้างของตัวสะท้อนคลื่นแบบมุมจะประกอบด้วยแผ่นสะท้อน 2 แผ่น ทำมุมกันดังรูปที่ 2.9(ก) ซึ่งโครงสร้างของตัวสะท้อนแบบมุมจะทำได้ง่าย ซึ่งสัญญาณจะย้อนกลับในทิศทางเดิมที่รับเข้ามา ดังแสดงได้ในรูปที่ 2.9(ข) คือมุม 90°



โดย
ก็ยังมีบางงาน
ตัวป้อนสัญญาณ
อัตราขยาย (\$g\$)
ของแผ่นเพลท
($l_c = \infty$) แต่

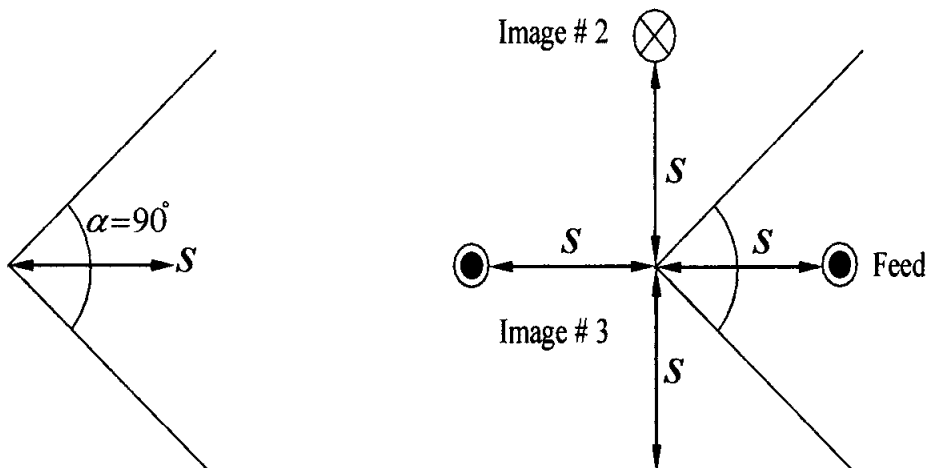
โดย
และความยาว

$l_c = 2s$ ระยะที่ จะระหว่งจุดยอดของมุม (s) กับการจะ เซต ระหว่ง $\frac{\lambda}{3} < s < \frac{2\lambda}{3}$
และความสูงของตัวสะท้อนปกติจะใช้ประมาณ 1.2-1.5 เท่าของความยาวทั้งหมดของตัวป้อนสัญญาณ ซึ่ง
จะช่วยลดการแพร่กระจายจากด้านหลัง

มุมกัน 90° แต่
วางจุดยอดมุมกับ
พื้นที่มีขนาดอนันต์
จริง หากขนาด
e) มีขนาดอนันต์

$\lambda < D_a < 2\lambda$
มีความยาวเท่ากับ

ตัวสะท้อนคลื่นทำมุมกัน 90° ($\alpha = 90^\circ$)



จาก
ตัวป้อนสัญญาณ
สัญญาณ และ

$$E(r)$$

ที่สนามระยะ

$$E(r)$$



ภาพเหมือนของ
การของตัวป้อน

$$\frac{e^{-jkr_4}}{r_4}$$

$$E(r, \theta, \phi) = [e^{+jks \cos \psi_1} - e^{+jks \cos \psi_2} + e^{+jks \cos \psi_3} - e^{jks \cos \psi_4}] f(\theta, \phi) \frac{e^{-jkr}}{r} \quad (2.114)$$

เมื่อ

$$\hat{a}_r = \hat{a}_x \sin \theta \cos \phi + \hat{a}_y \sin \theta \sin \phi + \hat{a}_z \cos \theta$$

โดย

$$\cos \psi_1 = \hat{a}_x \cdot \hat{a}_r = \sin \theta \cos \phi$$

$$\cos \psi_2 = \hat{a}_y \cdot \hat{a}_r = \sin \theta \sin \phi$$

$$\cos \psi_3 = -\hat{a}_x \cdot \hat{a}_r = -\sin \theta \cos \phi$$

$$\cos \psi_4 = -\hat{a}_y \cdot \hat{a}_r = -\sin \theta \sin \phi$$

แทนค่าทั้งหมดลงในสมการที่ 2.114 จะได้

$$E(r, \theta, \phi) = 2[\cos(ks \sin \theta \cos \phi) - \cos(ks \sin \theta \sin \phi)]f(\theta, \phi) \frac{e^{-jkr}}{r}$$

โดยที่ในสนามอิสระมีการแพร่กระจายคลื่น คือ

$$E_0 = f(\theta, \phi) \frac{e^{-jkr}}{r}$$

เพราะฉะนั้นจะได้ดังนี้

$$\frac{E}{E_0} = AF(\theta, \phi) = 2[\cos(ks \sin \theta \cos \phi) - \cos(ks \sin \theta \sin \phi)] \quad (2.115)$$

2.6 สายนำคลื่น

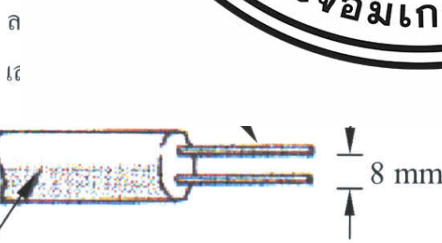
2.6

จุด:
ได้ โดยควา
แล้วแต่กรณี
เมตร

โค:
ประเภทหลัก
ลักษณะของ

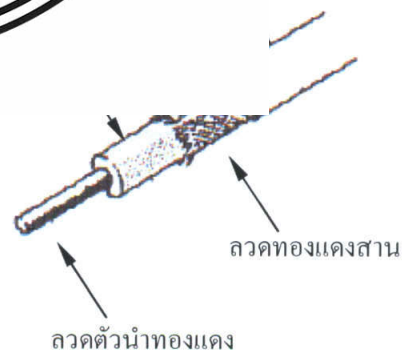


ังไปยังอีกจุดหนึ่ง
ส่วนของเมตรได้
ขนาดเศษส่วนของ
โดยมีขนาดกันไว้
เอกเซียล ดังแสดง



โพลิเอททีลีนแข็ง

(ก)สายนำสัญญาณแบบเส้นคู่



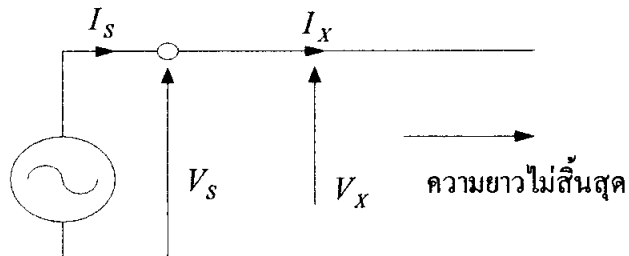
(ข)สายนำสัญญาณแบบโคเอกเซียล

รูปที่ 2.11 แสดงโครงสร้างของสายนำสัญญาณ

คุณสมบัติต่าง ๆ ของสายนำสัญญาณ เมื่อมีการป้อนสัญญาณเข้ามา จะพิจารณาจากสัมประสิทธิ์ทั้ง 4 ค่า ดังนี้

2.6.1.1 ลักษณะสมบัติทางอิมพีแดนซ์ของสาย (Impedant Coefficient)

แทนด้วยสัญลักษณ์ Z_0 เป็นค่าอิมพีแดนซ์ของสายที่มีความยาวไม่สิ้นสุด พิจารณาจากรูปที่ 2.12



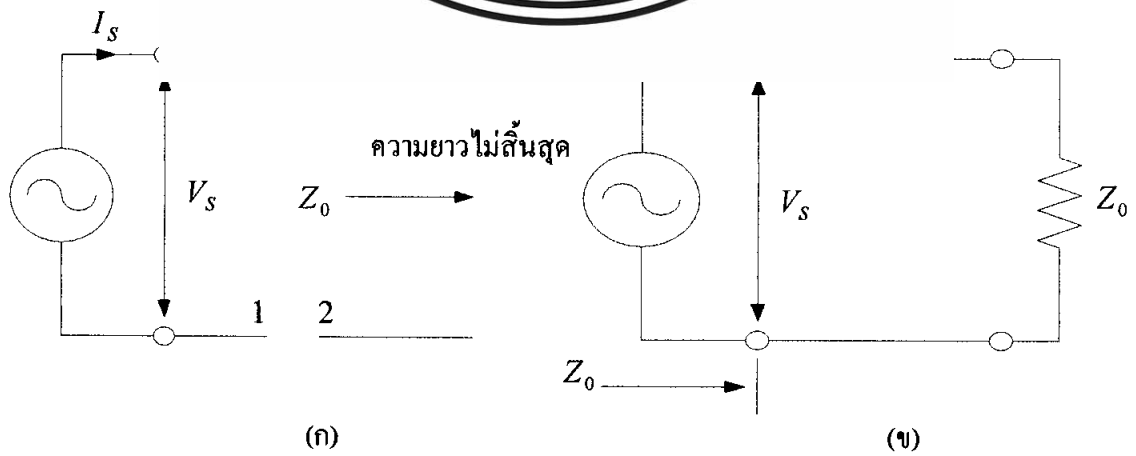
จาก
ที่ไหลบนสาย



หรือ
ให้มีความยาว

งสาย
 V_S) กับกระแส

(2.116)
มติทำการตัดสาย



รูปที่ 2.13 แสดงค่า Z_0 ในวงจรทางไฟฟ้าของสาย

ส่วนที่เหลือของสายยังมีความยาวไม่สิ้นสุดอยู่ ดังนั้นค่าอิมพีแดนซ์ที่วัดจุด 2-2 มีขนาดเท่ากับค่าลักษณะสมบัติทางอิมพีแดนซ์ของสาย ทำให้คิดได้ว่าก่อนตัดสายที่จุด 1-1 ก็มีค่าอิมพีแดนซ์เท่ากับ Z_0 ก็จะไม่ทำให้คุณสมบัติของสายเปลี่ยนแปลงไป เรียกสายที่ถูกตัดด้วยโหลดขนาด Z_0 ว่ามีการต่อปลายสายที่ถูกต้อง

ทำให้วงจรสมมูลของสายที่ไม่คิดค่าการลดทอน จากรูปที่ 2.13(ก)และ (ข)ทำให้สามารถย่อให้เล็กลงโดยการต่อโหลดขนาด Z_0

ค่าลักษณะสมบัติทางอิมพีแดนซ์ของสายนำสัญญาณที่ใช้งานในความถี่วิทยุคิดค่าได้จาก

$$Z_0 = \sqrt{\frac{L}{C}} \quad \text{โอห์ม} \quad (2.117)$$

โดย

2.6.1

เมื่อ

เรื่อย ๆ เนื่อง
การสูญเสีย

ถ้า

ทั้ง ไม่คิดค่า
ตามลำดับ

ดังนี้



จนหรือลดลงไป
ยได้ 3 แบบ คือ
สิ้น

ทำให้สามารถละ
้วย I_S และ V_S

(2.118)

เมื่อค่า e แทนลอการิทึมฐานธรรมชาติ(2.7183)

และค่า α แทนสัมประสิทธิ์การลดทอนของสาย มีหน่วยเป็นเนเปอร์ต่อเมตร(neper/m)

ดังนั้นในส่วนเมตรถัดไปของความยาวสาย พบว่าสัมประสิทธิ์การลดทอนเท่าเดิม ทำให้คิดค่า I_2 ได้ว่า

$$I_2 = I_1 e^{-\alpha} = I_S e^{-\alpha} e^{-\alpha} = I_S e^{-2\alpha} \quad (2.119)$$

ทำนองเดียวกัน กรณีค่า $V_2 = V_S e^{-2\alpha}$

ถ้ากำหนดให้ความยาวของสายเท่ากับ 1 เมตร ค่ากระแสหรือแรงดันไฟฟ้าที่จุดปลายของสาย
เท่ากับ

$$I = I_s e^{-\alpha l} \quad (2.120)$$

$$V = V_s e^{-\alpha l} \quad (2.121)$$

ซึ่งสมการทั้งสองนี้ แสดงถึงค่ากระแสและแรงดัน ไฟฟ้าลดลงตามระยะของสายที่เพิ่มขึ้นที่
ความถี่วิทยุ สามารถคำนวณค่าสัมประสิทธิ์การลดทอนของสายได้ดังนี้

$$\alpha = R/2Z_0 + GZ_0/2 \text{ เนเปอร์/เมตร} \quad (2.122)$$

โดย

ค่าสั
การสูญเสีย
สัดส่วน โดยค

โดย
เท่ามาก ทำให้
ดังนี้
งานย่าน VHF
ย่านความถี่นี้



แปรที่มีผล คือ
กณนวน จะเป็น

จนวน อยู่หลาย

สำหรับการใช้
นำสัญญาณใน

2.6.1

เมื่อ.....ทำให้เกิดเฟสที่
ตามหลัง(Lag) กับเฟสเริ่มต้น ณ จุดส่ง ค่าสัมประสิทธิ์การเปลี่ยนเฟส(β)ของสายนำสัญญาณมีหน่วยเป็น
เรเดียน หรือองศาต่อระยะทาง 1 เมตร คำนวณค่าสัมประสิทธิ์การเปลี่ยนเฟสได้จากสูตร

$$\beta = \omega\sqrt{LC} \quad \text{เรเดียน/เมตร} \quad (2.123)$$

ซึ่งค่า β เป็นสัดส่วนโดยตรงกับความถี่ โดยถ้าความถี่มากขึ้น มักจะมีความยาวทางไฟฟ้าเข้ามา
ใช้ และใช้ค่า βl คำนวณช่วย (l = ความยาวจริงของสาย)

2.6.1.4 ความเร็วเฟส(Phase Velocity)

ค่าความเร็วเฟส(V_p)ของสายนำสัญญาณเป็นความเร็วที่กระแสหรือแรงดันที่กระแสหรือแรงดันไฟฟ้าเดินทางไปในสาย โดยที่คลื่นรูปไซน์เดินทางด้วยความเร็วหนึ่งความยาวคลื่นต่อรอบและจากที่มี f รอบต่อวินาที(ความถี่) ทำให้หาความเร็วได้เป็น λf เมตรต่อวินาที

ดังนั้นเขียนได้ว่า

$$V_p = \lambda f \quad \text{เมตร/วินาที} \quad (2.124)$$

เมื่อ λ แทนความยาวคลื่น

f แทนความถี่ของคลื่นไซน์ และในระยะเวลาหนึ่งความยาวคลื่นมีการเปลี่ยนเฟสไป 2π เรเดียน เกิดขึ้น

ดังนี้

ที่คว
ความเร็วเฟส
ค่าประมาณ (

2.6.2
กรณี

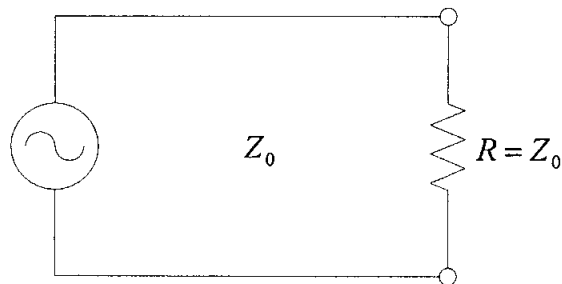
ตัวนำและไม่ว
ค่า L จะลดลง
ทั้งสองเพิ่มขึ้น
ตัวนำขนาดเล็
กัน มีค่าระห

ขนาดเท่ากับ Z_0 เข้ากับสายนำสัญญาณที่มีค่าลักษณะคุณสมบัติทางสาย เท่ากับ Z_0 ซึ่งต่อกับแหล่งกำเนิดพลังงาน



กันในทุกความถี่
มอโดยทั่วไปมี

ความต้านทานใน
ค่าคาปาซิแตนซ์
่างระหว่างตัวนำ
ต่ำ หรือสายที่มี
วงเส้นวางขนาน
ห้ม ถ้าต่อโหลด



รูปที่ 2.14 แสดง โหลดที่ต่อกับสายนำสัญญาณที่มีค่าอิมพีแดนซ์เท่ากับ Z_0

อธิบายจากรูป แยกเป็นกรณี ดังนี้

2.6.2.1 กรณีที่แมตช์กับสาย

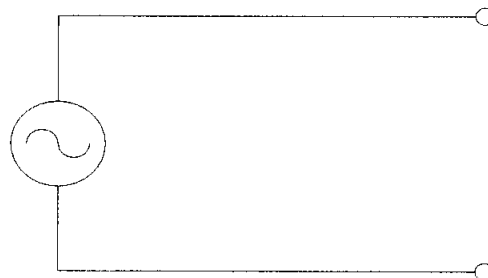
การต่อความต้านทานขนาดเท่ากับอิมพีแดนซ์ประจำตัวของสาย เรียกการต่อลักษณะนี้ว่าแมตช์ (match) ในสายนำสัญญาณที่แมตช์ ค่าพลังงานที่ส่งจากแหล่งกำเนิดไปยังโหลดจะถูกดูดกลืนหายไปทั้งหมด ไม่มีการสะท้อนของพลังงานกลับไป ทำให้ไม่เกิดการสูญเสียพลังงานบนสาย เรียกได้ว่าการถ่ายทอดพลังงานอย่างสมบูรณ์ ถ้ากำหนดให้แรงดันไฟฟ้าของแหล่งกำเนิดเท่ากับ E จะหาค่ากระแสและพลังงานบนสายเท่ากับ E^2/Z_0 และ I^2/Z_0 ตามลำดับ

2.6.2.2 กรณีที่ไม่แมตช์กับสาย

ถ้าต่อความต้านทานที่ขนาดไม่เท่ากับ Z_0 เรียกลักษณะเช่นนี้ว่า ไม่แมตช์ (mismatch)



5



กรณีเปิดวงจร

(ค) เปิดวงจร (open-circuited line)

รูปที่ 2.15 แสดงกรณีไม่แมตช์กับสายนำสัญญาณ

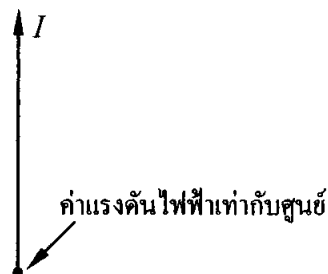
พลังงานที่มาถึงโหลด R จะไม่ถูกดูดกลืนจนหมด ทำให้พลังงานบางส่วนสะท้อนกลับไปยังแหล่งกำเนิด เหมือนกับการปลุกบอลไปกระทบกำแพง ซึ่งถ้าเกิดสภาวะ ไม้แมทซ์ ระหว่างสายนำสัญญาณกับโหลดมากขึ้น ค่าพลังงานที่สะท้อนกลับจะมากตามไปด้วย

โดยทั่วไป ถ้าแหล่งกำเนิดเป็นไฟฟ้ากระแสสลับ ค่าแรงดันไฟฟ้า ณ จุดใด ๆ บนสายนำสัญญาณเป็นผลรวมทางพีชคณิตระหว่างแรงดันไฟฟ้าส่วนที่เดินทางไปหาโหลดกับส่วนที่สะท้อนกลับจากโหลด แยกอธิบายแต่ละกรณีดังนี้

2.6.2.2.1 กรณีลัดวงจร กำหนดไว้ว่า แรงดันไฟฟ้าที่โหลดต้องเท่ากับศูนย์ นั่นคือแรงดันไฟฟ้าสะท้อนกลับขนาดเท่ากัน แต่มีเฟสตรงข้ามจะทำให้ผลรวมเท่ากับศูนย์ได้

พิจารณาเวกเตอร์ในรูปที่ 2.16

↑ E_1



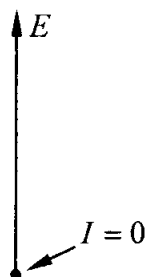
(ค) ผลรวมของ(ก)และ(ข) ที่ให้กระแสสูงขึ้นและแรงดันไฟฟ้าเท่ากับศูนย์
รูปที่ 2.16 แสดงเวกเตอร์ของแรงดันไฟฟ้าและกระแสของสายที่ลัดวงจร

จากรูปเป็นการแสดงทั้งขนาดและทิศทาง สำหรับกระแสในกรณีลัดวงจร จะไม่หายไปไหนไหลด ในทางกลับกันกระแสส่วนใหญ่ที่สะท้อนกลับจะไปเสริมค่ากระแสที่เดินทางมาไหลด โดยมีขนาดและเฟสเหมือนกัน

2.6.2.2.2 กรณีเปิดวงจร กำหนดไว้กระแสที่ไหลดต้องเท่ากับศูนย์ แสดงว่ากระแสที่สะท้อนกลับต้องมีเฟสต่างกับกระแสที่เดินทางมาไหลดอยู่ 180° และมีขนาดเท่ากัน ในทำนองเดียวกับกรณีลัดวงจร ค่าแรงดันไฟฟ้าส่วนที่สะท้อนกลับต้องมีเฟสเหมือนกับส่วนที่เดินทางมาไหลด ทำให้เกิดการเสริมของแรงดันไฟฟ้าให้มากขึ้น

พิจารณาเวกเตอร์ในรูปที่ 2.17

↑ $E1$



(ค) ผลรวมของ(ก)และ(ข) ที่ให้แรงดันไฟฟ้าสูงขึ้นและกระแสเท่ากับศูนย์ รูปที่ 2.17 แสดงเวกเตอร์ของแรงดันไฟฟ้าและกระแสของสายที่เปิดวงจร

สำหรับกรณีที่มีโหลดต่ออยู่ และขนาดไม่เท่ากับ Z_0 พบว่าจะมีพลังงานบางส่วนสะท้อนกลับจากโหลด และมีขนาดน้อยกว่าด้วย

สามารถแยกพิจารณาได้ 2 กรณี

กรณี R น้อยกว่า Z_0 แรงดันไฟฟ้าส่วนที่สะท้อนกลับมีเฟสต่างกับที่เดินทางมาโหลดอยู่ 180° แต่มีขนาดไม่เท่ากันเนื่องจากแรงดันไฟฟ้าทั้งหมดไม่ได้หายไปทีโหลด

กรณี R มากกว่า Z_0 กระแสไฟฟ้าส่วนที่สะท้อนกลับมีเฟสต่างกับที่เดินทางมาโหลด 180° แต่มีขนาดไม่เท่ากัน เนื่องจากกระแสทั้งหมดไม่ได้หายไปทีโหลด



(ข) กรณี R มากกว่า Z_0

รูปที่ 2.18 แสดงเวกเตอร์ของแรงดันไฟฟ้าและกระแสในกรณีที่มีโหลดต่ออยู่

2.6.3 สัมประสิทธิ์การสะท้อน(Reflection Coefficient).

อัตราส่วนของแรงดันไฟฟ้าที่สะท้อนกลับจากโหลดกับส่วนที่เดินทางมาโหลด สามารถแทนค่านี้ว่าสัมประสิทธิ์การสะท้อน เขียนเป็นสูตรดังนี้

$$\rho = \frac{E_r}{E_f} \quad (2.125)$$

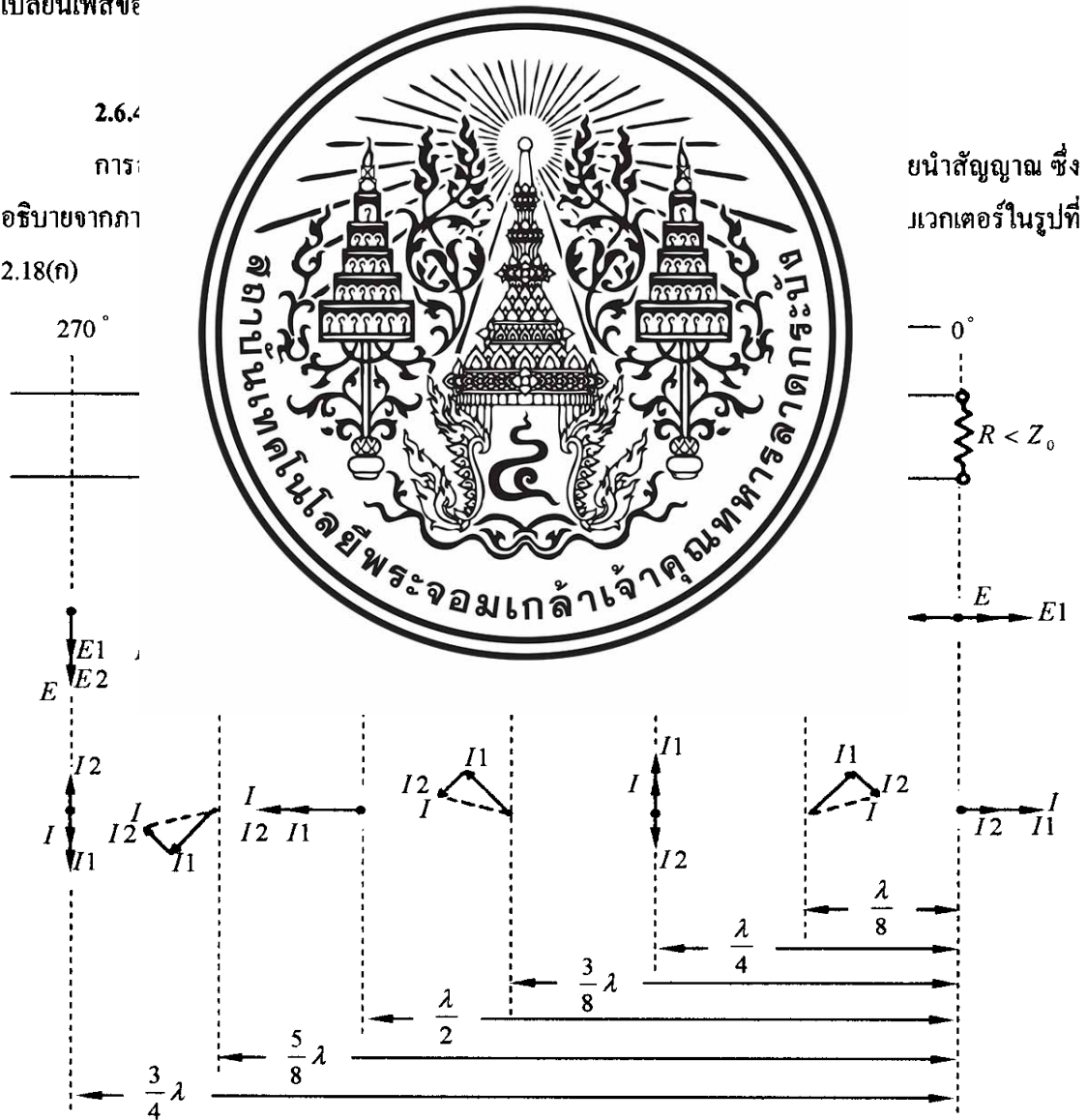
โดยที่ ρ แทนสัมประสิทธิ์การสะท้อน
 E_r แทนแรงดันไฟฟ้าสะท้อนกลับที่โหลด
 E_f แทนแรงดันไฟฟ้าเดินทางมาโหลด

ค่า ρ จะเกี่ยวข้องกับตัวแปร 2 ค่าเสมอ คือ ค่า Z_0 และค่าโหลดที่ต่ออยู่ นอกจากค่า ρ จะต้องมีค่าน้อยกว่าหนึ่งและมากกว่าศูนย์เสมอ ถ้าโหลดที่ต่อเป็นค่าความต้านทานอย่างเดียว ค่าสัมประสิทธิ์การสะท้อนหาได้จาก

$$\rho = \frac{R - Z_0}{R + Z_0} \tag{2.126}$$

R เป็นความต้านทานที่นำมาต่อกับสายนำสัญญาณ ค่า ρ มีเครื่องหมายบวกต่อเมื่อค่า R มากกว่า Z_0 และเครื่องหมายลบต่อเมื่อค่า R น้อยกว่า Z_0 ρ แสดงถึงการเปลี่ยนแปลงเฟส

2.6.4
 การอธิบายจากภาพ 2.18(ก)

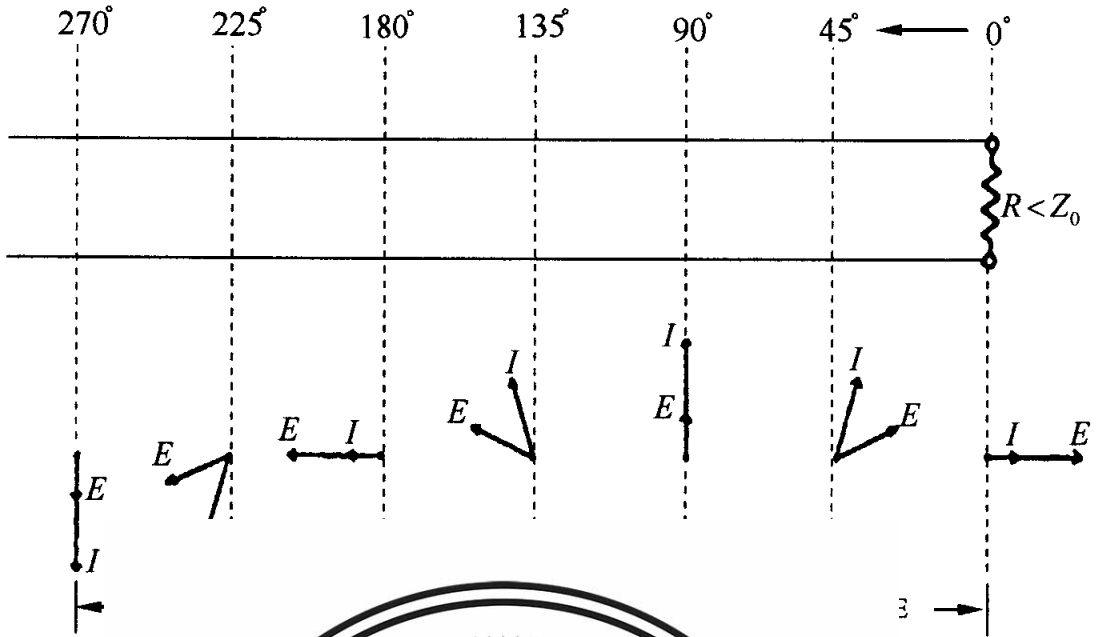


รูปที่ 2.19 แสดงเวกเตอร์ของส่วนประกอบต่าง ๆ บนสายนำสัญญาณในกรณีที่ค่า R น้อยกว่า Z_0

จากรูปพิจารณาจากโหนดไปหาแหล่งกำเนิดพลังงาน เวกเตอร์ของส่วนมาหาโหนด, E_1 และ I_1 จะนำหน้าเวกเตอร์ที่จุดต่อโหนดตามระยะทางของสายที่วัดในหน่วยของค่า เวกเตอร์ของส่วนสะท้อนจากโหนด, E_2 และ I_2 จะตามหลังเวกเตอร์เดียวกันนี้ ณ จุดต่อโหนด สำหรับผลลัพธ์ของ E และ I แสดงเป็นเส้นประในแต่ละตำแหน่ง เห็นได้ว่าถึงแม้ว่าส่วนที่เดินทางมาที่โหนดกับส่วนที่สะท้อนจากโหนดจะสามารถรักษขนาดของ E และ I ได้ก็ตาม แต่ถ้าคิดผลลัพธ์ทั้งหมดและค่า E และ I ในแต่ละตำแหน่งบนสายต่างกัน



(ข) กรณี R น้อยกว่า Z_0



สำหรับกรณีที่เกิดไม่แ
เรียกว่า คลื่น
ค่ากระแสจะ
ค่ากระแสจะม

ณ

ทุกจุดบนสาย แต่
แฉกย้ายคลื่นนิ่ง
จุดที่โหด และ
จุดที่โหด และ

2.6.5

อัตรา

บญาณหรือแทน

ด้วยอัตราส่วน

max min

Standing Wave

Ratio) เขียนแทนว่า VSWR หรือใช้ SWR ก็ได้ เขียนเป็นสูตรดังนี้

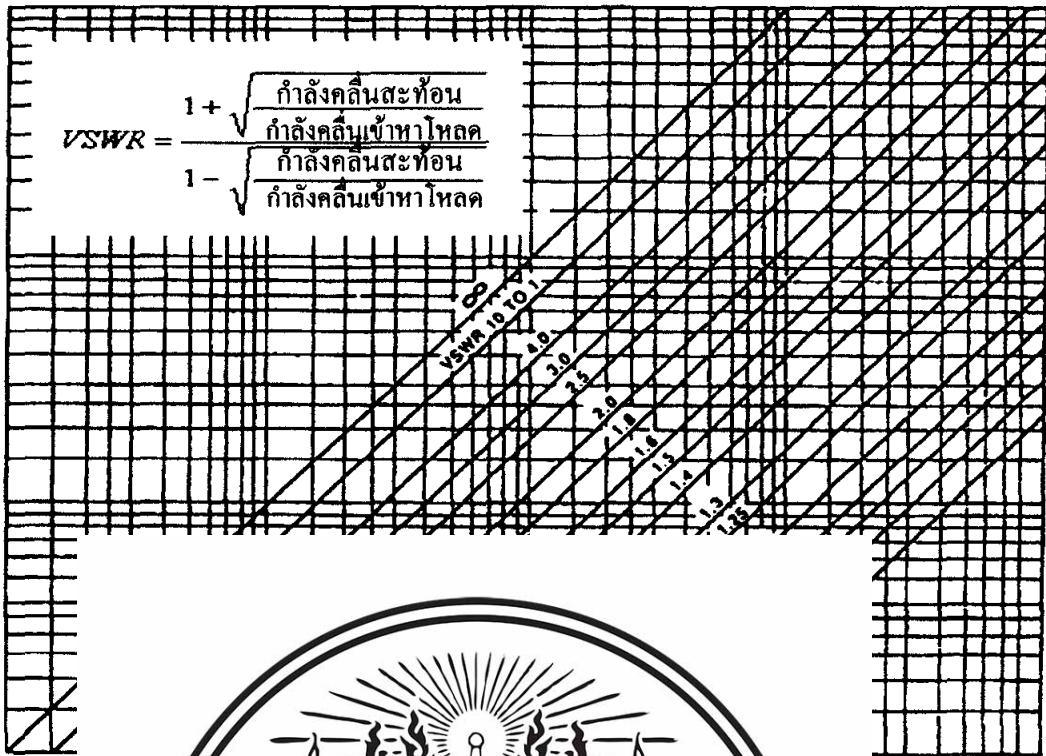
$$SWR = \frac{E_{max}}{E_{min}} \tag{2.127}$$

ทำนองเดียวกัน ค่ากระแสมากที่สุดต่อค่าน้อยที่สุด (I_{max} / I_{min}) ก็หาเช่นเดียวกับ VSWR พิจารณารูปที่ 2.21 แสดงโมโนกราฟของการหา VSWR โดยคิดจากกำลังคลื่นที่สะท้อนและส่วนมาหา โหด

โมโนกราฟ ของ VSWR

กำลังคลื่นที่สะท้อนจากโหลด (วัตต์)

$$VSWR = \frac{1 + \sqrt{\frac{\text{กำลังคลื่นสะท้อน}}{\text{กำลังคลื่นเข้าหาโหลด}}}}{1 - \sqrt{\frac{\text{กำลังคลื่นสะท้อน}}{\text{กำลังคลื่นเข้าหาโหลด}}}}$$



ขอ
ประสิทธิภาพ
ความต้านทาน

หรือใช้บอกถึง
อัตราส่วนระหว่าง
แบบ คือ

R

สามารถสรุปได้ว่า การไม่แมทซ์ของสายนำสัญญาณเกิดมากขึ้น จะมีผลให้ความแตกต่างระหว่างค่า Z_0 และ R มีมากขึ้น หรือค่า SWR มีขนาดมากขึ้น ส่วนสายที่มีการแมทซ์กับโหลดอย่างสมบูรณ์จะไม่มีคลื่นนิ่งเกิดบนสาย และมีลักษณะคลื่นเป็นเส้นตรงตลอดความยาวของสาย บางกรณีค่า SWR สามารถหาจากสัมประสิทธิ์การสะท้อน (ρ) ได้จากสูตรดังนี้

$$SWR = \frac{1 + |\rho|}{1 - |\rho|} \tag{2.128}$$

2.6.6 ชนิดและคุณสมบัติของสายนำสัญญาณ

สายนำสัญญาณ สามารถแบ่งได้ 2 ชนิด คือ สายแบบบาลานซ์(balance line) และสายแบบอับบาลานซ์(unbalance line) ซึ่งนอกจากทั้ง 2 ชนิดนี้ยังแบ่งย่อยได้อีก 2 ประเภทตามฉนวน คือ สายนำสัญญาณที่ใช้อากาศเป็นฉนวนและสายนำสัญญาณที่มีสาร ไดอิเล็กตริกแข็งเป็นฉนวน และสำหรับสายแบบเฟล็กซิเบิล(Flexible lines) มีลักษณะพิเศษ คือ สามารถโค้งงอหรือม้วนสายได้โดยง่าย ซึ่งมีสาร ไดอิเล็กตริกแบบอ่อนอยู่ และข้อดีที่กว่าแบบใช้อากาศเป็นฉนวน คือ มีน้ำหนักเบากว่า มีระยะระหว่างตัวนำทั้งสองอย่างแน่นนอน และง่ายในการติดตั้ง สายแบบตัวนำวางขนานกับสายโคแอกเซียล มีแบบเฟล็กซิเบิลด้วย ข้อเสียที่เห็นชัดของสายแบบเฟล็กซิเบิล คือ ค่าการสูญเสียกำลังต่อหน่วยความยาวมีมากกว่าสายแบบฉนวนเป็นอากาศ โดยกำลังคลื่นสูญเสียไปในรูปความร้อน และถ้าร้อนจนเกินไปอาจทำให้สายเสียหายทั้งทางกายภาพและทางไฟฟ้าได้

สำหรับ
คอก (helical li
นอก รายละเอียด
2.6.6

ชั้น สายแบบเฮลิคัล
เป็นตัวนำด้าน



แบบ

(ข) สายทวินลิตขนาด 75 โอห์ม

รูปที่ 2.22 แสดง โครงสร้างสายตัวนำวางขนานกันแบบเฟล็กซิเบิล

จากรูปที่ 2.22(ก) สายทวินลิตขนาด 300 โอห์ม จะใช้ลวดตัวนำขนาดเบอร์ 20 และวางขนานโดยมีฉนวนโพลีเอททิลีนหุ้มคั่นห่างกันประมาณ $1/2$ นิ้ว สายแบบนี้มีข้อเสียอยู่บ้าง คือ ความชื้นในบรรยากาศจะมีผลให้ค่าอิมพีแดนซ์ประจำสายเปลี่ยนไป ทำให้เกิดไม่แมทซ์กับโหลด และสูญเสียพลังงานไปในสาย

สำหรับรูปที่ 2.22(ข) เป็นสายทวินลิตขนาด 75 โอห์ม ที่ใช้ลวดตัวนำเบอร์ 12 และมีระยะห่างระหว่างตัวนำน้อยกว่า มีข้อดี คือ ทนต่อความชื้นในบรรยากาศได้ดีกว่าแบบ 300 โอห์ม

2.6.6.2 สายโคแอกเชียล

รูปแบบต่าง ๆ ของสายโคแอกเชียล ดูได้จากรูปที่ 2.23 ซึ่งจะมีหลักการเหมือนกัน กำลังไฟฟ้าที่ใช้ในสายกับขนาดของสาย เป็นสัดส่วนโดยตรงระหว่างกัน อธิบายคือ ขนาดของไดอิเล็กตริก และตัวนำหนาขึ้น จะสามารถนำไปใช้กับแรงดันไฟฟ้า และกระแสได้ปริมาณมากขึ้น กล่าวคือ การสูญเสียในสายลดลง ถ้าขนาดเส้นผ่านศูนย์กลางของสายเพิ่มขึ้น รูปร่างของสายโคแอกเชียลโดยทั่วไป แสดงในรูปที่ 2.23(ก) คือ แกนของสายเป็นตัวนำเส้นกลม อาจเป็นเส้นเดี่ยวหรือเส้นเล็กหลายเส้นพันรวมกัน หุ้มด้วยสารไดอิเล็กตริก โดยถ้าใช้งานในย่านความถี่ต่ำจะใช้สาร โพลีเอททีลีน หรือ โพลีนิเอททีลีน โฟม แต่ถ้าใช้งานในความถี่สูง มักใช้สารเทฟลอนแทน บางกรณีจะใช้ก๊าสเป็นสาร ไดอิเล็กตริกแทน สายโคแอกเชียลบางแบบมีการป้องกันคลื่นรบกวนจากภายนอกเข้ามาในสายอย่างเป็นพิเศษ คือ สายแบบมีชีลด์ 2 ชั้น แสดงในรูปที่ 2.23(ข) บางครั้งฉนวนที่หุ้มเป็นวัสดุแข็ง เช่น ใช้อะลูมิเนียมเป็นตัวนำชั้นนอก

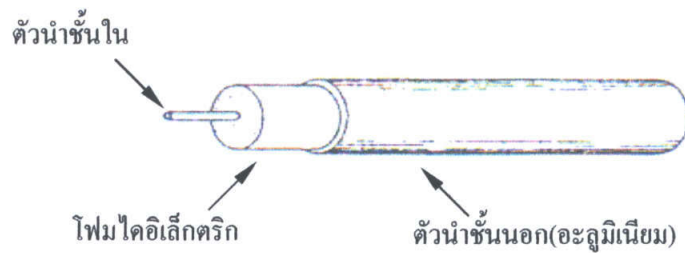


ตัว

ลวดทองแดงสถาน No.2

ลวดทองแดงสถาน No.1

(ข)สาย โคแอกเชียลแบบชีลด์ 2 ชั้น



(ค)สาย โคแอกเชียลแบบฮาร์ดไลน์

โฟมไดอิเล็กตริก

ฉนวนแข็งเรดอก(พานิล)



การ
เหมาะสมกับ
กำหนดอย่าง
2.6.6
RG/U(RG ย่อ
สายนำสัญญาณ

สัญญาณที่มีความ
ลงจะมีมาตรฐาน
ขึ้นต้นด้วยเบอร์
เงมาตรฐานของ

มาตรฐาน MIL-C-17 เช่น เบอร์ RG-8 A/U

RG หมายถึง Radio Guide(สายนำสัญญาณวิทยุ)

8 หมายถึง เบอร์ของสายโคแอกเชียล

A หมายถึง มีการเปลี่ยนแปลงเพิ่มเติมอย่างไรอย่างหนึ่ง เช่น วัสดุทำจากเปลือกหุ้มเปลี่ยนไป จำนวนลวดตรงกลางต่างกัน อิมพีแดนซ์ต่างกันเล็กน้อย อัตราการสูญเสียต่างกันเล็กน้อย

U หมายถึง Utility หรือ Universal คือใช้งานทั่วไป

2.6.6.2.2 มาตรฐาน JIS C3501 เป็นของประเทศญี่ปุ่น ซึ่งอธิบายความหมายของมาตรฐานของสายนำสัญญาณชนิดนี้ ได้ดังนี้

มาตรฐาน JIS C3501 เช่น เบอร์ 3C-2V

- 3 หมายถึง ขนาดเส้นผ่านศูนย์กลางภายนอก โดยประมาณของ โคอีเล็กตริก
- C หมายถึง ค่าอิมพีแดนซ์
โดย C = 75 โอห์ม(เปลือกหุ้มจะมีสีดำหรือขาว)
D = 50 โอห์ม(เปลือกหุ้ม PVC เป็นสีเทาหรือขาว ถ้าเป็น PE จะมีสีดำ)
- 2 หมายถึง วัสดุที่ทำโคอีเล็กตริก โดยเลข 2 คือ PE(โพลีเอธิลีน) อักษร F คือ โฟม (Cellular PE)
- V หมายถึง ลักษณะของชีลด์และเปลือกหุ้มสาย

รค์)



2.6.1
2.6.1
สาย
ถ้าใช้โฟมโคอี
สูญเสียเล็กน้อย
ลวดตัวนำเป็น
2.6.1

จัดมีข้อสังเกตว่า
โฟมมีค่าอัตราการ
บอร์ RG-58/U มี
นฝอย 19 เส้น

ใน.....โรเตอร์หมุนหา
ทิศทาง จึงควรใช้สายที่มีลวดตัวนำตรงกลางจำนวนหลายเส้นจะได้ไม่ขาดเร็วเกินไป อย่างเช่น เบอร์ RG-58 C/U หรือพิจารณาที่สารโคอีเล็กตริก ไม่ควรใช้แบบ โฟมเพราะ โคอีเล็กตริกจะนุ่มและมีรูพรุน ถ้ามีการบิดสายไปมามากอาจทำให้แนวลวดตัวนำไม่อยู่ตรงกลาง ทำให้ค่าอิมพีแดนซ์ของสายเปลี่ยนไปและค่าการสูญเสียในสายเพิ่มขึ้น สำหรับสายโฟมและสายเคเบิล ควรใช้กับงานที่มีการติดตั้งสายในตำแหน่งแน่นอน

2.6.7.3 การชีลด์สายนำสัญญาณ

การชีลด์สายเพราะว่าต้องการป้องกันไม่ให้คลื่นวิทยุภายนอกมารบกวนคลื่นวิทยุในสายได้และกันไม่ให้คลื่นวิทยุในสายไปรบกวนอุปกรณ์ไฟฟ้าภายนอกเช่นกัน ดังนั้นสายโคแอกเซียลที่มีการชีลด์ดีจะให้คุณภาพดีขึ้น วิธีการชีลด์ที่ใช้ มีการชีลด์แบบใช้ลวดทองแดงสานเป็นตัวนำชั้นนอก โดยพิจารณาว่า

สามารถครอบคลุมพื้นที่ได้อิเล็กตริกได้มากเท่าใด เช่นอาจครอบคลุมได้ 95% หรือในที่มีการรบกวนสูง ต้องใช้ถึง 100% ก็ได้ โดยดูจากความถี่แน่นในการสานลวดทองแดง ใช้ท่ออะลูมิเนียมหรือท่อทองแดง ใช้วิธีทำเป็นซัลด์ 2 ชั้น อย่างเช่น สายเบอร์ RG-214/U ที่ใช้วิธีซัลด์เป็นลวดทองแดงชุบเงินถักทั้ง 2 ชั้น ครอบคลุมพื้นที่ได้ 100%

2.6.7.4 ความสามารถในการรับกำลังไฟฟ้า

ระดับกำลังไฟฟ้าที่ใช้ในสายสำคัญมาก เพราะถ้ามีมากเกินไปจนขีดกำหนด อาจทำให้สายเสียหายแตกหักได้ ความสามารถในการรับกำลังไฟฟ้าขึ้นอยู่กับตัวแปร คือ อัตราทอนแรงดันของสารไดอิเล็กตริก ค่าความต้านทานของลวดตัวนำ ขีดจำกัดอุณหภูมิของสารไดอิเล็กตริกและเปลือกหุ้ม ระยะเวลาใช้งาน และอัตราลดทอนที่ความถี่นั้น ๆ

2.6.7.5 อายุการใช้งาน

ขึ้นอยู่กับ

สารที่ใช้ทำเป
ตามเนื้อสารที่

2.6.7

คุณสมบัติทาง
ถือเป็นเรื่องป
ซึมผ่านเกิดขึ้น

2.6.7

ตากฝนตลอด
เป็นท่อ โลหะ



ย คุณสมบัติของ
การลดพิจารณา

อิเล็กตริก ทำใ
านของสารPVC
ะเวลาที่เกิดการ

ยที่ต้องตากแดด
่วนสายที่มีซัลด์
แล้ว

บทที่ 3

การออกแบบ

3.1 การวิเคราะห์รูปแบบของสายอากาศที่จะนำมาออกแบบ

ในการวิเคราะห์รูปแบบของสายอากาศสะท้อนคลื่นแบบมุม สิ่งที่ต้องคำนึง คือ ค่าขนาดความยาวและความสูงของตัวสะท้อนคลื่นแบบมุม และค่ารัศมีของสายอากาศวงแหวน โดยค่าดังกล่าวจะเป็นตัวกำหนดเบบรูปของคลื่นที่ออกมาจากสายอากาศและค่าสภาพเจาะจงทิศทางของตัวสายอากาศ ซึ่งถือเป็นพารามิเตอร์ที่สำคัญในการพิจารณาเป็นอันดับแรก ซึ่งความยาวโพรบที่ใช้กับตัวสายอากาศจะเป็นตัวกำหนดค่าอิมพีแดนซ์ของตัวสายอากาศ ค่าอัตราคลื่นนิ่ง ค่าการสูญเสียเนื่องมาจากการย้อนกลับ และค่าความกว้างของควมถี่ที่ใช้งานของสายอากาศ ซึ่งในการออกแบบสายอากาศสะท้อนคลื่นแบบมุมนี้ ได้ทำการจำลองผล

โดย
แม่เหล็กฟ้ารู้

หรือ CST
กรมการคำนวณ



รูปที่ 3.1 แสดงโครงสร้างสายอากาศสะท้อนคลื่นแบบมุมเพื่อใช้สำหรับ โปรแกรม CST

L_x คือ ความยาวของแผ่นสะท้อนคลื่นแบบมุม

H_y คือ ความสูงของแผ่นสะท้อนคลื่นแบบมุม

R_x คือ ความยาวของวงแหวนวงกลม

P_l คือ ความยาวของโพรบ

S_z คือ ระยะห่างระหว่างวงแหวนวงกลมกับแผ่นสะท้อนคลื่นแบบมุม

3.1.1 การพิจารณาค่ารัศมีสายอากาศวงแหวนวงกลม

การพิจารณาให้วงแหวนเป็นส่วนหนึ่งของท่อนำคลื่นรูปทรงกระบอกกลม สนามแม่เหล็กไฟฟ้าที่แพร่กระจายคลื่นออกจากช่องเปิดของวงแหวนจะสอดคล้องกับสนามแม่เหล็กไฟฟ้า ประกอบด้วย โหมดคลื่นต่างๆ มากมายที่อยู่ภายในท่อนำคลื่นทรงกระบอก ดังนั้นรัศมีของท่อนำคลื่นจะถูกออกแบบ เพื่อให้โหมดคลื่นอื่น ๆ ถูกตัดออกไปให้เหลือเพียงโหมดคลื่นหลัก(Dominant Mode : TE_{11}) เพียงโหมดเดียว โดยโหมดคลื่นอื่น ๆ ที่อยู่ติดกับโหมดคลื่นหลักคือ TE_{21} ดังนั้นการเลือกค่ารัศมีจะต้องให้อยู่ใกล้ความถี่ตัด(Cut Off Frequency) ของท่อนำคลื่นมากที่สุดสามารถแสดงได้ดังนี้

$$\lambda_{cutoff} = \frac{c}{f_{cutoff}}$$

ใช้ค่า
ที่ 2.1 แทนลง



TE_{11} จากตาราง

และ
สามารถหาค่ารัศมีของโหมดคลื่นได้

ที่เราไม่ต้องการ

$$\begin{aligned} r_a &= \frac{\lambda_{cutoff} \mu'_{mn}}{2\pi} \\ &= \frac{(12.24 \times 10^{-2})(3.054)}{2(3.14)} \\ &= 5.95 \text{ cm} \end{aligned}$$

ดังนั้นในการเลือกค่ารัศมีของวงแหวนวงกลมที่เหมาะสมควรอยู่ระหว่าง

$$3.58 \text{ cm} < r_a < 5.95 \text{ cm}$$

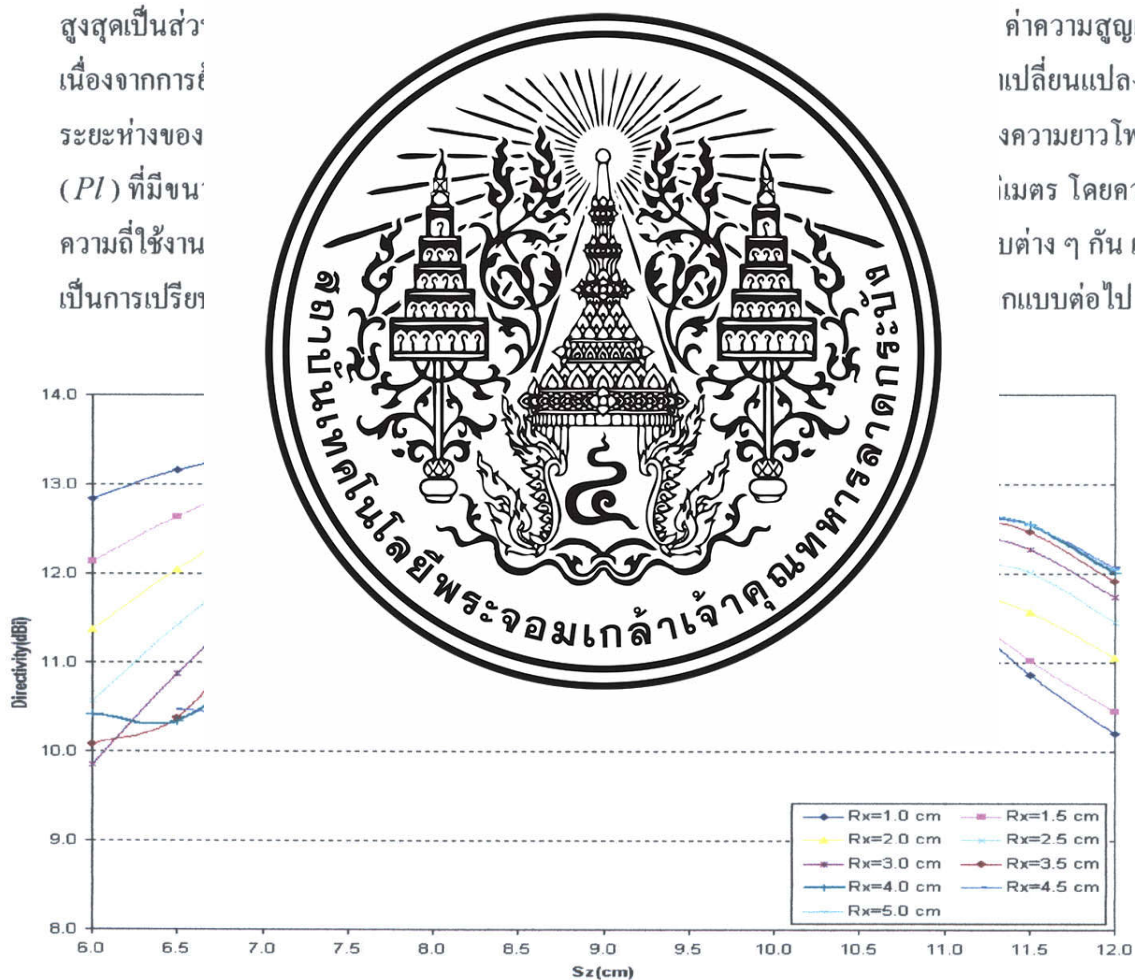
ซึ่งในการวิเคราะห์จะเลือกใช้รัศมีของวงแหวนวงกลมที่รัศมีเท่ากับ 3.71 ซม. ทั้งนี้เนื่องจากเหตุผลที่กล่าวมาข้างต้นและวัสดุที่ใช้สามารถหาซื้อได้ง่าย นอกจากนี้ขนาดความยาวของวงแหวนจะต้องเลือกให้เหมาะสมด้วย เพื่อนำไปพิจารณาหาค่าสภาพเจาะจงทิศทางสูงสุดของสายอากาศสะท้อนคลื่นแบบมุมต่อไป

3.1.2 การพิจารณาค่าพารามิเตอร์ต่าง ๆ ของสายอากาศสะท้อนคลื่นแบบมุม

เนื่อง

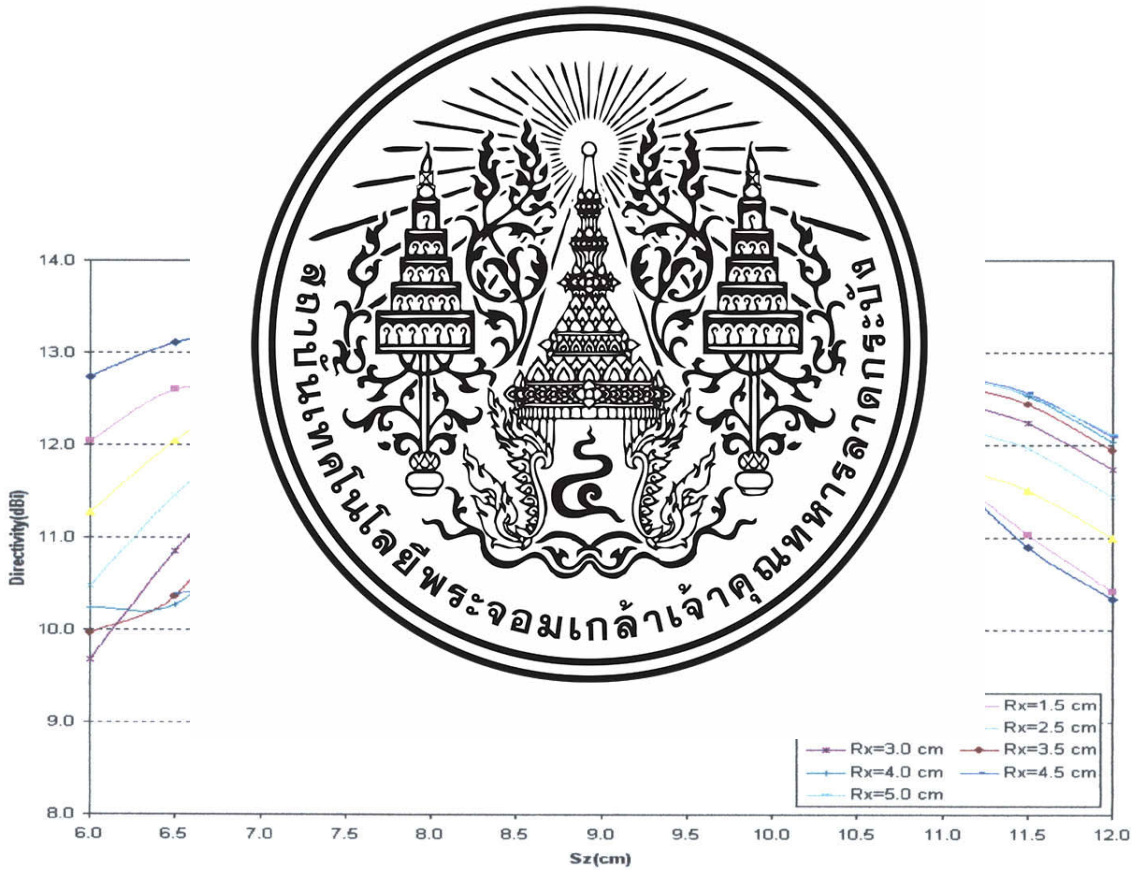
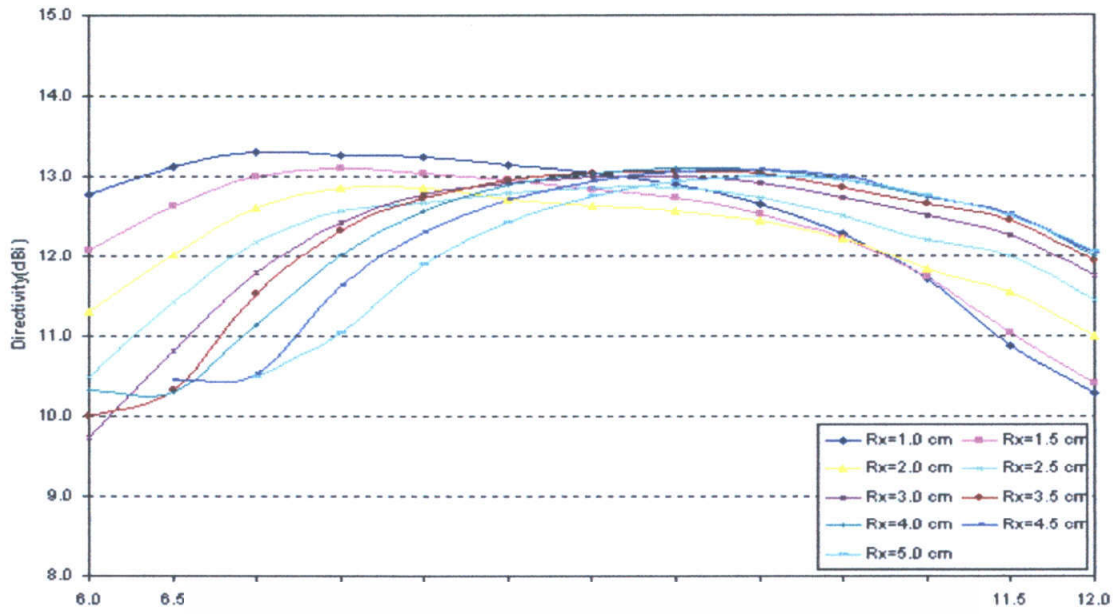
สูงสุดเป็นส่ว
เนื่องจากการ
ระยะห่างของ
(PI) ที่มีขน
ความถี่ใช้งาน
เป็นการเปรียบ

พเจาะจงทิศทาง
ค่าความสูญเสีย
เปลี่ยนแปลงค่า
งความยาวโพรบ
เมตร โดยความ
บต่าง ๆ กัน เพื่อ
กแบบต่อไป



(ก) ค่าสภาพเจาะจงทิศทาง โดยใช้ความยาวโพรบเท่ากับ 2.70 เซนติเมตร

สำหรับความถี่ใช้งาน 2.45 GHz



(ค) ค่าสภาพเจาะจงทิศทาง ของความยาวโพรบเท่ากับ 3.10 เซนติเมตร

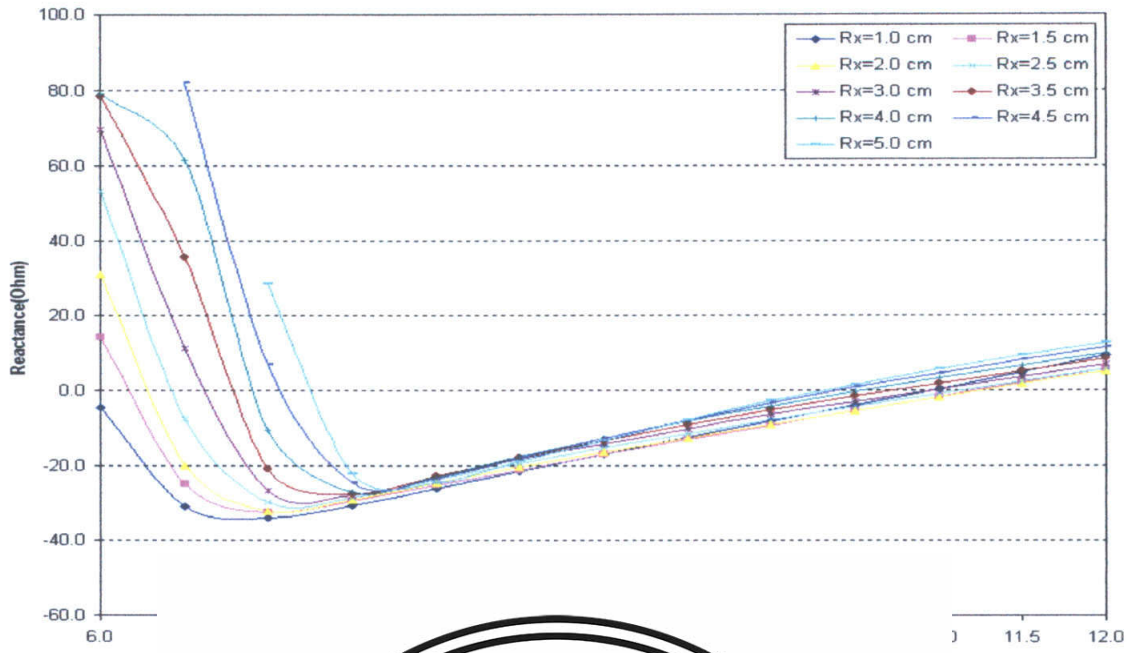
สำหรับความถี่ใช้งาน 2.45 GHz

รูปที่ 3.2 แสดงความสัมพันธ์ค่าสภาพเจาะจงทิศทาง สำหรับความยาวต่าง ๆ ของวงแหวนวงกลมโดยใช้ความยาวโพรบที่ขนาดต่างกัน ที่มีการเปลี่ยนแปลงค่าระยะห่างจากตัวสะท้อนคลื่น

จากรูปที่ 3.2 จะเห็นได้ว่าค่าสภาพเจาะจงทิศทางในแต่ละความยาวโพรบที่ความยาวของวงแหวนวงกลมนั้น จะสังเกตเห็นได้ว่า ค่าความยาวของวงแหวนวงกลมที่มีค่าน้อย จะมีค่าสภาพเจาะจงทิศทางที่มาก และค่าความยาวของวงแหวนวงกลมที่มีความยาวเพิ่มมากขึ้นจะมีค่าสภาพเจาะจงทิศทางเริ่มต้นน้อย ณ บริเวณที่วงแหวนวงกลมใกล้กับแผ่นสะท้อนคลื่น และค่าสภาพเจาะจงทิศทางจะเพิ่มมากขึ้น เมื่อระยะห่างวงแหวนวงกลมกับแผ่นสะท้อนคลื่นมีค่าเพิ่มมากขึ้น และสำหรับค่าความยาวของโพรบต่างๆ จะเห็นได้ว่าค่าสภาพเจาะจงทิศทางจะมีค่าเพิ่มมากขึ้นและจะลดลงเมื่อระยะห่างเพิ่มมากขึ้น ระยะห่างมากเกิน 10.00 เซนติเมตร และสำหรับพารามิเตอร์ ที่ควรนำมาพิจารณาต่อก็คือค่าอินพีแดนซ์ด้านเข้าของสายอากาศ ซึ่งค่าอินพีแดนซ์ด้านเข้านี้จะนำไปสู่การออกแบบสายอากาศที่อยู่ในภาวะสมดุลกับเครื่องรับส่งสัญญาณ เพื่อให้การถ่ายโอนกำลังงานมีประสิทธิภาพสูงสุด ดังนั้นจึงได้ทำการพิจารณาค่าอินพีแดนซ์ด้านเข้าประกอบด้วยการออกแบบ แสดงดังรูปที่ 3.3

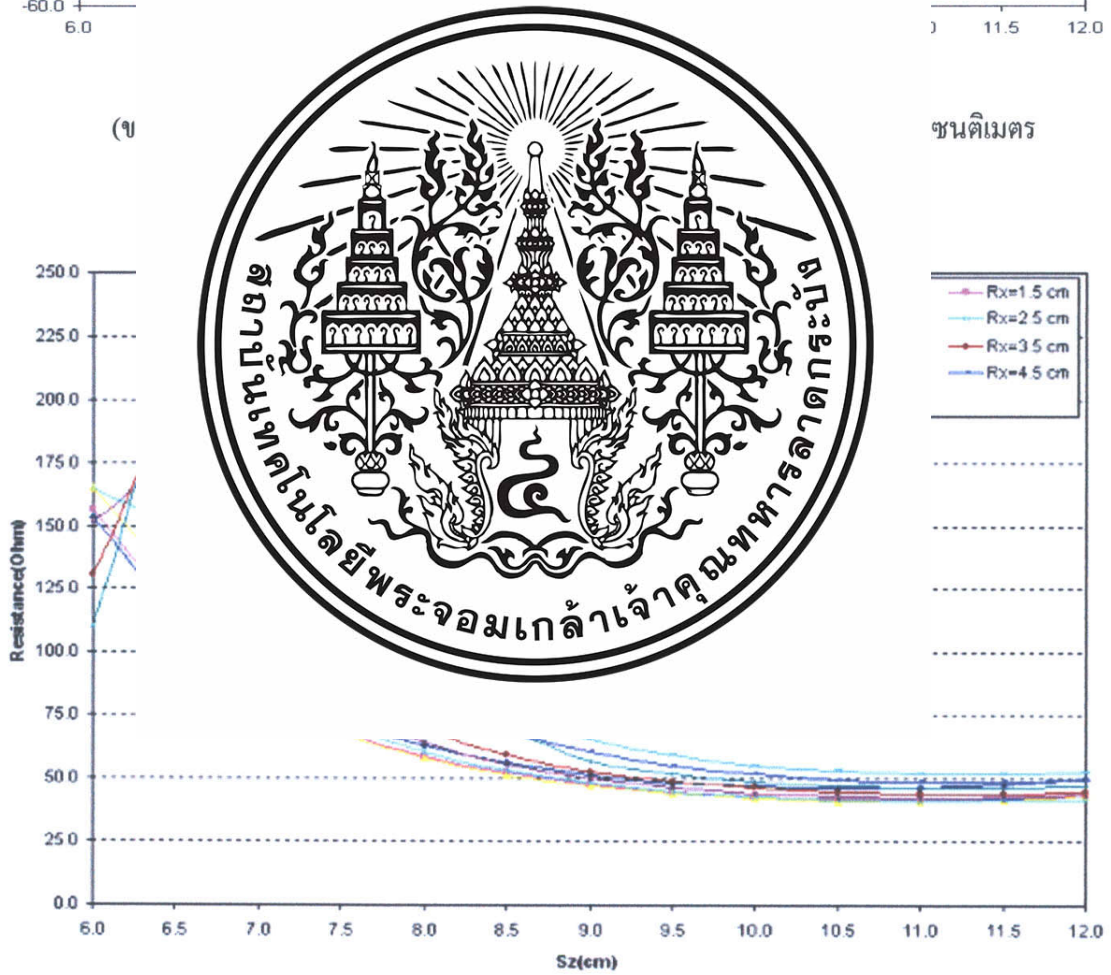


(ก) ค่าอินพีแดนซ์ด้านเข้า(ค่าความต้านทาน) โดยใช้ความยาวโพรบเท่ากับ 2.70 เซนติเมตร
สำหรับความถี่ใช้งาน 2.45 GHz

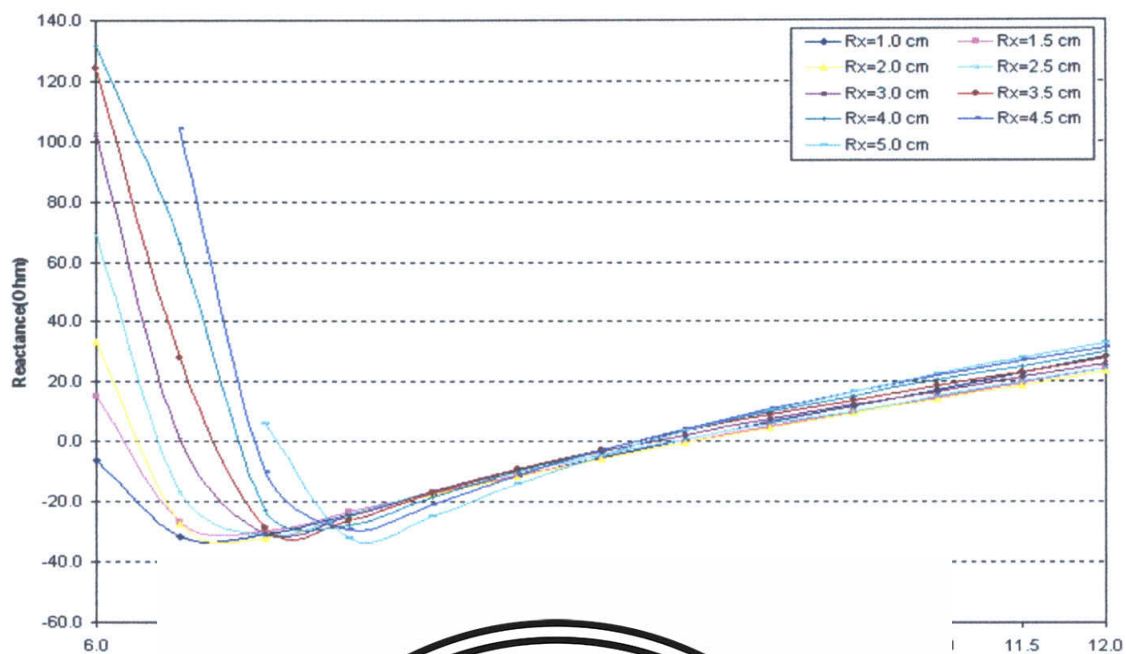


(ข)

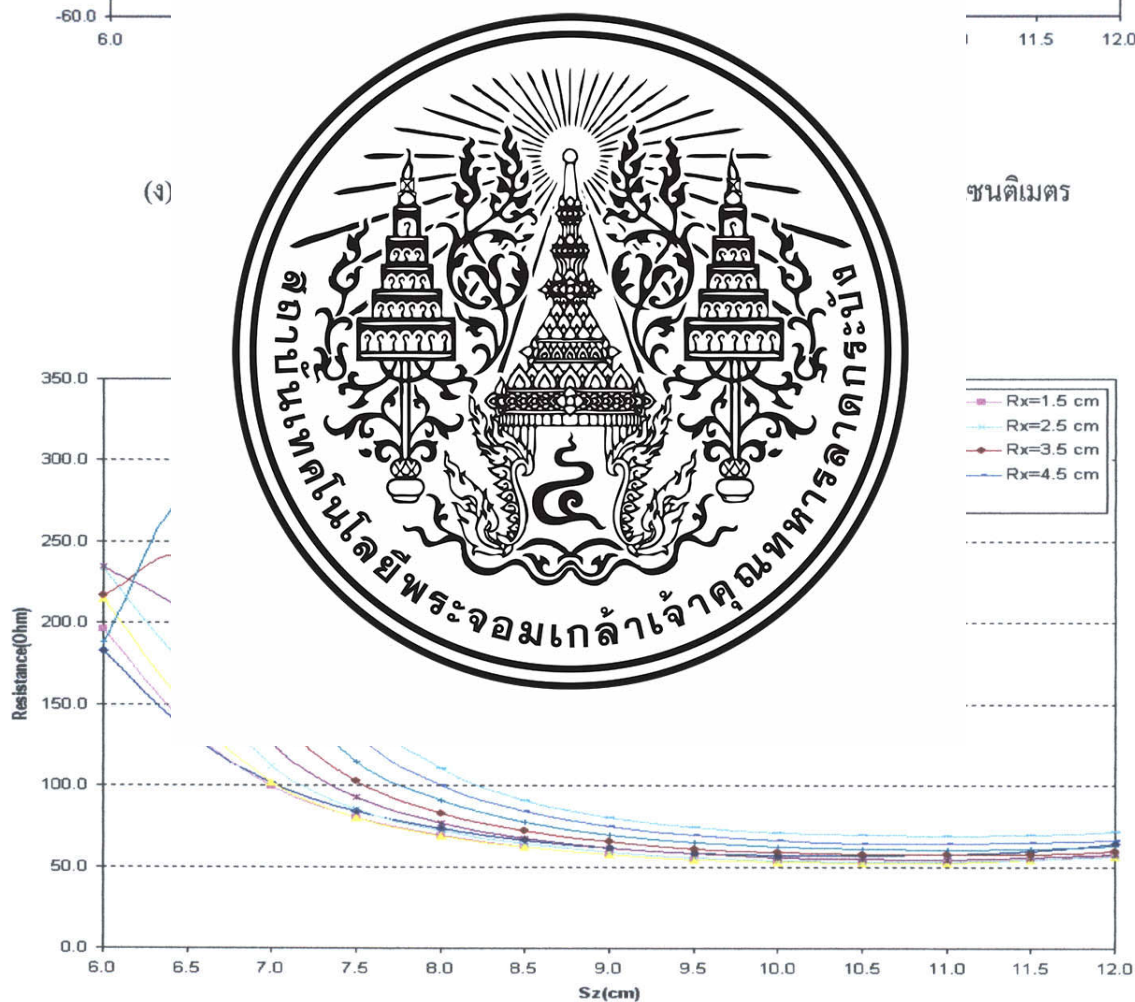
เซนติเมตร



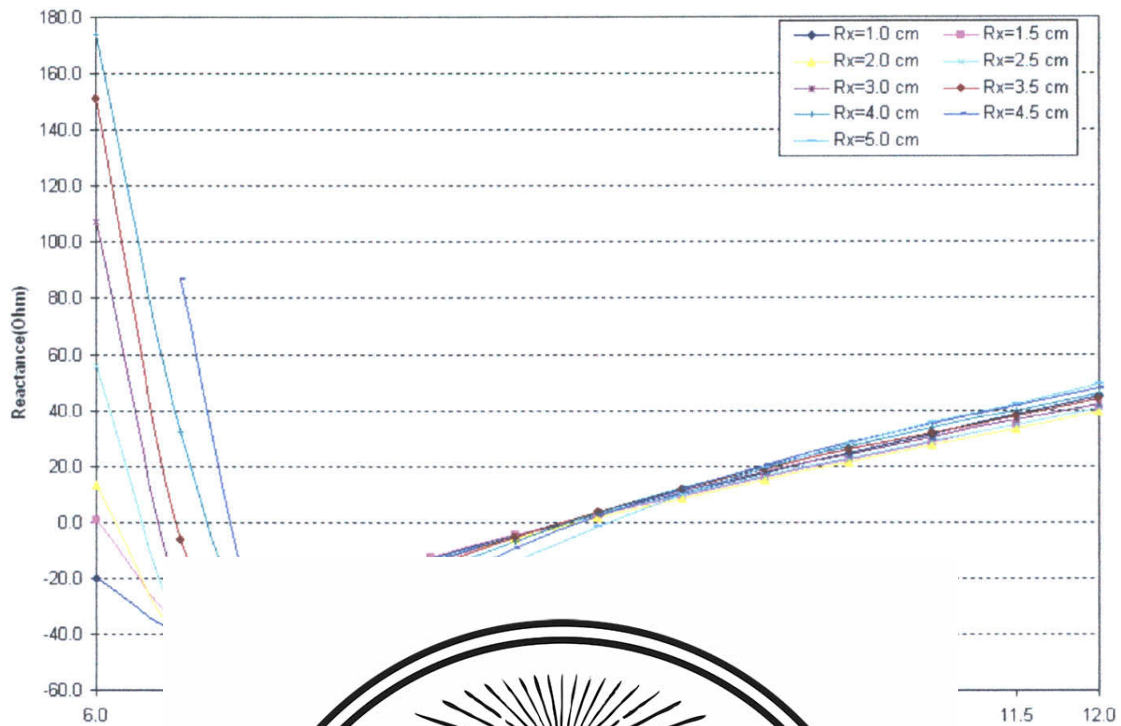
(ค) ค่าอิมพีแดนซ์ด้านเข้า(ค่าความต้านทาน) โดยใช้ความยาวโพรบเท่ากับ 2.90 เซนติเมตร
สำหรับความถี่ใช้งาน 2.45 GHz



(ง)



(จ) ค่าอิมพีแดนซ์ด้านเข้า(ค่าความต้านทาน) โดยใช้ความยาวโพรบเท่ากับ 3.10 เซนติเมตร
สำหรับความถี่ใช้งาน 2.45 GHz



(ฉ)

รูปที่ 3.3 แสดง

ค

เมื่อ

ความยาวของ
สะท้อนคลื่น
เพิ่มมากขึ้น และ
เกิดเรโซแนนซ์

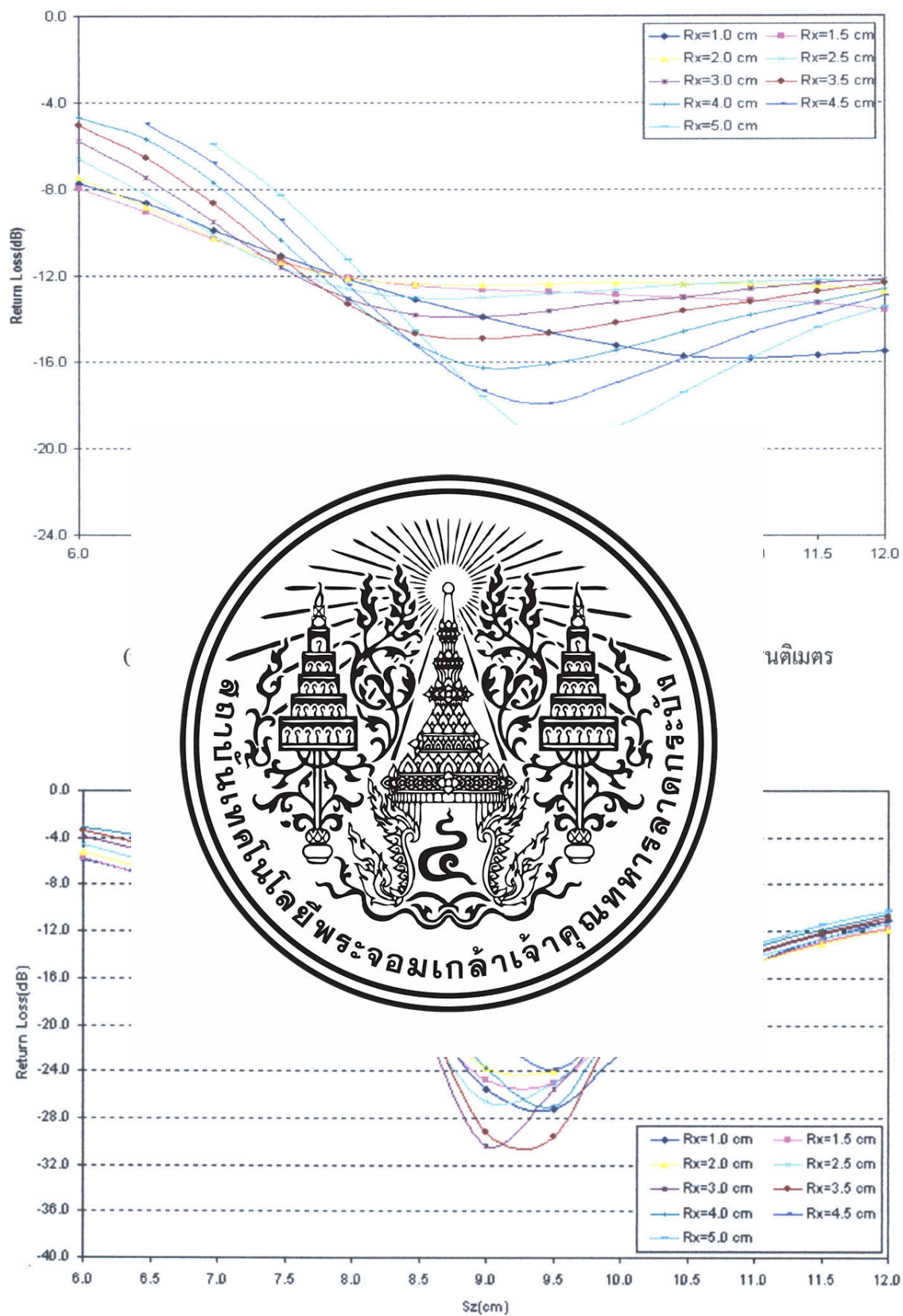


เซนติเมตร

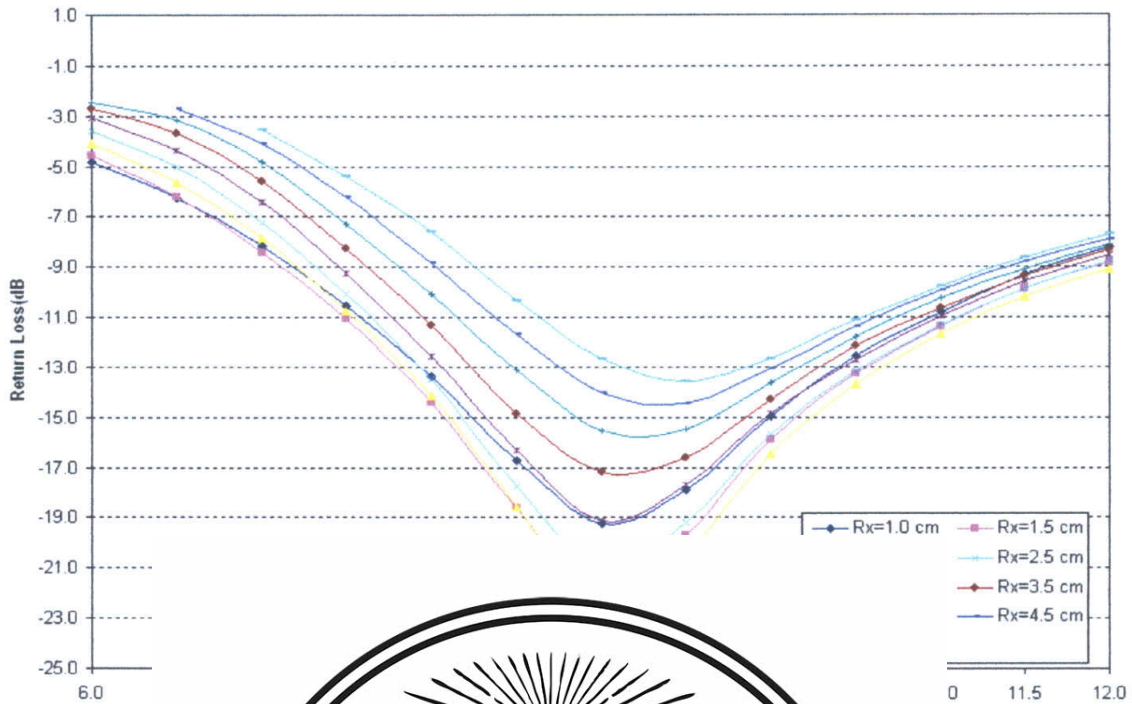
วงกลม โดยใช้
คลื่น

บต่าง ๆ ที่ขนาด
หนึ่งใกล้กับแผ่น
ลงเมื่อระยะห่าง
สำหรับความถี่ที่
แผ่นสะท้อนคลื่น

ของความยาวโพรบที่มีความยาวเท่ากับ 2.70, 2.90 และ 3.10 เซนติเมตร โดยจะเกิดขึ้นที่โดยประมาณที่
ระยะ 10.50, 9.30 และ 9.00 เซนติเมตร ตามลำดับ เมื่อนำค่าความต้านทานของสายอากาศมารวม
พิจารณาด้วย จะทำให้ทราบได้ว่า สำหรับความยาวโพรบที่มีความยาวเท่ากับ 2.70, 2.90 และ 3.10
เซนติเมตร จะมีค่าความต้านทานประมาณ 30, 50 และ 55 โอห์ม ตามลำดับของการเกิดความถี่เรโซแนนซ์
จากนั้นทำการพิจารณาค่าสูญเสียเนื่องจากการย้อนกลับ ดังจะแสดงดังรูปที่ 3.4



(ข) ค่าความสูญเสียเนื่องจากการย้อนกลับ ของความยาว โพรบเท่ากับ 2.90 เซนติเมตร
สำหรับความถี่ใช้งาน 2.45 GHz

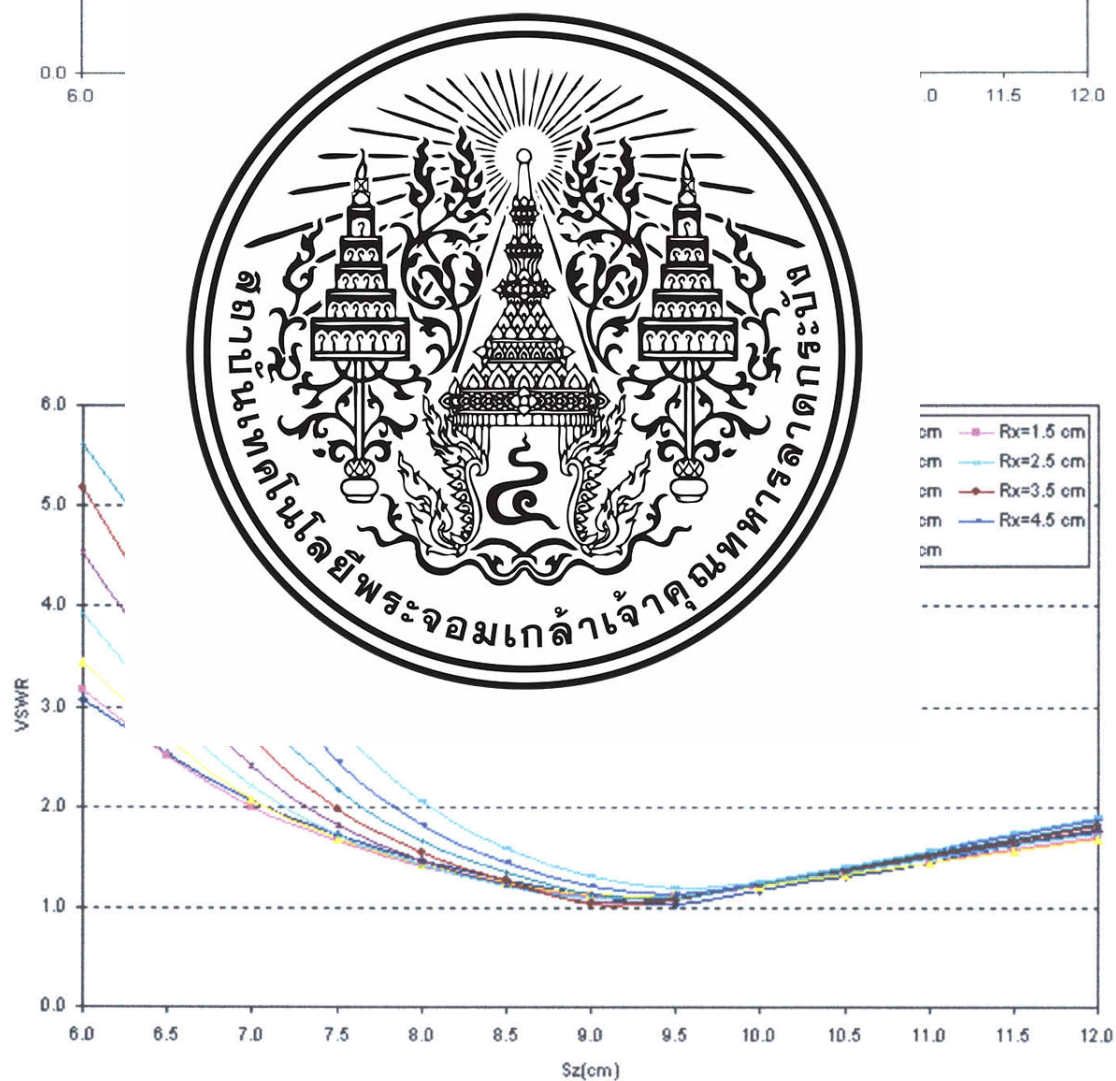
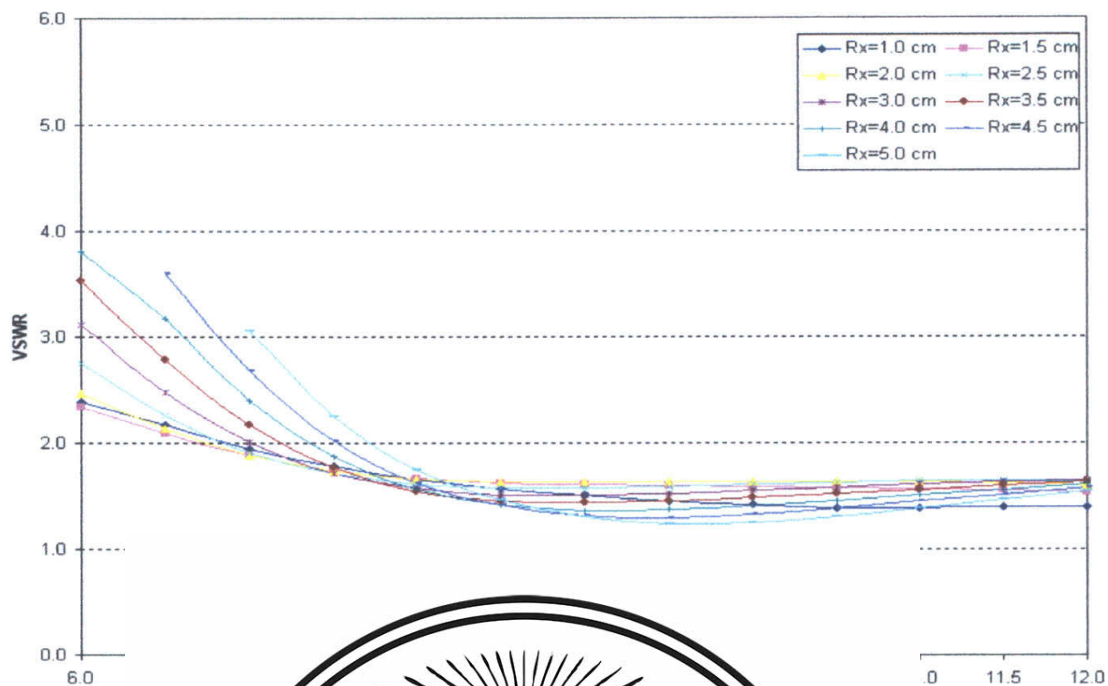


รูปที่ 3.4 แสดง
 แหวนวงกลม
 เมื่อ
 เท่ากับ 2.70 จะ
 เลือกค่าความ
 การย้อนกลับ
 ความยาวของ

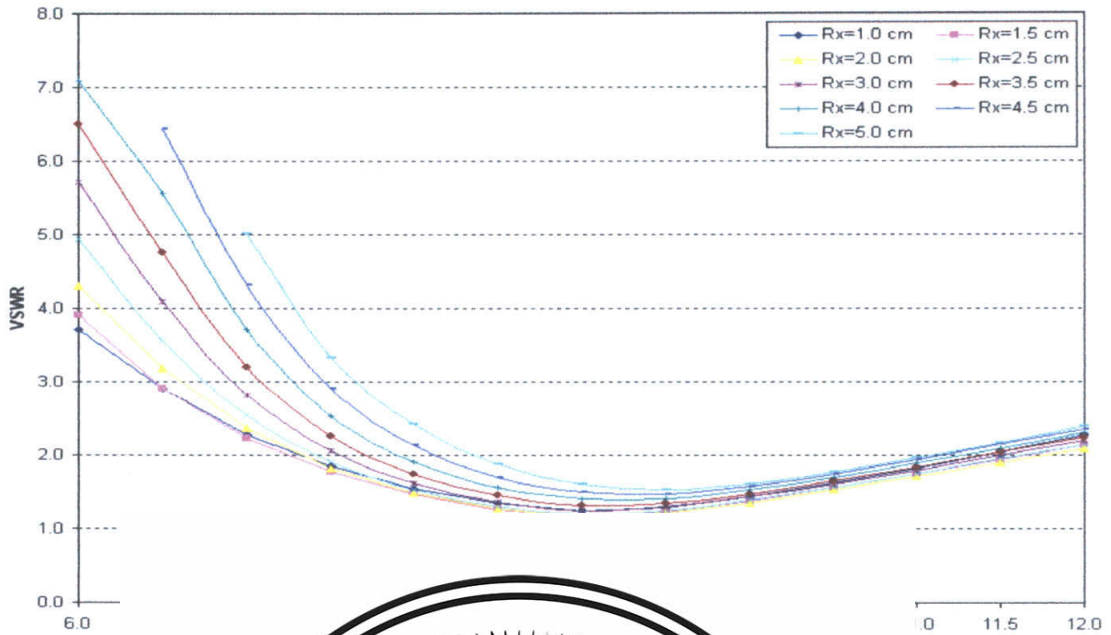
เซนติเมตร
 ว่าง ๆ ของวง
 ตัวสะท้อนคลื่น

ที่มีค่าความยาว
 เซนติเมตร โดย
 สูญเสียเนื่องจาก
 ย้อนกลับ สำหรับ
 วงกลมกับแผ่น

สะท้อนเท่ากับ 9.30 เซนติเมตร โดยเลือกค่าความยาวของวงแหวนวงกลมที่มีความยาวเท่ากับ 3.50 เซนติเมตร จะมีค่าความสูญเสียเนื่องจากการย้อนกลับ เท่ากับ -30 dB และพิจารณาค่าความสูญเสียเนื่องจากการย้อนกลับสำหรับความยาวของโพรบที่มีความยาวเท่ากับ 3.10 เซนติเมตร ของระยะความห่างวงแหวนวงกลมกับแผ่นสะท้อนเท่ากับ 9.00 เซนติเมตร โดยเลือกค่าความยาวของวงแหวนวงกลมที่มีความยาวเท่ากับ 2.00 เซนติเมตร จะมีค่าความสูญเสียเนื่องจากการย้อนกลับ เท่ากับ -22.91 dB ซึ่งต่อจากนั้นทำการพิจารณาค่าอัตราส่วนคลื่นนิ่ง ดังจะแสดงโดยรูปที่ 3.5



(ข) ค่าอัตราส่วนคลื่นนิ่ง ของความยาวโพรบเท่ากับ 2.90 เซนติเมตร
สำหรับความถี่ใช้งาน 2.45 GHz



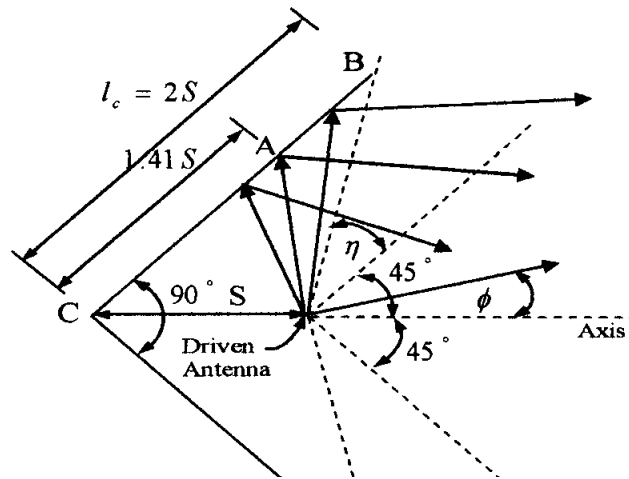
รูปที่ 3.5 แสดง
ค่า
จาก;
ป้อนสัญญาณ
กับแผ่นสะท้อน
แหวนวงกลม 3.0
ระยะระหว่าง
ความยาวของ

วงกลมโดยใช้
คลื่น
0.00 เซนติเมตรที่
วงแหวนวงกลม
ความยาวของวง
เซนติเมตร ของ
ส่วนคลื่นนิ่งของ
ตรง ที่ระยะ 9.00

เซนติเมตร ของระยะระหว่างวงแหวนวงกลมกับแผ่นสะท้อนคลื่น จะมีค่าเท่ากับ 1:1.15

ซึ่งจากการพิจารณาค่าพารามิเตอร์ข้างต้นของสายอากาศ จะทำให้สามารถเลือกค่าที่เหมาะสมที่สุดในการออกแบบสายอากาศสะท้อนคลื่นมุมได้ดังนี้ โดยค่ารัศมีที่ใช้สำหรับวงแหวนวงกลม ค่าความยาวโพรบ ค่าความยาวของวงแหวนวงกลม และค่าระยะห่างระหว่างวงแหวนวงกลมกับแผ่นสะท้อนคลื่น คือ 3.71, 2.90, 3.50, และ 9.30 เซนติเมตร ตามลำดับ

3.1.3 การพิจารณาค่าขนาดของตัวสะท้อนคลื่นแบบมุม



รูป



ระยะห่างระหว่าง

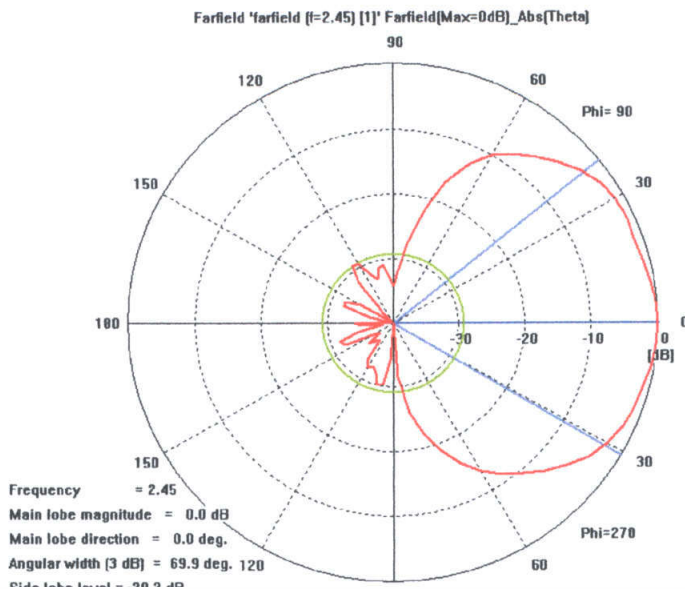
จากจุด
สร้างไม่สามารถ
มีขนาดจำกัด
การออกแบบ
ไปตกกระทบ
คลื่นแบบมุม
ความยาวจาก
อาจทำการเพิ่ม
0.6S จากจุด
ส่วน
ของตัวป้อนสัญญาณ

นั้นตั้ง ซึ่งในการ
ของตัวสะท้อนที่
ลงไปมากโดยใน
ภาคตัวสายอากาศ
เรณาคตัวสะท้อน
หรือจุด A จะมี
แบบมุม ซึ่งเรา
ที่เพิ่มประมาณ
ในทางปฏิบัติ
ความสูงทั้งหมด

3.2 คุณสมบัติการแพร่กระจายคลื่นของสายอากาศสะท้อนคลื่นแบบมุม

3.2.1 แบบรูปการแพร่กระจายคลื่นของสายอากาศสะท้อนคลื่นแบบมุม

ซึ่งแบบรูปในการแพร่กระจายคลื่นของสายอากาศสะท้อนคลื่นแบบมุมนั้น จะมีค่าที่ควรนำมาพิจารณาร่วมด้วยคือ ค่าความกว้างของลำคลื่นที่กำลังลดลงครึ่งหนึ่ง ค่าความกว้างของลำคลื่นที่กำลังงานเป็นศูนย์ครั้งแรก ค่าอัตราส่วนลำคลื่นหลักต่อลำคลื่นย่อยด้านข้าง และค่าอัตราส่วนลำคลื่นหลักต่อลำคลื่นด้านหลัง โดยจะพิจารณาทั้งระนาบสนามไฟฟ้าและระนาบสนามแม่เหล็ก ซึ่งแสดงดังรูปที่ 3.7 เป็นการแสดงแบบรูปการแพร่กระจายคลื่นในระนาบสนามไฟฟ้า



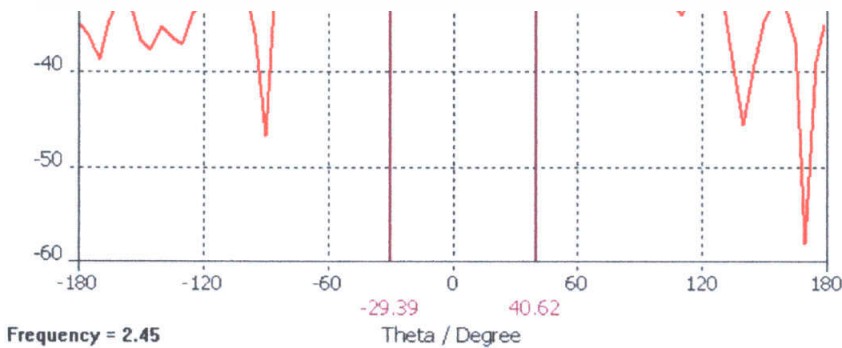
สาม
ที่ทำงานเป็น
หลักต่อลำคลื่น



กว้างของลำคลื่น
อัตราส่วนลำคลื่น

-3
-2

d=26.35



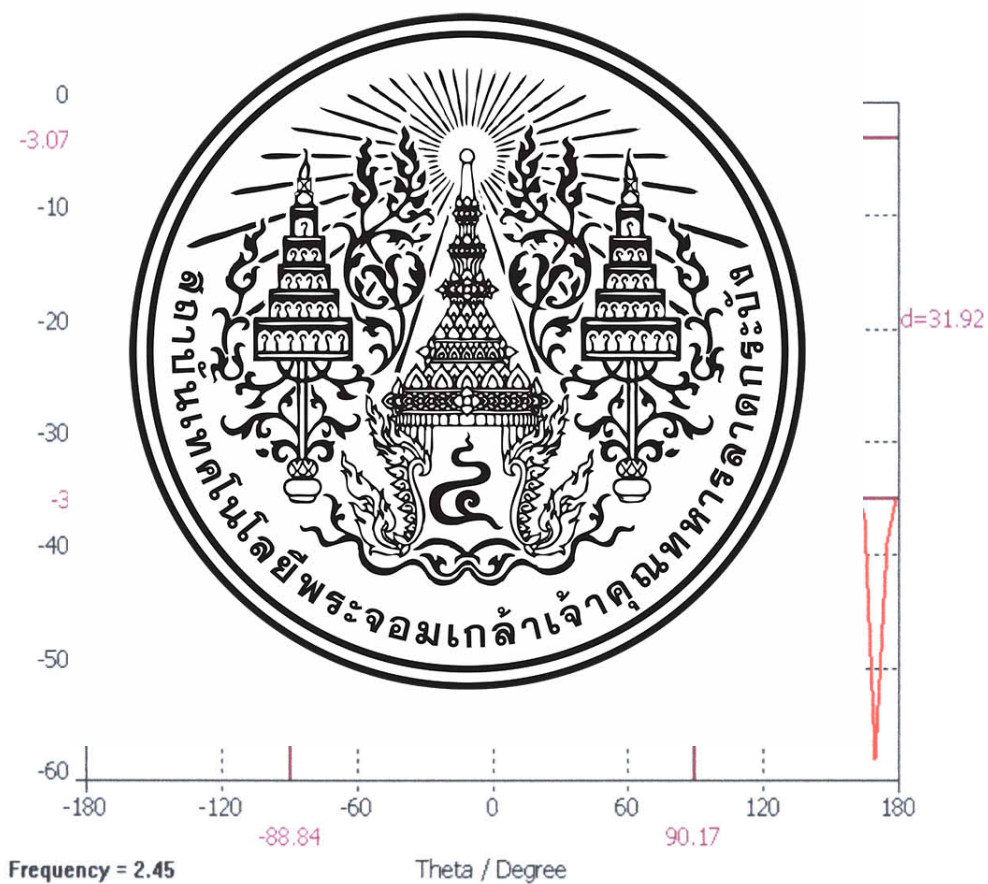
รูปที่ 3.8 แสดงค่าความกว้างของลำคลื่นที่กำลังลดลงครึ่งหนึ่งและ
ค่าอัตราส่วนลำคลื่นหลักต่อลำคลื่นย่อยด้านข้างในระนาบสนามไฟฟ้า

จากรูปที่ 3.8 สามารถหาค่าต่าง ๆ ได้ ดังนี้

ค่าความกว้างของลำคลื่นที่กำลังลดลงครั้งแรก โดยค่าที่ได้ คือ 70.02 องศา
 ค่าอัตราส่วนลำคลื่นหลักต่อลำคลื่นย่อยด้านข้าง(SLR)

คำนวณได้จากสูตร

$$\begin{aligned} \text{SLR} &= \text{Main lobe level (dB)} - \text{Side lobe level(dB)} \\ &= 0 \text{ dB} - (-29.42 \text{ dB}) \\ &= 29.42 \text{ dB} \end{aligned}$$



รูปที่ 3.9 แสดงค่าความกว้างของลำคลื่นที่กำลังงานเป็นศูนย์ครั้งแรกและ
 ค่าอัตราส่วนลำคลื่นหลักต่อลำคลื่นด้านหลังในระนาบสนามไฟฟ้า

จากรูปที่ 3.9 สามารถหาค่าต่าง ๆ ได้ ดังนี้

ค่าความกว้างของลำคลื่นที่กำลังงานเป็นศูนย์ครั้งแรก โดยค่าที่ได้ คือ 179 องศา
ค่าอัตราส่วนลำคลื่นหลักต่อลำคลื่นด้านหลัง(BLR)

คำนวณได้จากสูตร

$$\begin{aligned} \text{BLR} &= \text{Main lobe level (dB)} - \text{Back lobe level (dB)} \\ &= 0 \text{ dB} - (-35 \text{ dB}) \\ &= 35 \text{ dB} \end{aligned}$$

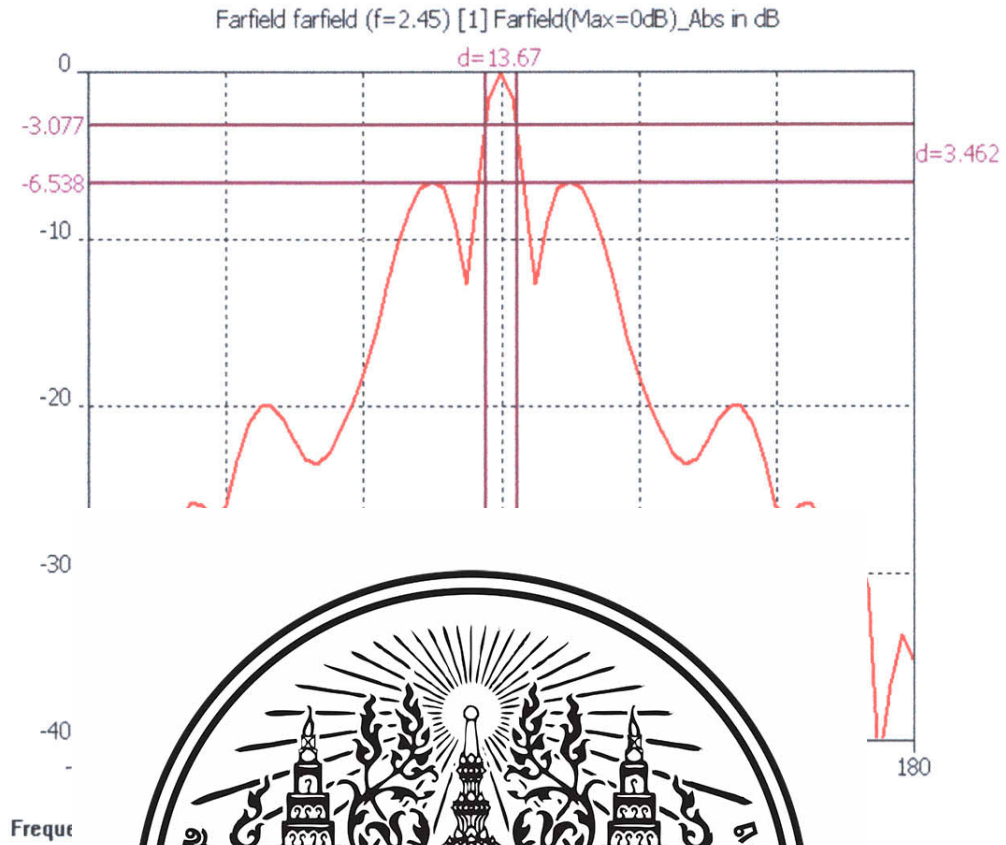


Freq
Main
Main
Angle
Side

90

รูปที่ 3.10 แบบรูปการแพร่กระจายคลื่นในระนาบสนามแม่เหล็ก

สามารถทำการวิเคราะห์ค่าความกว้างของลำคลื่นที่กำลังลดลงครึ่งหนึ่ง ค่าความกว้างของลำคลื่นที่กำลังงานเป็นศูนย์ครั้งแรก ค่าอัตราส่วนลำคลื่นหลักต่อลำคลื่นย่อยด้านข้าง และค่าอัตราส่วนลำคลื่นหลักต่อลำคลื่นด้านหลังของแบบรูปการแพร่กระจายคลื่นในระนาบสนามแม่เหล็ก ดังนี้



จากรูปที่ 3.11

ค่าค

ค่าอ

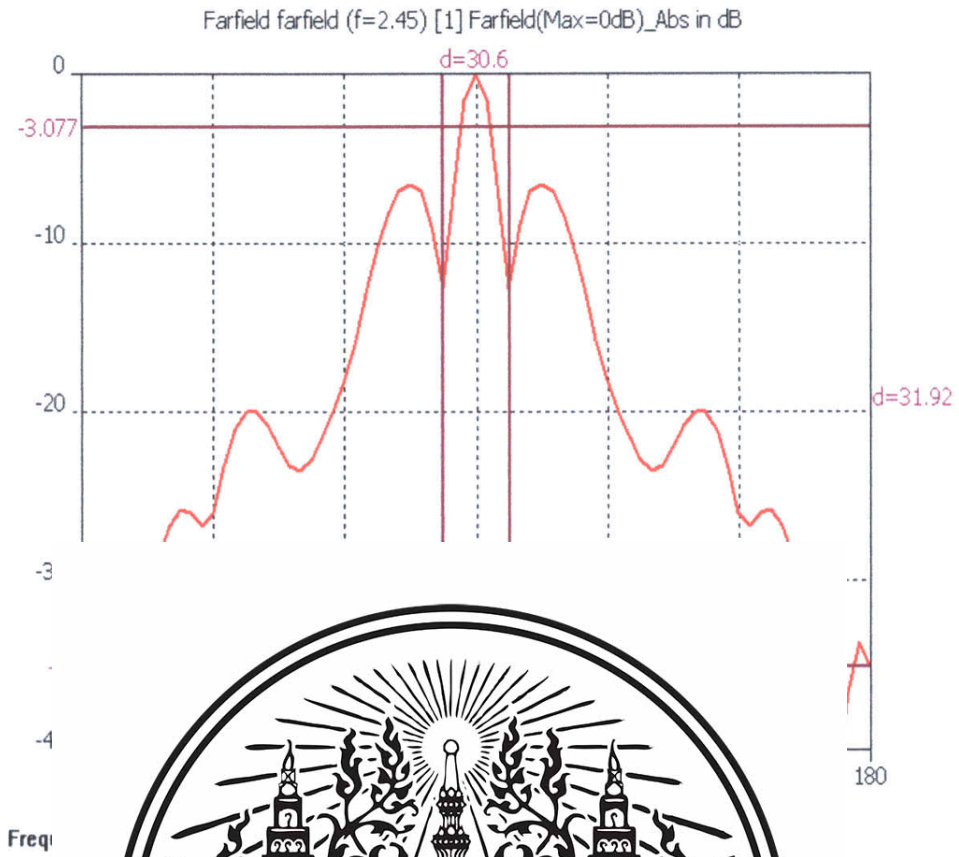
คำนวณได้จากสูตร

$$SLR = \text{Main lobe level (dB)} - \text{Side lobe level(dB)}$$

$$= 0 \text{ dB} - (-6.538 \text{ dB})$$

$$= 6.538 \text{ dB}$$

ศ๑



จากรูปที่ 3.12

ค่าด

ค่าอ

คำนวณได้จากสูตร

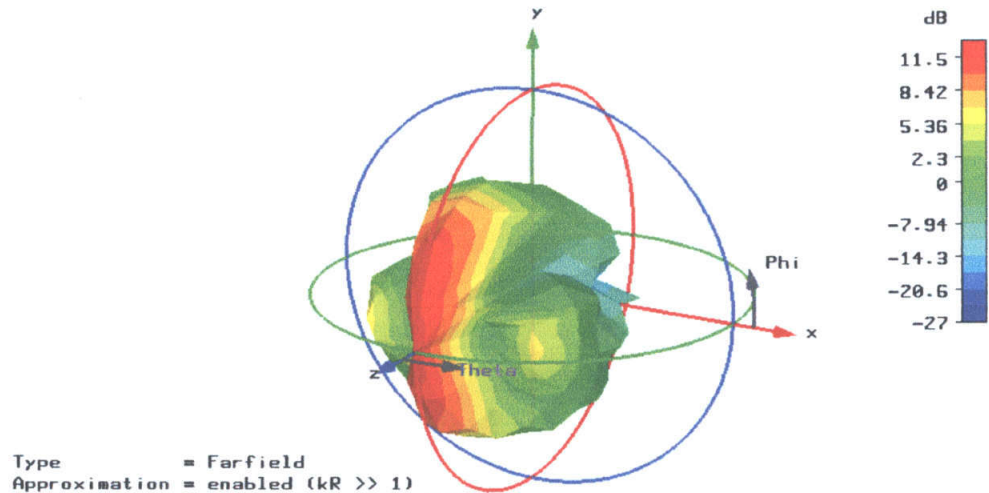
$$BLR = \text{Main lobe level (dB)} - \text{Back lobe level (dB)}$$

$$= 0 \text{ dB} - (-35 \text{ dB})$$

$$= 35 \text{ dB}$$

เสา

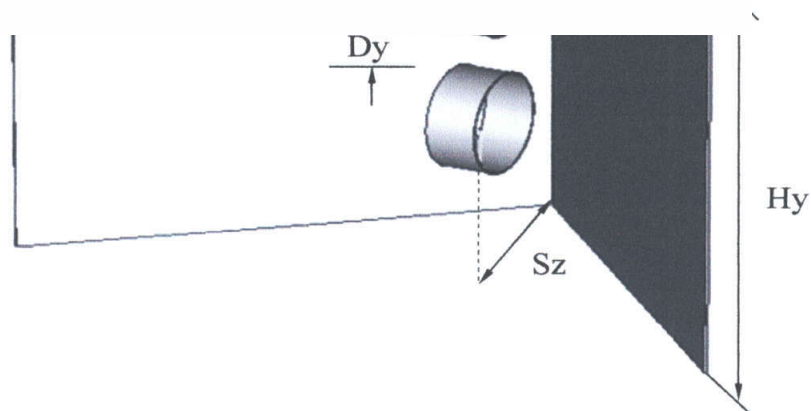
สำหรับค่าอัตราขยายของสายอากาศสะท้อนคลื่นแบบมุมชนิดนี้ มีค่าเท่ากับ 13.01dB



เนื่อง
 ครงหนึ่งแรก
 การเพิ่มจำนวน



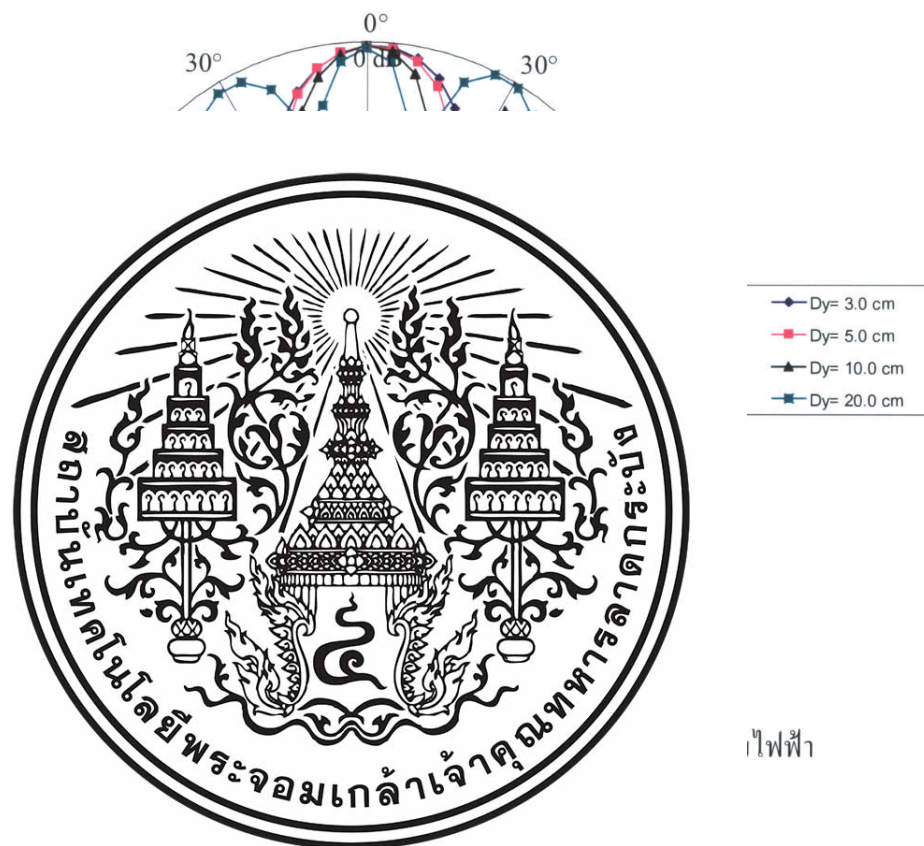
ล้นที่กำลังลดลง
 นามไฟฟ้า โดย



รูปที่ 3.14 แสดงสายอากาศสะท้อนคลื่นแบบมุม โดยวงแหวนวงกลม 2 วง
 เพื่อใช้สำหรับโปรแกรม CST

3.2.2 แบบรูปการแพร่กระจายคลื่นของสายอากาศสะท้อนคลื่นแบบมุมโดยใช้วงแหวน 2 วง

ซึ่งแบบรูปในการแพร่กระจายคลื่นของสายอากาศสะท้อนคลื่นแบบมุมนั้น จะมีค่าที่ควรนำมาพิจารณาร่วมด้วยคือ ค่าความกว้างของลำคลื่นที่กำลังลดลงครึ่งหนึ่ง ค่าความกว้างของลำคลื่นที่กำลังงานเป็นศูนย์ครั้งแรก ค่าอัตราส่วนลำคลื่นหลักต่อลำคลื่นย่อยด้านข้าง และค่าอัตราส่วนลำคลื่นหลักต่อลำคลื่นด้านหลัง โดยจะพิจารณาทั้งระนาบสนามไฟฟ้าและระนาบสนามแม่เหล็ก ซึ่งแสดงดังรูปที่ 3.15 เป็นการแสดงการเปรียบเทียบแบบรูปการแพร่กระจายคลื่นในระนาบสนามไฟฟ้าเมื่อมีการเปลี่ยนแปลงระยะห่างระหว่างวงแหวนวงกลมทั้ง 2 วง

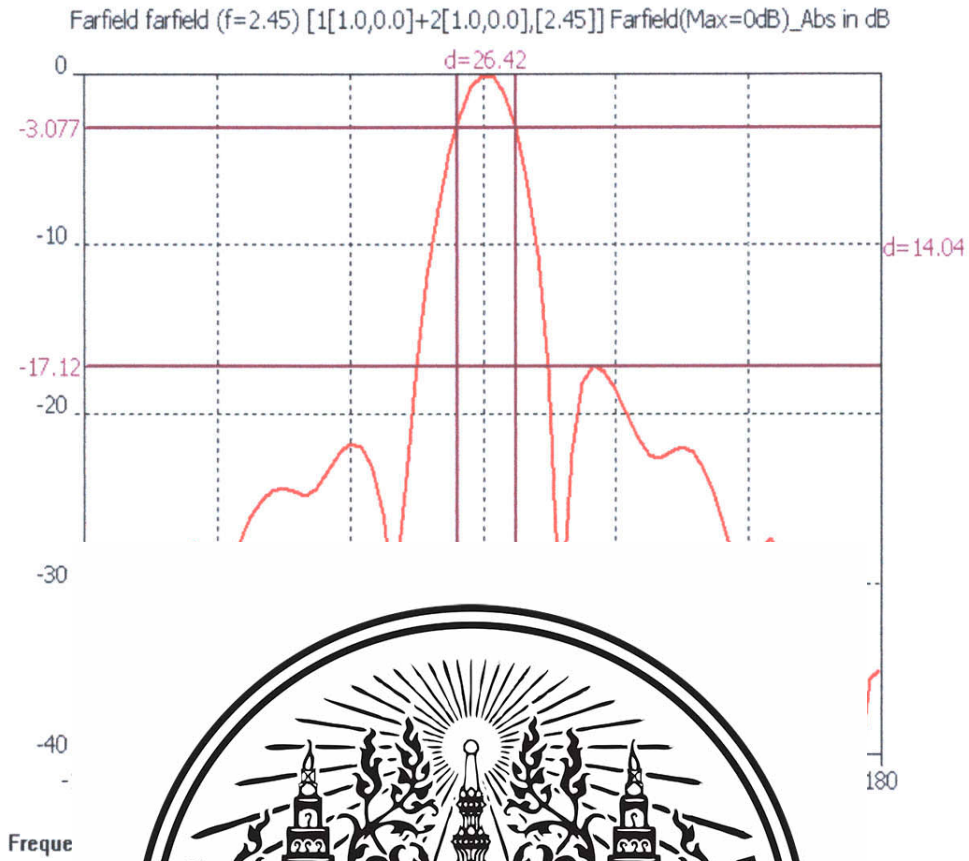


รูป

ไฟฟ้า

โดยจะเห็นว่า เมื่อขมก ระยะระหว่างวงแหวนเพิ่มขึ้น แบบรูปการแพร่กระจายคลื่นในระนาบสนามไฟฟ้า จะทำให้ค่าลำคลื่นย่อยด้านข้างและลำคลื่นด้านหลังของสายอากาศมีค่าเพิ่มขึ้นตามระยะห่างของวงแหวนทั้งสองวงที่มีระยะห่างมากขึ้น

ดังนั้นจึงทำการวิเคราะห์ค่าความกว้างของลำคลื่นที่กำลังลดลงครึ่งหนึ่ง ค่าความกว้างของลำคลื่นที่กำลังงานเป็นศูนย์ครั้งแรก ค่าอัตราส่วนลำคลื่นหลักต่อลำคลื่นย่อยด้านข้าง และค่าอัตราส่วนลำคลื่นหลักต่อลำคลื่นด้านหลังของสายอากาศสะท้อนคลื่นแบบมุมที่ได้ทำการปรับปรุงแบบรูปการกระจายคลื่น โดยใช้ระยะห่างระหว่างวงแหวนทั้ง 2 วง ซึ่งมีค่าเท่ากับ 3.00 เซนติเมตร ดังนี้



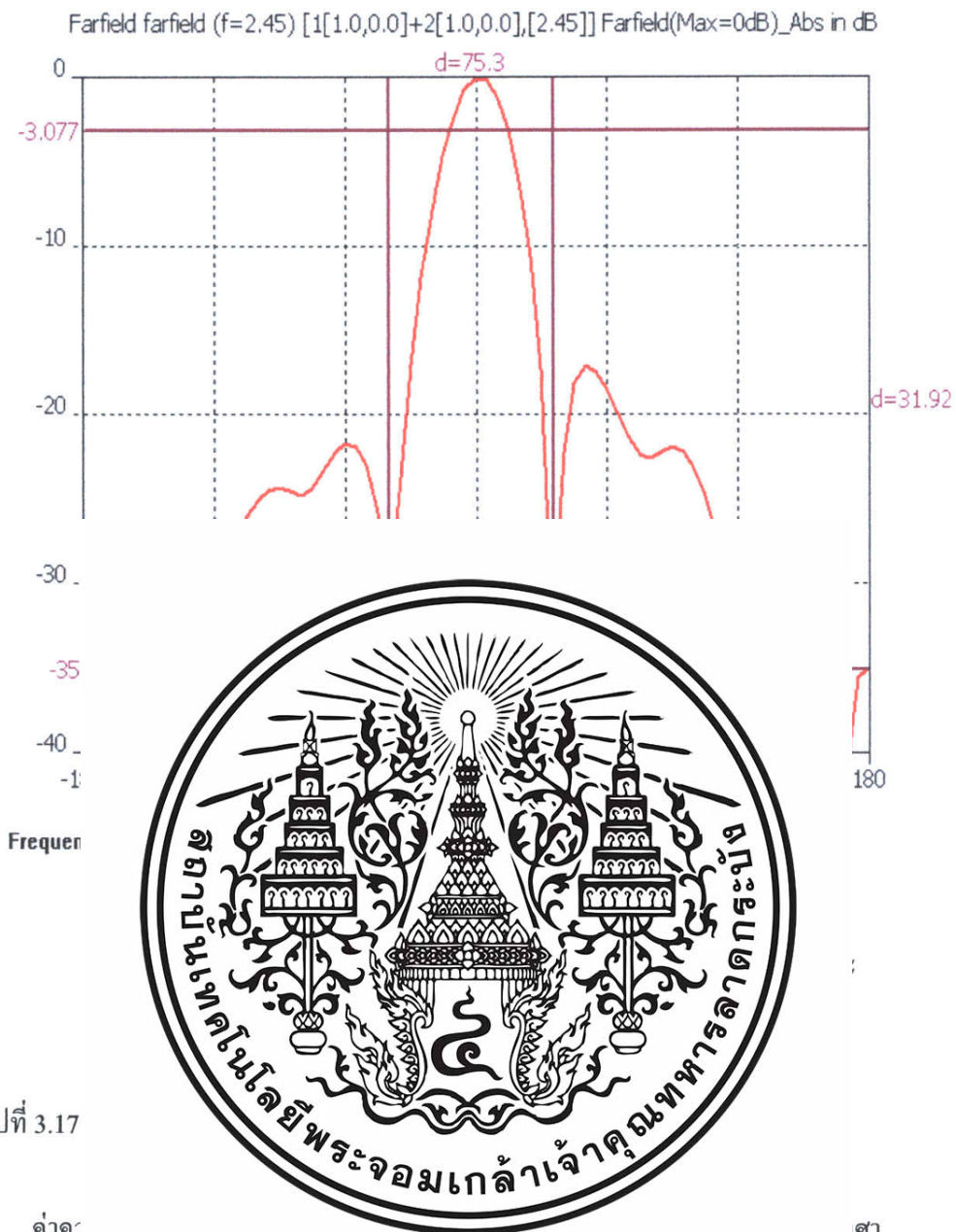
จากรูปที่ 3.16

ค่าค
ค่าอ้

คำนวณ

ค่า

$$\begin{aligned}
 \text{SLR} &= \text{Main lobe level (dB)} - \text{Side lobe level(dB)} \\
 &= 0 \text{ dB} - (-17.12 \text{ dB}) \\
 &= 17.12 \text{ dB}
 \end{aligned}$$



จากรูปที่ 3.17

ค่าค:

ศา

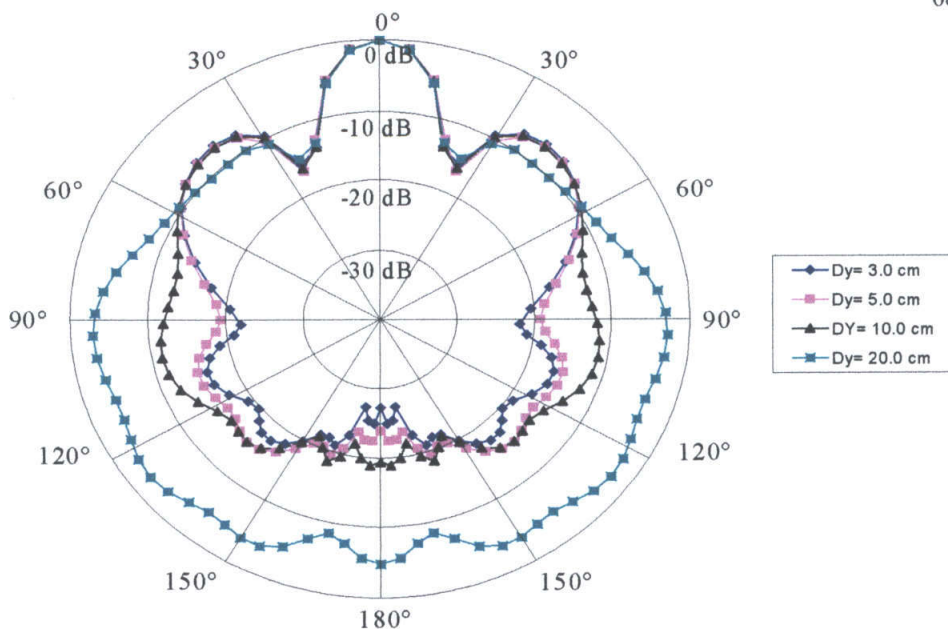
ค่าอ็

คำนวณได้จากสูตร

$$BLR = \text{Main lobe level (dB)} - \text{Back lobe level (dB)}$$

$$= 0 \text{ dB} - (-35 \text{ dB})$$

$$= 35 \text{ dB}$$

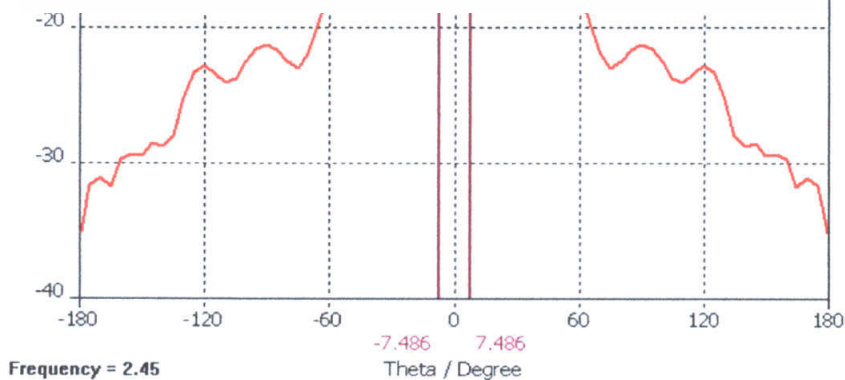


รูปที่

แม่เหล็ก

จาก
และจะมีการเร
สนามไฟฟ้า
ระยะห่างของ

วามสมมาตรกัน
กระจายคลื่นของค่า
ารเปลี่ยนแปลง



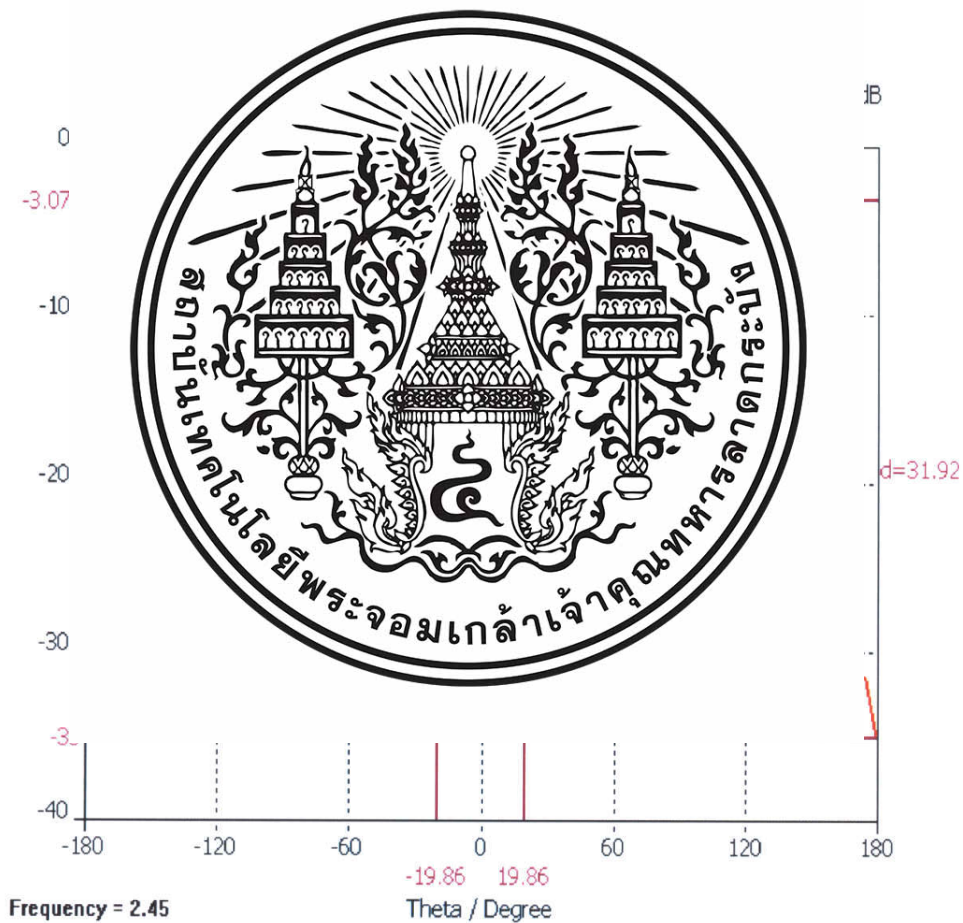
รูปที่ 3.19 แสดงค่าความกว้างของลำคลื่นที่กำลังลดลงครึ่งหนึ่งและ
ค่าอัตราส่วนลำคลื่นหลักต่อลำคลื่นย่อยด้านข้างในระนาบสนามแม่เหล็ก

จากรูปที่ 3.19 สามารถหาค่าต่าง ๆ ได้ ดังนี้

ค่าความกว้างของลำคลื่นที่กำลังลดลงครั้งแรก โดยค่าที่วัดได้ คือ 13.67 องศา
 ค่าอัตราส่วนลำคลื่นหลักต่อลำคลื่นย่อยด้านข้าง(SLR)

คำนวณได้จากสูตร

$$\begin{aligned} \text{SLR} &= \text{Main lobe level (dB)} - \text{Side lobe level(dB)} \\ &= 0 \text{ dB} - (-14.97 \text{ dB}) \\ &= 14.97 \text{ dB} \end{aligned}$$



รูปที่ 3.20 แสดงค่าความกว้างของลำคลื่นที่กำลังงานเป็นศูนย์ครั้งแรกและ
 ค่าอัตราส่วนลำคลื่นหลักต่อลำคลื่นด้านหลังในระนาบสนามแม่เหล็ก

จากรูปที่ 3.20 สามารถหาค่าต่าง ๆ ได้ ดังนี้

ค่าความกว้างของลำคลื่นที่กำลังงานเป็นศูนย์ครั้งแรก โดยค่าที่วัดได้ คือ 39.71 องศา
ค่าอัตราส่วนลำคลื่นหลักต่อลำคลื่นด้านหลัง(BLR)

คำนวณได้จากสูตร

$$\begin{aligned} \text{BLR} &= \text{Main lobe level (dB)} - \text{Back lobe level (dB)} \\ &= 0 \text{ dB} - (-35 \text{ dB}) \\ &= 35 \text{ dB} \end{aligned}$$

สำหรับค่าอัตรา



รูปที่ 3.21 แสดงอัตราขยายของสายอากาศสะท้อนคลื่นแบบมุมโดยใช้วงแหวนวงกลม 2 วง

3.3 สรุป

ในบทนี้ได้ทำการออกแบบสายอากาศสะท้อนคลื่นแบบมุมโดยใช้โปรแกรมการคำนวณแม่เหล็กไฟฟ้ารุ่นที่ 5 เพื่อการศึกษาค่าพารามิเตอร์ที่มีผลต่อการเปลี่ยนแปลงคุณลักษณะของสายอากาศ อีกทั้งทำการวิเคราะห์คุณลักษณะของสายอากาศเพื่อหาพารามิเตอร์ที่เหมาะสม โดยค่าพารามิเตอร์ของสายอากาศที่ได้ทำการออกแบบไว้ คือ ค่ารัศมีของวงแหวนวงกลมที่เลือกใช้สำหรับทำเป็นตัวสายอากาศ จะพิจารณาจากโหมดคลื่นหลัก $TE_{1,1}$ เป็นสำคัญ ซึ่งค่ารัศมี (r_0) ของวงแหวนวงกลมที่นำมาออกแบบมีค่าเท่ากับ 3.71 เซนติเมตร สำหรับค่าความยาวโพรบ (Pl) ที่ใช้ในการป้อนสัญญาณให้กับวงแหวนวงกลม จะพิจารณาค่าความยาว เท่ากับ 2.90 เซนติเมตร ซึ่งค่าความยาวโพรบนี้จะเหมาะสมกับค่าความยาวของวงแหวนวงกลม (Rx) ที่ความยาว เท่ากับ 3.50 เซนติเมตร และระยะห่างระหว่างวงแหวนวงกลมกับแผ่นสะท้อนคลื่น (Sz) ที่เหมาะสมที่

โดยใช้แผ่นส
สะท้อนคลื่น

สำหรับ
คลื่นเนื่องด้วย
ครึ่งหนึ่งมีค่า
แบบรูปของล
แบบรูปการแ
คลื่นแล้วจะมี
จากเดิมมีค่าเท่า



9.30 เซนติเมตร
(H_y) ของแผ่น

การแพร่กระจาย
คลื่นที่กำลังลดลง
เป็นการปรับปรุง
อนการปรับปรุง
การแพร่กระจาย
ศจะมีค่าเพิ่มขึ้น

บทที่ 4

การสร้าง ทดสอบ และผลการทดสอบ

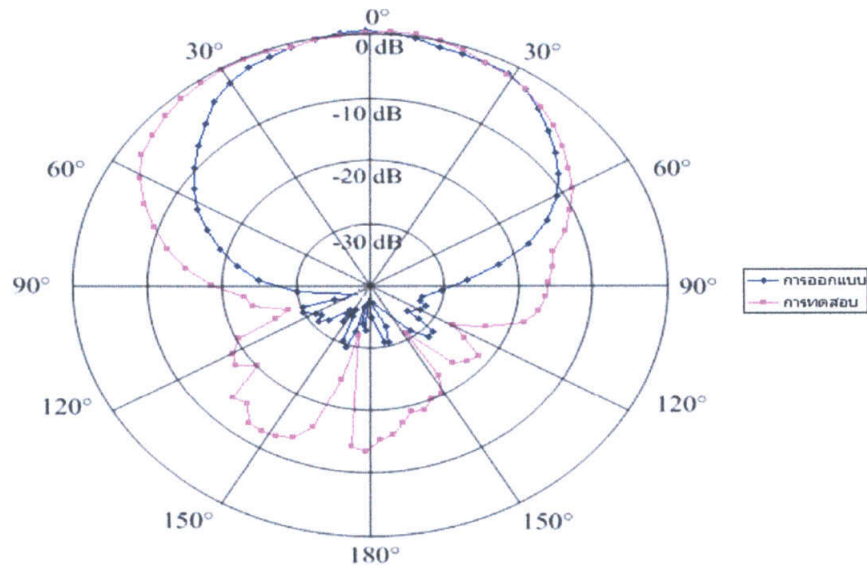
4.1 การสร้างและการทดสอบสายอากาศสะท้อนคลื่นแบบมุม

จากการจำลองผลด้วยโปรแกรมการคำนวณแม่เหล็กไฟฟ้ารุ่นที่ 5 (Microwave Studio Version 5) หรือ CST ได้ทำการเลือกค่าพารามิเตอร์ดังนี้ คือ ค่ารัศมีของสายอากาศเท่ากับ 3.71 เซนติเมตร และความยาวของสายอากาศเท่ากับ 3.50 เซนติเมตร โดยสายอากาศวงแหวนวงกลมทำมาจากวัสดุทองเหลือง และใช้เส้นลวดตัวนำทองแดงความยาวเท่ากับ 2.90 เซนติเมตร เป็นตัวป้อนสัญญาณให้กับสายอากาศวงแหวนวงกลม และสำหรับแผ่นสะท้อนคลื่นทำจากแผ่นปริ้นส์ 2 แผ่นนำมาประกอบกันทำมุมกัน 90 องศา ซึ่งมีขนาดความยาวและความสูงของแผ่นสะท้อนคลื่น เท่ากับ 32.00 และ 30.00 เซนติเมตร ตามลำดับ



4.1.1 แบบรูปการแพร่กระจายคลื่น

แบบรูปการแพร่กระจายคลื่นของสายอากาศ คือ รูปภาพที่ใช้เพื่อเป็นตัวบ่งบอกลักษณะการแพร่กระจายคลื่นของสายอากาศที่เป็นฟังก์ชันของทิศทาง ซึ่งทำการทดสอบที่สนามระยะไกล หรือระยะห่างระหว่างแหล่งกำเนิด(สายอากาศส่ง)และสายอากาศรับต้องห่างกันมากกว่า $2D^2/\lambda$ โดยที่ D คือขนาดความยาวที่สุดของสายอากาศ ซึ่งที่สนามระยะไกลนี้การเปลี่ยนแปลงของสนามจะไม่เปลี่ยนแปลงตามระยะทาง ซึ่งการแพร่กระจายคลื่นของสายอากาศจะแสดงระนาบแม่เหล็กและระนาบไฟฟ้า ดังรูปที่ 4.2 และ 4.3 ตามลำดับ



การออกแบบ
การทดสอบ

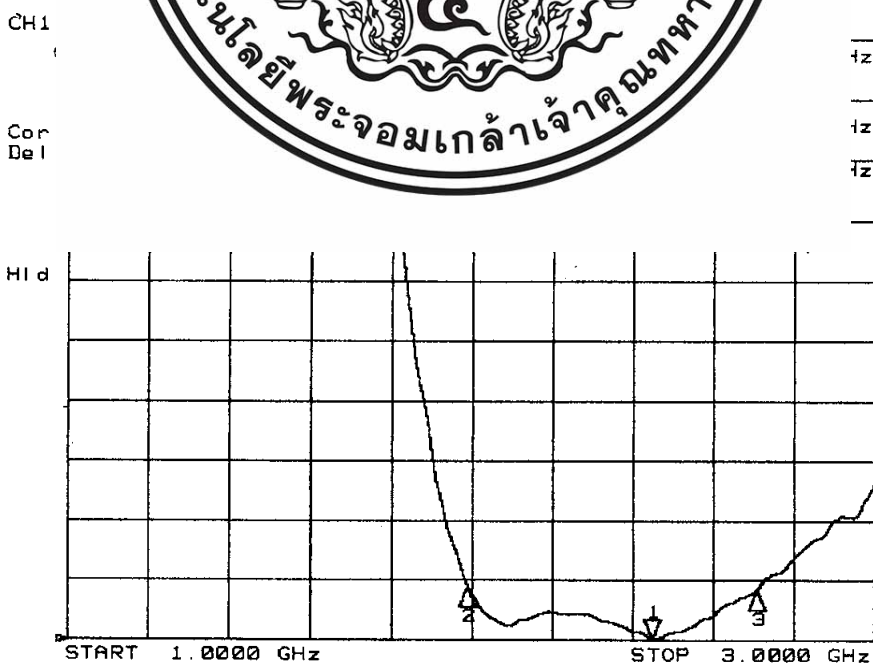
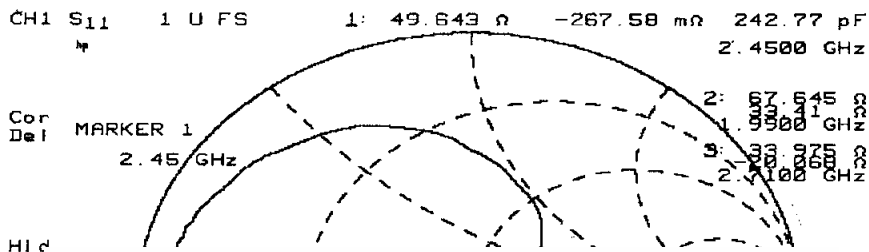
4.1.2 คุณสมบัติเชิงอิมพีแดนซ์ของสายอากาศสะท้อนคลื่นแบบมุม

คุณสมบัติเชิงอิมพีแดนซ์ที่ได้ทำการทดสอบ คือ ค่าอิมพีแดนซ์ของสายอากาศ โดยทั่วไปค่าอิมพีแดนซ์ของสายอากาศจะใช้ระบบ 50 โอห์ม แต่ในทางปฏิบัติไม่สามารถทำได้ดังนั้นจึงต้องออกแบบให้มีค่าใกล้เคียง และเมื่อพิจารณาค่าที่ใกล้เคียงนั้นในรูปของอัตราส่วนคลื่นนิ่งของสายอากาศ (SWR) ไม่ควรเกิน 1:2 ซึ่งเป็นค่าที่ยอมรับได้ รูปที่ 4.4 แสดงค่าอิมพีแดนซ์ด้านข้างของสายอากาศที่ได้จากการทดสอบ ซึ่งมีค่าเท่ากับ $49.643 - j267.58m\Omega$ และในรูปที่ 4.5 แสดงค่าอัตราส่วนคลื่นนิ่ง พบว่าความถี่ที่ออกแบบจะมีค่าอัตราส่วนคลื่นนิ่งเท่ากับ 1:1.009 และสายอากาศมีความกว้างแถบความถี่เท่ากับ 29.39 % โดยพิจารณาช่วงกว้างแถบความถี่ของสายอากาศสามารถหาได้จาก

$$\Delta f(\%) = \frac{f_H - f_L}{f_c} \times 100$$

$$= \frac{2.71\text{GHz} - 1.99\text{GHz}}{2.45\text{GHz}} \times 100$$

$$= 29.39\%$$



รูปที่ 4.5 ค่าอัตราส่วนคลื่นนิ่งจากการทดสอบของสายอากาศสะท้อนคลื่นแบบมุม

4.2 การสร้างและการทดสอบสายอากาศสะท้อนคลื่นแบบมุมโดยใช้วงแหวนวงกลม 2 วง

สำหรับการสร้างสายอากาศสะท้อนคลื่นแบบมุมโดยใช้วงแหวนวงกลม 2 วงนี้ จะใช้พารามิเตอร์ เช่นเดียวกับสายอากาศสะท้อนคลื่นแบบมุมโดยใช้วงแหวนวงกลม 1 วง ซึ่งค่ารัศมีและความยาวของสายอากาศวงแหวนวงกลม มีค่าเท่ากับ 3.71 และ 3.50 เซนติเมตร โดยความยาวของโพรบ ค่าเท่ากับ 2.90 เซนติเมตร และสำหรับขนาดความยาวและความสูงของแผ่นสะท้อนคลื่น มีค่าเท่ากับ 32.00 และ 30.00 เซนติเมตร ตามลำดับ ซึ่งแสดงดังรูปที่ 4.6



รูป
ซึ่ง
นั้นเพื่อจุดปร
โดยการวางแ
ระยะห่างระห

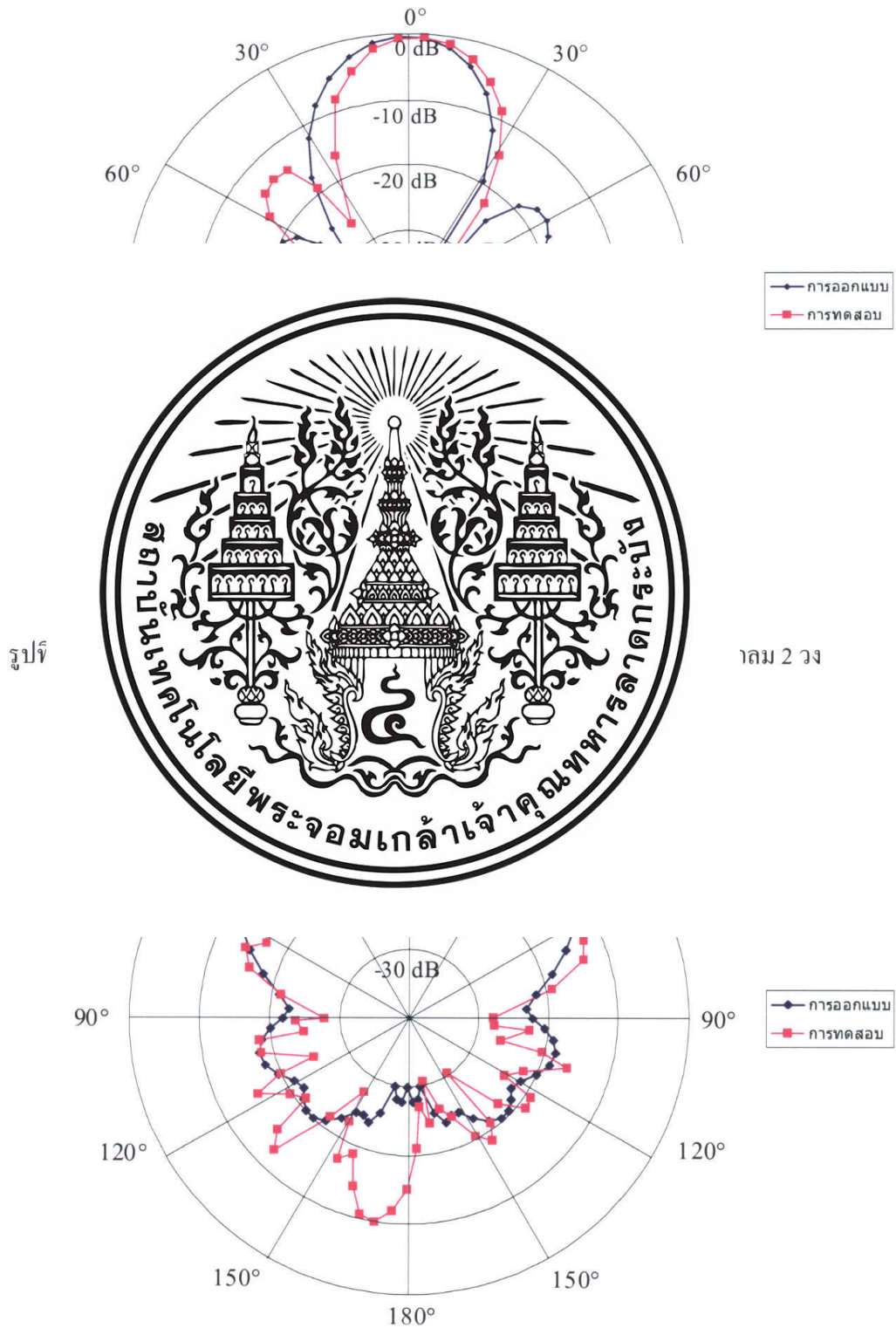
ทั้ง 2 วง ทำงานร่วมกันได้จะต้องทำการแมทชิงสายอากาศทั้งสองวงเข้าด้วยกัน โดยการใส่สายนำสัญญาณโคแอกเซียล ที่มีค่าอิมพีแดนซ์เท่ากับ 75 โอห์ม เพื่อนำมาทำการแมทชิงสายอากาศทั้งสองวงเข้าด้วยกัน ซึ่งขนาดความยาวของสายนำสัญญาณนั้น จะต้องใช้ที่ขนาดความยาว $n\lambda/4$ ของความยาวสายนำสัญญาณที่นำมาใช้โดยที่ n คือ 1, 3, 5,...

ร่างขึ้น

กลม 2 วง ขึ้นมา
ะสิทธิภาพที่ดีขึ้น
กัลกัน ซึ่งในที่นี้
ยอากาศวงแหวน

4.2.1 แบบรูปการแพร่กระจายคลื่น

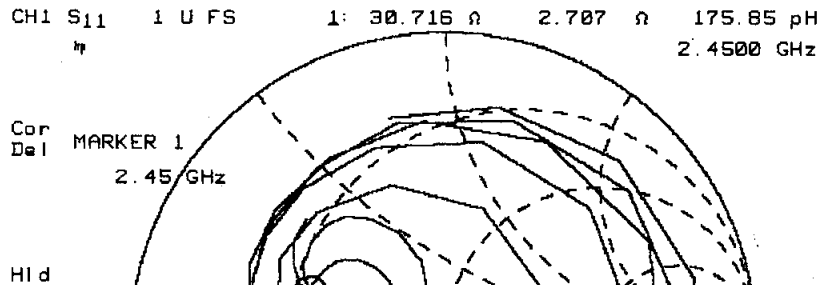
แบบรูปการแพร่กระจายคลื่นของสายอากาศในระนาบสนามไฟฟ้าและสนามแม่เหล็กแสดงดังรูปที่ 4.7 และ 4.8 ตามลำดับ จากผลการทดลองพบว่า เมื่อเปรียบเทียบแบบรูปการแพร่กระจายคลื่นของสายอากาศที่ได้จากการทดสอบกับการออกแบบ



รูปที่ 4.8 แบบรูปการแพร่กระจายคลื่นในระนาบสนามแม่เหล็กโดยใช้วงแหวนวงกลม 2 วง

4.2.2 คุณลักษณะเชิงอิมพีแดนซ์ของสายอากาศ

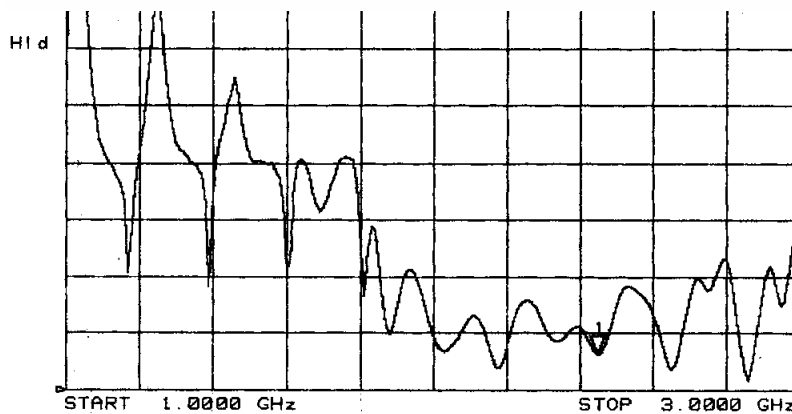
รูปที่ 4.9 แสดงอิมพีแดนซ์ด้านเข้ามาสายอากาศที่ได้จากทดสอบสายอากาศ ซึ่งมีค่าเท่ากับ $30.716 + j2.707\Omega$ และในรูปที่ 4.10 แสดงค่าอัตราส่วนคลื่นนิ่ง พบว่าความถี่ที่ออกแบบจะมีค่าอัตราส่วนคลื่นนิ่งเท่ากับ 1:1.6355



รูปที่ 4.9

Hz

วงกลม 2 วง



รูปที่ 4.10 ค่าอัตราส่วนคลื่นนิ่งจากทดสอบสายอากาศตัวสะท้อนแบบมุมโดยใช้วงแหวนวงกลม 2 วง

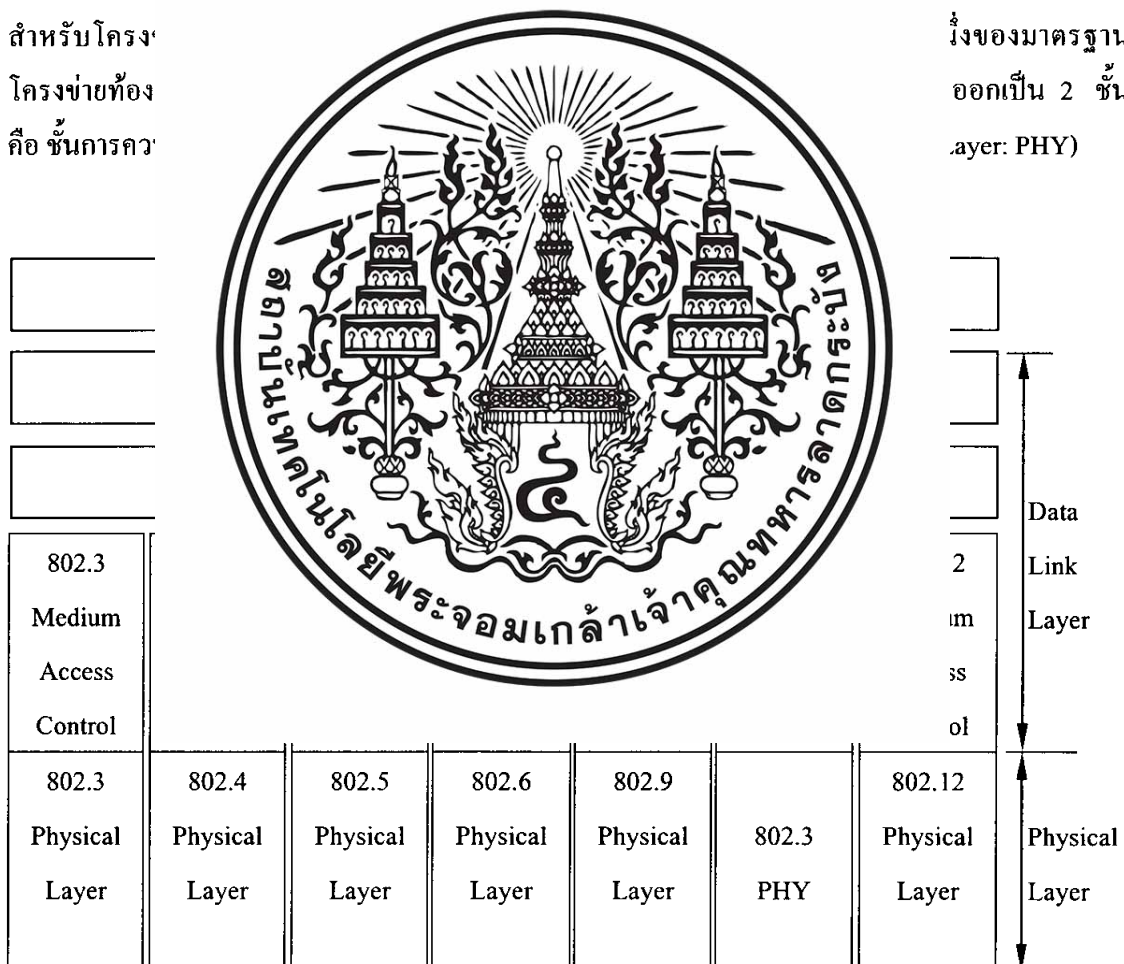
4.3 การประเมินประสิทธิภาพโครงข่ายท้องถิ่นไร้สาย IEEE 802.11

การประเมินประสิทธิภาพโครงข่ายท้องถิ่นไร้สายตามมาตรฐาน IEEE 802.11 ซึ่งมีความจำเป็นต่อการออกแบบและการใช้งานโครงข่าย เริ่มศึกษาพื้นฐานโครงข่ายท้องถิ่นไร้สายซึ่งประกอบด้วย โทโปโลยี การควบคุมการเข้าถึงสื่อ รูปแบบเฟรม ชั้นสื่อสาร กายภาพ และค่าพิตช์สามารถอุดมคติสูงสุด และยังคงกล่าวถึงวิธีการประเมินประสิทธิภาพและผลการประเมินประสิทธิภาพ โดยใช้สายอากาศตัวสะท้อนแบบมุม การประเมินประสิทธิภาพของสายอากาศโครงข่ายท้องถิ่นไร้สาย จะทำการประเมินค่าจากค่าระยะบริการสูงสุด คือระยะทำงานที่ไกลสุดระหว่างจุดส่งสัญญาณกับจุดรับสัญญาณ ซึ่งค่าระยะบริการสูงสุดเป็นตัวแปรที่สำคัญที่บ่งชี้ถึงความสามารถของสายอากาศ

4.4 พื้นฐานโครงข่ายท้องถิ่นไร้สายตามมาตรฐาน IEEE 802.11

มาตรฐาน
สำหรับโครง
ข่ายท้องถิ่น
คือ ชั้นการคว

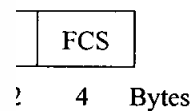
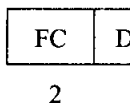
ครั้งแรกในปี 1997
ของมาตรฐาน
ออกเป็น 2 ชั้น
(PHY)



รูปที่ 4.11 มาตรฐาน IEEE 802.11 ในมาตรฐาน IEEE 802

4.4.1 โทโปโลยี(Topology)

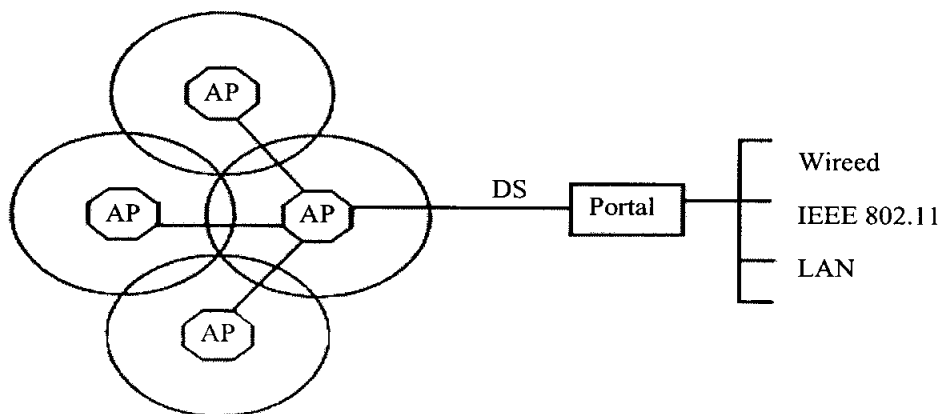
มาตรฐาน IEEE 802.11 ประกอบด้วยกลุ่มสื่อสาร ได้แก่ สถานีฐาน(Access Point) และลูกข่าย (Client) โดยที่กลุ่มสื่อสารนี้เรียกว่า กลุ่มบริการพื้นฐาน(Basic Service Set: BSS) โปโตคอลชั้นควบคุม เข้าถึงสื่อแบ่งออกเป็น 2 ชนิด คือ การรวมตัวแบบแอดฮอค(Ad-Hoc) หมายถึงการติดต่อสื่อสารระหว่าง ลูกข่าย โดยไม่ต้องใช้สถานีฐาน และการรวมตัวแบบ โครงสร้างพื้นฐาน(Infrastructure) คือการ ติดต่อสื่อสารโดยใช้สถานีฐานเป็นศูนย์กลางควบคุม กลุ่มสถานีฐานที่สื่อสารกันโดยการส่งต่อเฟรมข้อมูล จากกลุ่มบริการพื้นฐานหนึ่งไปยังกลุ่มอื่นเพื่ออำนวยความสะดวกเมื่อลูกข่ายเคลื่อนย้ายไปยังสถานีฐาน อื่นซึ่งเรียก กลุ่มบริการขยาย(Extended Service Set:ESS) ถ้าสถานีฐานหนึ่งสื่อสารกับสถานีอื่นเพื่อส่งต่อ เฟรมข้อมูลให้กับสถานีฐานอื่นเพื่อให้ลูกข่ายสามารถเคลื่อนที่จากสถานีหนึ่ง ไปยังสถานีอื่นและ แลกเปลี่ยนเฟรมข้อมูลผ่านทางเครือข่ายใช้สายซึ่งเรียกกลไกนี้ว่า ระบบกระจาย(Distribution System: DS) แสดงดังรูปที่



4.4.2

เครือข่าย
ไม่เกิดขึ้นกับแ
ได้อย่างทั่วถึง
แล้ว ถ้า A และ
และ C เนื่องจ
สามารถแก้ปัญหา

ข่าย ซึ่งปัญหานี้
รถติดต่อสื่อสาร
เกินระยะทำการ
้อม ๆ กันของ A
IEEE 802.11 ซึ่ง



รูปที่ 4.13 กลุ่มบริการพื้นฐาน(BSS) กลุ่มบริการขยาย(ESS) และระบบกระจาย(DS)

การควบคุมการเข้าถึงสื่อใช้กลไกซึ่งเรียกว่า CSMA/CA (Carrier Sense Multiple Access/Collision Avoidance) ใช้หลักการตรวจสอบสื่อก่อนส่งข้อมูล ถ้าสื่อว่างแล้วจะทำการส่งข้อมูล เมื่อส่งแล้วฝ่ายรับได้รับข้อมูลถูกต้องจะส่งเฟรมตอบรับกลับมา ถ้าไม่มีเฟรมตอบกลับให้ถือว่าการส่งนั้นเกิดชนกัน จากนั้นฝ่ายส่งจะทำการส่งใหม่ โดยหน่วงเวลาก่อนส่ง การหน่วงเวลาเป็นแบบสุ่มและถ้ายังมีการชนกันเวลาที่ใช้หน่วงจะเพิ่มขึ้น

4.4.3 รูปแบบเฟรม

รูปแบบเฟรมในชั้นการควบคุมการเข้าถึงสื่อ(MSDU)IEEE 802.11 แสดงดังรูปที่ 4.14 ข้อมูลเฟรมประกอบด้วย ข้อมูลที่อยู่ ข้อมูลโปรโตคอล IEEE 802.11 ข้อมูล NAV (Network Allocation Vector) และข้อมูลการจัดลำดับเพื่อตรวจสอบความถูกต้องของเฟรม



4.4.

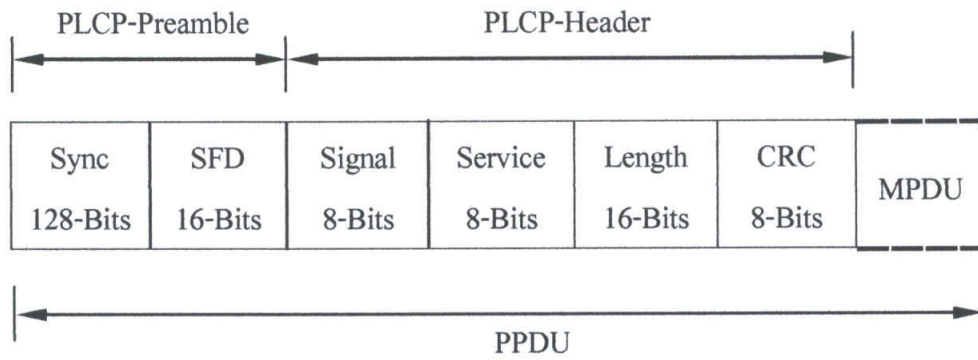
IEEE

ต้องเติมข้อมูลที่

เรียกว่า ฟริแอมเบล-PCLP และสวนวน-PLCP ดังรูปที่ 4.15 ฟริแอมเบล-PLCP ประกอบด้วย ฟิลด์ Sync และ SFD เพื่อบรรจุข้อมูลใช้สำหรับการซิงโครไนส์และบอกจุดเริ่มต้นเฟรม ตามลำดับ ส่วนหัว-PLCP ประกอบด้วยฟิลด์ Signal ซึ่งแสดงการมอดูเลตที่ใช้ ฟิลด์ Service คือฟิลด์ที่สงวนไว้ ฟิลด์ Length แสดงค่าที่ใช้กำหนดจุดสิ้นสุดของเฟรม ฟิลด์ CRC คือฟิลด์ที่บรรจุข้อมูลการตรวจสอบความถูกต้องของเฟรม

การมอดูเลตสำหรับมาตรฐาน IEEE 802.11 เป็นแบบโคเร็คซีแควนส์ มีอัตราเร็วบิต 1 Mbps และ 2 Mbps ซึ่งอัตราชีพเท่ากับ 11 MHz และใช้การเข้ารหัสแบบเบเคอร์(Baker) แสดงได้ดังนี้

$$B_n = [-1,+1,-1,-1,+1,-1 -1 -1+1+1+1]$$

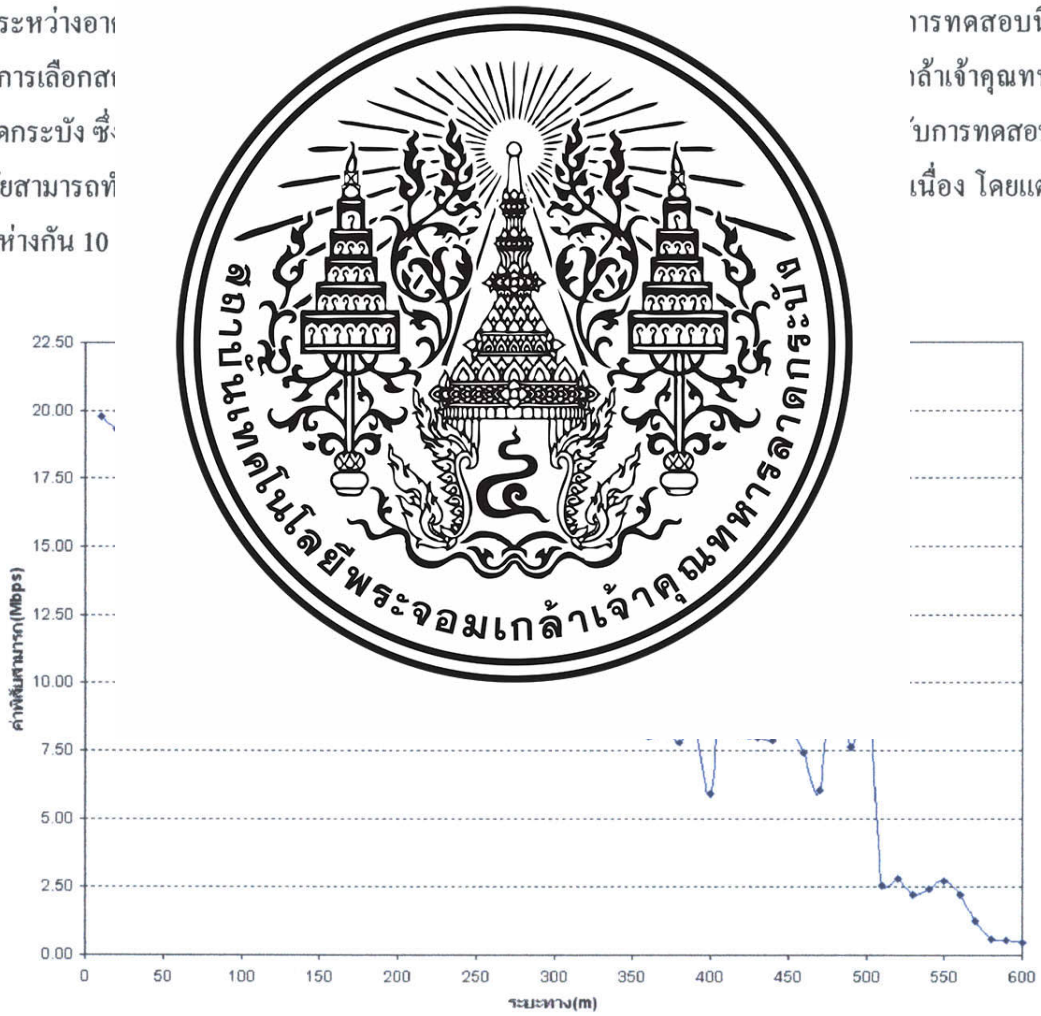


รูปที่ 4.15 พลิเอ็มเบิ้ล PLCP ส่วนหัว PLCP และ MPDU

4.5 การทดสอบประสิทธิภาพ

การตั้ง
อยู่ระหว่างอาคาร
ทำการเลือกส
ถาตกระบั้ง ซึ่ง
วิสัยสามารถที่
จุดห่างกัน 10

สองเครือข่ายที่
การทดสอบนี้จะ
แล้วเจ้าคุณทหาร
ับการทดสอบค่า
เนื่อง โดยแต่ละ



รูปที่ 4.16 แสดงค่าพิสัยสามารถที่ได้จากการทดสอบ

4.6 สรุป

ในบทนี้เป็นการแสดงการออกแบบ การสร้าง และการทดสอบสายอากาศ ทั้งนี้ได้ทำการเปรียบเทียบผลที่ได้จากการออกแบบโดยโปรแกรมการคำนวณแม่เหล็กไฟฟ้ารุ่นที่ 5 กับการทดสอบ ซึ่งสำหรับทำการทดสอบนั้น ได้ทำการวัดแบบรูปของการกระจายคลื่นของสายอากาศสะท้อนคลื่นแบบมุม ทั้งระนาบสนามไฟฟ้าและสนามแม่เหล็ก ซึ่งแบบรูปของการกระจายคลื่นของสายอากาศที่ได้ทำการสร้างขึ้นนั้น มีค่าผิดเพี้ยนไปจากการออกแบบบ้าง ซึ่งอาจเกิดจากอุปกรณ์ที่ใช้ทำสายอากาศ รวมถึงความคลาดเคลื่อนของอุปกรณ์ที่ใช้ในการวัด และสำหรับสายอากาศสะท้อนคลื่นแบบมุมซึ่งใช้วงแหวนวงกลม 1 วง ในการทำงานจะมีอิมพีแดนซ์เท่ากับ $49.643 - j267.58m\Omega$ และสายอากาศมีความกว้างแถบความถี่เท่ากับ 29.39 % ซึ่งครอบคลุมช่วงความถี่ใช้งาน และมีค่าอัตราส่วนคลื่นนิ่งเท่ากับ 1:1.009 สำหรับสายอากาศสะ

รูปการแพร่กระจาย
เท่ากับ 30.71

สำหรับ
สร้างมีคุณภาพ
ระยะทางเริ่มต้น
ของสัญญาณ
ของสัญญาณ
สาเหตุอาจเกิด
โดยการรับส่ง
ให้การรับส่ง
ระยะทางที่ไกล
ติดต่อรับส่ง
ข้อมูลจะขาด



มีเตอร์และแบบ
บ ค่าอิมพีแดนซ์

ภาคที่ได้ทำการ
ทราบได้ว่า ช่วง
รั้งคงรักษาระดับ
300 เมตร ระดับ
รับการทดสอบ
างที่เพิ่มมากขึ้น
นสายตา จึงทำ
การทดสอบที่
ลให้เวลาในการ
จับสัญญาณของ

บทที่ 5
บทสรุป และบทวิจารณ์

ในปฏิญานี้พจน์นี้ได้นำเสนอการวิเคราะห์ ออกแบบ สร้างและทดสอบสายอากาศตัวสะท้อนคลื่นแบบมุม สายอากาศชนิดนี้ให้แบบรูปการแพร่กระจายคลื่นแบบทิศทางเดียว ซึ่งมีประโยชน์ในการประยุกต์ใช้เป็นสายอากาศ สำหรับการสื่อสารแบบจุดต่อจุด เช่น การเชื่อมโยงของระบบโครงข่ายท้องถิ่นไร้สายระหว่างตึก โดยโครงสร้างของสายอากาศไม่ซับซ้อนและสามารถสร้างได้ง่าย สายอากาศที่ออกแบบไว้จะทำงานที่ความถี่เท่ากับ 2.45 GHz โดยได้ทำการออกแบบสายอากาศสะท้อนคลื่นแบบมุม โดยทำการพิจารณาค่าพารามิเตอร์ต่าง ๆ ของสายอากาศ โดยทำการพิจารณารัศมีของวงแหวนวงกลมซึ่งนำมาใช้เป็นสายอากาศเพื่อ กำหนดแบบรูปการแพร่กระจายคลื่น ซึ่งค่าความยาวโพรบจะมีผลต่อค่า

อิมพีแดนซ์ด้า
กำลังลดลง
สนามไฟฟ้าใน
นำไปใช้ในกา
แนวลำดับจะ
การทดสอบที่



างของลำคลื่นที่
ต้นของระนาบ
ทางที่สูงขึ้นเพื่อ
ภาคโดยการวาง
ารทดสอบ มีผล

เอกสารอ้างอิง

1. S. Kosulvit, "A Bidirectional Antenna using a Probe Excited Ring," Doctoral Thesis, King Mongkut's Institute of Technology Ladkrabang, 2001.
2. K. F. Sander and G.A.L.Read, "Transmission and Propagation of Electromagnetic Waves," Cambridge University Press, 1986
3. C. A. Balanis, "Antenna Theory Analysis and Design," 2nd ed. John Wiley & Sons, Inc., 1997
4. C. A. Balanis, "Advanced Engineering Electromagnetics," John Wiley & Sons, Inc., 1998
5. Y. R. Sami, "Useful coordinate transformations for antenna applications." IEEE Trans. Antennas Propagat. Vol.27, Jul.1997. pp.571-574
6. A. W. Love(ed.)
7. พิชัย ภักดีพานิช
เซ็นเตอร์ , 2537
8. วิสันต์ อาชาเดโ
เซ็นเตอร์ , 2537

งพีพิสิกลส์

